

۵۴۶ - ۱۸۵ (۵۵) / An

C ۲

ک ۱۴۹۸

MFN: 3247

TN  
~~TM~~ IV)

(الف)

الفوف

۱۴۹۸

وزارت معادن و فلزات

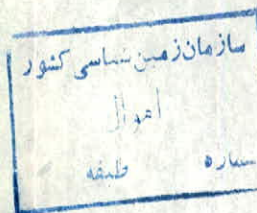
طرح اکتشاف معدنی فسفات

کزارش اکتشاف تکمیلی کانسار فسفات اسفورودی

## کتابخانه طرح اکتشافات فسفات

شماره ثبت: ۵۳۴

بهرزادانسواری



کتابخانه سازمان زمین ساسی

آذرماه ۱۴۶۵

کتابخانه سازمان زمین ساسی  
شماره ثبت: ۱۹۰۹۸

طرح اکتشاف معدنی فسفات

سرپرست طرح : محمد حسین بلورچی

نشانی : تهران - میدان ولیعصر - ساختمان فولاد طبقه دهم برج شمالی

طرح اکتشاف معدنی فسفات ایران

## پیشگفتار

اکتشاف و ذخیره یابی معدن فسفات از نظر نقشی که در تامین ماده اولیه عمدت تهیه و

تولید کودهای فسفاتی دارد، از اهمیت زیادی برخوردار است . این معدن در صورت رسیدن به

بهره برداری، نقش چشمگیری در ایجاد و تکمیل ساختار اقتصاد ملی داشته و یکی از حلقة های

ارتباطی بیواسطه بین دو بخش عمدت کشاورزی و معدن را تشکیل میدهدند .

کانسارت آپاتیت اسفوردی، تنها کانسارت فسفات آذرین شناخته شده (دارای ذخیره بالقوه) و

اقتصادی (در کشور ماست . سابقه شناسائی واکتشاف زمین شناسی این کانسارت به سالیان دور باز

میگردد، اما کار اکتشاف معدنی آن تنها در چند سال اخیر میسر گردیده است . در سال ۱۳۶۰

اکتشاف معدنی و تعیین ذخیره بالقوه کانسارت بر عهده سازمان زمین شناسی کشور قرار گرفت .

نتایج این مهم در گزارش "اکتشافات تفصیلی کانسارت آپاتیت اسفوردی توسط منصور ممیمی -

نمین، ناصر عابدیان و باهمکاری علیرضا باباخانی، سال ۱۳۶۲" انکاس یافت . چنانکه در این

گزارش آمده است، دسترسی به یکی از اهداف عمدت پیش بینی شده یعنی تعیین حدود کانسارت

در قسمتی از محدوده معدنی بدلاجی محدود نشد .

باتشکیل طرح اکتشاف معدنی فسفات و با انقطاعی فربیب دوسال، مطالعات تکمیلی

اکتشاف معدنی از سرگرفته شد و ضمن آن امکان کسری توده معدنی در بخش های مجاور محدوده

کانسارت بود بررسی قرار گرفت . نتایج این مطالعات در گزارش حاضر در ج رکردیده است . در تنظیم

گزارش، نتایج اکتشافات تفصیلی سال ۱۳۶۲ اساس قرار گرفته و با استفاده از اطلاعات بدست

آمده در مرحله مطالعات تکمیلی، ارزیابی مجدد از کل نتایج دو مرحله بعمل آمده است .

راهنمای عمل در مطالعات این مرحله، برنامه زمانبندی "ادامه عملیات اکتشافی کانسارت

فسفات اسفوردی" بوده که توسط آقایان هرمن انصاری و گیکاووس امینی تهیه و طرح ریزی شده

است . علاوه بر این از گزارش مقدماتی فنی - اقتصادی کانسارت اسفوردی جهت رفع نواقص و تکمیل

هرچه بیشترکار، استفاده شده است .

نگارنده امیدوار است گزارش موجود تداوم بخش کارهای قبلی بوده و با سخن‌کوی نیازهای

مطالعات فنی - اقتصادی کانسار باشد ؛ تاچه قبول افتاد و چه در نظر آید !



عکس شماره ۱- نمایی از کانسار اسفوردی (دید به سمت شمالشرقی)

در جلو توده آهن و قسمتی از افق آغشته آپاتیتی (قسمت‌های برنک

روشن ) در مجاورت ریولیت‌ها و سنگهای "سری ریزو " دیده میشود .

دورترقله اسفوردی متخلک از آهک‌های دولومیتی توده ای و توفه‌ای

برشی سبز تیره در زیر آن هویداست .

## فهرست مطالعه

### مفحمه

۳

۱۰

۱- تاریخچه

۱۳

۲- اهداف و روش‌های کار، حجم عملیات انجام شده

۱۹

۳- قدردانی

۲۱

۴- موقعیت جغرافیائی و زئومورفولوژی منطقه

۲۴

۵- وضعیت آبهای زیرزمینی حوضه‌کانسارونواحی اطراف آن

۲۹

۶- زمین‌شناسی عمومی منطقه

۲۹

۷- چیده‌شناسی

۳۱

۸- وضعیت ساخته‌انی و تکتونیک

۳۲

۹- ماقماتیسم و منامورفیسم

۳۵

۱۰- منشاء، کانسارورابطه آن با سنگ‌های دربرگیرنده

۴۱

۱۱- نحوه‌کسرش افق‌های معدنی (مورفولوژی کانسار)

۴۶

۱۲- وزگ‌های سنگ‌شناسی، کانسی شناسی و شیمیائی افق‌های معدنی و سنگ‌های دربرگیرنده

۵۵

۱۳- عناصر خاکی نادر

۶۱

۱۴- خواص فیزیکی و مکانیکی افق‌های معدنی و سنگ‌های باطله

۶۴

۱۵- برآورد کمی و کیفی ذخایر، میزان باطله برداری و حدود معدن

۸۹

۱۶- نتایج پژوهش رئوفیزیکی محدوده کانسار

۹۳

۱۷- نتایج پیشرفت مطالعات کانه‌آرائی

۱۰۰

۱۸- اشاره‌ای کذر ابه نتایج مطالعات مقدماتی فنی - اقتصادی

۱۰۲

۱۹- نتیجه‌کیری و پیش‌بادات

۱۰۴

۲۰- بخش ضمیمه

۱۱۰

۲۱- منابع مورد استفاده

چکیده بزبان انگلیسی

## فهرست جداول و اشکال

### صفحه

- ۱- عکس شماره یک - نمایی از کانه ارسفورودی ۵
- ۲- عکس شماره دو - نمایی از محدوده کانه ار ۴۵
- ۳- نقشه شماره یک - نقشه راههای بافق ۲۳
- ۴- نقشه شماره دو - موقعیت دشت شیطونه بt به کانسار اسفورودی و نواحی اطراف آن ۲۷
- ۵- نقشه شماره سه - نقشه جغرافیای دیرینه پر کامورین پیشین - کامورین پیشین در ایران ۳۴
- ۶- شکل ۱-۲- نمودار روند آزمایشات کانه آرائی ۹۸
- ۷- شکل ۱-۳- مدار فرآیند کانه آرائی نمونه <sub>۱</sub> TAP ۹۹
- ۸- تابلو ۲-۲- ارزیابی ترکیب کانی شناسی نمونه <sub>۱</sub> TAP بر حسب اندازه دانه ها ۹۶
- ۹- نمودار شماره یک - موقعیت سنگهای منطقه اسفورودی در دیاکرام Kuno ۲۷
- ۱۰- نمودار شماره دو - موقعیت سنگهای منطقه اسفورودی در دیاکرام Na<sub>2</sub>O/K<sub>2</sub>O ۳۸
- ۱۱- نمودار شماره سه - موقعیت سنگهای منطقه اسفورودی، میدان دوسایع Immobile ۳۹
- ۱۲- نمودار شماره چهار - موقعیت سنگهای منطقه اسفورودی در دیاکرام تفریق ۴۰
- ۱۳- نمودار شماره پنجم - دامنه تغییرات عناصر زادر خاکی بر حسب P<sub>2</sub>O<sub>5</sub> ۵۸
- ۱۴- نمودار شماره شش - نتایج چاه پیمایشی چاه شماره ۷(III.II.7) ۹۲
- ۱۵- نمودار شماره هفت - برنامه فعالیتهای طرح احداث مجتمع معدنی فسفات اسفورودی ۱۰۱
- ۱۶- جدول شماره یک - حجم عملیات اکتشافی انجام شده ۱۸
- ۱۷- جدول شماره دو - نتایج ذخایر ارزیابی شده دشت بافق ۲۸
- ۱۸- جدول شماره سه - نتایج آزمایشات مکمل تجزیه شیمیائی ۵۱
- ۱۹- جدول شماره چهار - نتایج تجزیه شیمیائی سنگهای منطقه اسفورودی ۵۳

## مفحه

- ۵۴ - جدول شماره پنج - ترکیب کانیک ای نرماتیو سنگهای منطقه اسفوردی
- ۵۶ - جدول شماره شش - رابطه مقدار عناصر خاکهای نادر ربا انکلوزیونهای داخل آپاتیت
- ۵۷ - جدول شماره هفت - متوسط مقدار عناصر خاکهای نادر در افقهای معدنی و
- ۶۰ - جدول شماره هشت - نتایج آزمایشات اسپکترومتری نمونه های معرف افقهای معدنی و  
سنگهای در برگیرنده آنها
- ۵۸ - جدول شماره هفده - فراوانی خاکهای نادر در سنگهای مختلف
- ۶۳ - جدول شماره هده - نتایج آزمایشات فیزیکی و مکانیکی نمونه های معرف افقهای معدنی و  
سنگهای باطله
- ۶۷ - جدول شماره بیازده - خلاصه اطلاعات و نتایج بدست آمده از چاههای حفاری جبهه  
تعیین ذخیره
- ۶۸ - جداول محاسبات آماری عیار چاههای اکتشافی و تعیین کلاس کار اکتشافی انجام یافته
- ( ۱۴ جدول )
- ۸۴ - نمودارهای تغییرات عیار در چاههای اکتشافی جدید ( ۵ نمودار )

پیوست ها:

- ۱- نقشه زمین‌شناسی محدوده مورد مطالعه بمقیاس (No. SF + P.1) ۱:۱۰۰۰
- ۲- نقشه توپوگرافی معدن آپاتیت اسفوردی (No. SF + P.2)
- ۳- مقطع زمین‌شناسی A - A' (No. SF + P.3)
- ۴- B - B' (No. SF + P.4)
- ۵- C - C' (No. SF + P.5)
- ۶- D - D' (No. SF + P.6)
- ۷- E - E' (No. SF + P.7)
- ۸- طرح ارزیابی ذخیره (متند چند ضلعی) (No. SF + P.8)
- ۹- نقشه خطوط هم عیار افق پر عیار "سنکهای سبز" (No. SF + P.9)
- ۱۰- نقشه خطوط هم عیار افق آپاتیتی (No. SF + P.10)
- ۱۱- نقشه خطوط هم ضخامت باطله (No. SF + P.11)
- ۱۲- نقشه خطوط هم ضخامت کانسار (No. SF + P.12)
- ۱۳- نمودار مغزنهای حفاری گمانه‌های ۱، ۲، ۳، ۴، ۵، ۶، ۷، ۸، ۹، ۱۰ (نمودار ۹)

## ۱- تاریخچه

بررسی و اکتشاف کانسار آپاتیت اسفوردی در ارتباط با آنومالیهای آهن، سرب و روی و دیگر مواد معدنی بر ارزش نواحی پشت بادام - بافق، انارک، بزدوكرمان از سابقهای نسبتاً " طولانی برخوردار است . علاوه بر این روندهای ساختمانی و چینه ای نسبتاً " پیچیده این بخش از ایران مرکزی، از دیرباز نظر زمین شناسان متعددی را بخود جلب نموده است .

احتمالاً " نخستین بار زمین شناسی بنام بون (Boehne) در سال ۱۳۰۸ (میلادی ۱۹۲۹) از این منطقه بازدید نموده و در مورد چکونگی پیدایش آنومالیهای آهن اظهار نظر کرده است . بعداً " زمین شناسان دیگری از جمله بایر (۱۳۱۷)، والترریتز (۱۳۳۲)، ون لاف و همکاران (۱۳۴۰) ایووا و زاہدی (۱۳۴۵)، ویلیامز و هوشمندرزاده (۱۳۴۵) از درسالهای اخیر افراد متعددی از این منطقه بازدید کرده و نظریات متفاوتی در مورد خاستگاه کانسارهای آن ابراز داشته اند . این نظریات دامنه وسیعی از ذکر سانی مجاورتی گرفته تاماً کمالی - نفوذی و ولکانیک - رسوی رادر بر میگیرد .

هوکریده و همکاران در سال ۱۳۴۱ و سرحقی پور در سال ۱۳۵۷ بصورت ناحیه ای در این کمره - بند زمین شناسی کار کرده و هریک بگونهای منشا، معادن منطقه و پدیده های آبرابر رسانی و تفسیرو نموده اند . علاوه بر این از حوالی سالهای ۱۳۴۵ و بعد از آن، در چارچوب شرکت ملی ذوب آهن ایران و سعداً " شرکت ملی سنگ آهن مرکزی بافق، بمنظور شناسائی و ذخیره یابی آنومالیهای آهن منطقه، بررسیهای زمین شناسی و معدنی منظمی توسط کارشناسان شوروی و ایرانی صورت گرفته است . به این فهرست سازمان انرژی اتمی ایران راهنمایی افزود که از سال ۱۳۵۹ بدنبال اکتشاف مقدماتی، اقدام به اکتشاف تفصیلی مواد پرتوزادر قسمتهای از منطقه مورد بحث رانموده است .

در مورد کانسار آهن - آپاتیت اسفوردی، آنچه گفتنی است احتمالاً " نخستین بار

ولیامزو هوشمندر اده (۱۳۴۵)، بر اساس مطالعات سنگ شناسی بوجود کانیهای آپاتیت

هرماه آهست اشاره نموده است.

کار من مرکز در مورد کانسارت به سالهای ۱۳۵۱-۱۳۴۶ مربوط است. طی این سالها

برومندی از شرکت ملی ذوب آهن ایران، "مطالعات نسبتاً" مفصلی در مورد این کانسارت عمل

آورده است، وی مجموعه آپاتیت - پیروکسنتیت را تشخیص داده و بوجود رگه‌ای ضخیم از ماده

معدنی آپاتیت دار و انواع مختلف کانسنتگ اشاره نموده است. نام برده باروش فلوئورسنس

X-DRS: در سکه‌ای معدنی کانسارت، مقادیر قابل ملاحظه‌ای خاکهای نادر تشخیص داده است.

در سالهای اخیر کانسارت اسفوردی مورد توجه بیشتری قرار گرفت. در پیش زاده در سال

۱۳۶۰، توجه به مشاهدت تشكیلات اسفوردی و سری هرمز، به مطالعه سنگ شناسی و عنصر

خاکهای نادر کانسارت یا زیده و در تجزیه و تحلیل نحوه پیدایش آن با ارائه دلایل رئیسو-

شیمیائی، عملکرد احتمالی بخش فارماکمایی کربناتیتی را در ایجاد دکرسانی و تشكیل

سنکهای دکرسان شده، موثر می‌داند.

در سالهای ۱۳۶۰ و ۱۳۶۱ در پی تصمیم اخذ شده مبنی بر انجام مطالعات تفصیلی و

تعیین ذخیره نهایی کانسارت اسفوردی، کروهی به سرپرستی منصور صمیمی نمین از سازمان

زمین شناسی کشور، اجرای کار را بر عهده گرفت. این کروهی عملیات زمین شناسی را بمنظور

تعیین حدود ناحیه کانی ساری در وسعت زیادی آغاز نمود و سرانجام بخشی با وسعت حدود ۴

کیلومتر مربع مورد پژوهش زمین شناسی قرار گرفت. سپس نقشه زمین شناسی با مقیاس

۱:۱۰۰ در محدوده کانی سازی اصلی تهیه گردید و عملیات معدنی بمنظور شناخت دقیق تر

انقهای مختلف کانسارت، با حفرت آن شه و گمانه در قسمت‌های عمیقی ادا شده یافت. چنان‌که

کزارش "اکتشافات تفصیلی کانسارت ۰۰۰" نشان میدهد، مجموعه عملیات اکتشاف معدنی،

منجر به در نظر گرفتن سه افق معدنی با مشخصات زیر گردید:

۱ - افق شماره یک ، در قسمت زیرین توده آهن ، متشکل از کانیهای هماتیت ، مکنتیت و آپاتیت ،

باعیار متوسط ۱۲٪، ۱۱٪ اکه در واقع بخشی از توده آهن محسوب میگردد .

۲ - افق شماره دو ، در مجاورت بلا فصل توده آهن و در روی آن ، بطور عمدۀ متشکل از کانیهای

آپاتیت ، مکنتیت ، هماتیت و ترمولیت - اکتینولیت ، باعیار متوسط ۲۷٪/۱۶٪، ۱۰٪ اکه

افق اصلی ماده معدنی آپاتیت دار میباشد .

۳ - افق شماره سه ، روی افق اصلی ، بطور عمدۀ متشکل از کانیهای ترمولیت - اکتینولیت ، آپاتیت ، مکنتیت و هماتیت ، باعیار متوسط ۲۶٪/۱۲٪ که در واقع تسمتی از " سنگهای سبز " محسوب میشود .

مجموع ذخایر تخمینی دو افق اخیر که بنوان ذخیره قابل بهره برداری در نظر گرفته شده ،

معادل ۵/۶ میلیون تن سنگ فسفات باعیار ۳۵٪/۱۴٪ برآورد کردیده است ، علاوه بر

این باتوجه به رابطه مستقیم موجود بین عناصر خاکی نادر و آپاتیت ها و براساس میزان

متوسط بدست آمده این عناصر در کانسار ، اقدام به تخمین ذخیره آنها شده است .

مطالعات کانه آرائی که روی افقهای آپاتیت دار ۲ و ۳ در آزمایشگاه سازمان زمین -

شناختی کشور صورت گرفته حاوی نتایج مشتی از نظر تنقیظ ، ۱۱٪ اتحاد دود ۲۰٪/بوده است .

اما از نظر میزان باریابی و نیز کاهش بیشتر آهن تامر ز قابل قبول در محصول پر عبار شده ،

موافقیتی حاصل نکردیده است .

تھیه کنندگان کرارش " اکتشافات تفصیلی کانسار ... " باتوجه به مورفولوژی و

ساختمان زمین شناسی کانسار ، استخراج و بهره برداری بصورت روباز اپیشنگ نموده اند .

## ۲- اهداف و روش‌های کار، حجم عملیات انجام شده

هدف اصلی انجام مطالعات در این مرحله، تعیین حدود دقیق کانسوار در قسمت‌های شمالی و شمالي‌شرقی حوضه معدنی و تعیین ذخیره جدید پوده است. ضمن آن امکان گسترش توده معدنی در بخش‌های مجاور محدوده شناخته شده مدنظر قرار گرفته است.

در بررسی زمانبندی "ادامه عملیات اکتشافی ... " چنین گفته می‌شود: هر چند کارهای اکتشافی انجام شده "بررسی امکان پذیری مقدماتی" را می‌سرمی‌سازد، لیکن جهت انجام ارزیابی نهائی و متعاقباً "طراحی معدن و کارخانه آرایش تکافو نمی‌نماید. و سپس لزوم تکمیل اطلاعات در زمینه‌های زیر تصریح شده است:

- ۱- مطالعات کانه‌آراثی در مقیاس نیمه صنعتی
- ۲- حدود دقیق معدن
- ۳- ذخیره کلیه افق‌های فسفات‌خیز
- ۴- حجم سنک باطله و کیفیت آن در هر بخش معدن
- ۵- خواص فیزیکو مکانیکی سنک باطله و افق‌های معدنی
- ۶- وضعیت آب‌شناسی حوضه کانسوار
- ۷- نقشه تغییرات عیار کانسوار
- ۸- مشخصات کیفی (شیمیائی، سنک‌شناسی و تکنولوژی)

وجه‌تر سیدنی به اهداف فروق، عملیات ژئوفیزیک شامل ژئوالکتریک و پرتوسنجی، حفر ترانشه و کمانه، انجام پمپاژ از چند کمانه و در صورت لزوم تکمیل نقشه توپوگرافی و نیز عملیات کیفی شامل تجزیه شیمیائی، مطالعه مقاطع نازک سنک‌شناسی، بررسی عنامرخاک‌های نادر، تعیین مشخصات فیزیکی و مکانیکی افق‌های معدنی و سنگ‌های در برگیرنده و آزمایشات تکنولوژی پیش‌بینی و توصیه شده است.

عملیات رُئوفیریک در زمستان ۱۳۶۳ در محدوده‌ای بوسعت ۲۴ کیلومتر مربع از حوضه

سدی و مناطق اطراف آن باجر ادرآمد، مطالعات انجام شده شامل روش‌های ۱۱، مقاومت

سنگی، منیتومنتری و تقل سنجی بوده و از آرایش مستطیلی با مشخصات زیر استفاده شده است:

$$\begin{array}{l} \text{Rectangle} \\ AB = 100 \text{ متر} \\ MN = 20 \text{ متر} \end{array}$$

$$\begin{array}{l} \text{Dipole-Dipole} \\ AB = 40 \text{ متر} \\ MN = 40 \text{ متر} \end{array}$$

طی عملیات جمعاً در ۱۲۰ نقطه اندازه‌گیری ۱۱ و بهمان تعداد اندازه‌گیری

مقاومت سنگی انجام شده و در ۸۱۰ نقطه نیز اندازه‌گیری مغناطیسی بعمل آمده است. علاوه

بر آن در ۵۳ نقطه که توبوکرافی آرام داشته، اندازه‌گیری تقل سنجی صورت گرفته و تعداد ۳

سونداز الکتریک در چاهه‌ای شماره ۶ (۱۰۰.۰۶) و ۱۱ (۱۱۰.۰۶) انجام شده است. نتایج

عملیات بصورت نقشه‌های شارژابلیته، مقاومت مخصوص ظاهری، شده مقاطع داپل-داپل

و پیمایش مغناطیسی بپیوست "کزارش اکتشافات رُئوفیریک منطقه اسفوردي، توسط هاون

بیکلاس، على محمدی جوآبادی و محمد رضامدیق فر" در اردیبهشت ۱۳۶۴ منتشر شده است.

طی ماهه‌ای تیر- آبان سال ۱۳۶۴ عملیات حفاری بطور عمده در بخش‌های شمالی و

شمالي الشرقي حوضه کانسار باجر ادرآمد، در بر نامه زمانبندی، حفاری ۱۰ حلقة کمانه‌ها مجموع

عمق ۲۲۸ متر، طی دو مرحله پیش‌بینی شده بود، ولی بر اساس نتایج بدست آمده از پژوهش

رُئوفیریکی کاسار، تغییراتی بدین شرح در بر نامه ایجاد شد:

۱ - دو حلقة کمانه اکتشافی کاملاً حذف گردید.

۲ - حفاری دو حلقة کمانه، مشروط به حصول نتایج مثبت از حفاریهای مرحله اول گردید.

۳ - محل یک کمانه‌اندکی تغییریافت (۱۰-۱۵ متر).

۴ - به پیشنهاد کروه اعزامی رُئوفیریک، حفر یک کمانه بعمق نهائی ۱۰۰ متر، به نظرور

بررسی امکان کسترش توده معدنی در زواحی مجاور، در منطقه‌ای خارج از محدوده شناخته

شده حوضه کانسار، در نظر گرفته شد.

در تعیین محل کمانه‌ها و نیز تغییرات ایجاد شده در برنامه، آقای کیکاووس امینی

نقش مستقیم داشته و از نظرات گروه اعزامی رئوفیزیک به منطقه، سودجو شده اند.

حفاری کمانه‌ها با عقد قرارداد پیمانکاری واستفاده از امکانات شرکت خدمات

اکتشافی کشور صورت پذیرفته است. جمعاً ۹ حلقه کمانه<sup>\*</sup> به عمق کلی ۶۲۷ متر حفر

کردید که از این تعداد، حفاری ۸ کمانه بطور عمده در قسمت‌های شمالی و شمال‌شرقی حوضه

شناخته شده معدنی و یک کمانه در شرق محدوده نقشه برداری شده (خارج از حوضه شناخته شده)،

با هرا درآمده است. حداکثر قطر کمانه‌ها ۴۲ میلیمتر و میزان بازیافت مغزه در مجموع

بالغ بر ۹۰٪ بوده است (بیشتر از میزان حداقل پیش‌بینی شده). تمام کمانه‌ها قائم حفر

شده اند و بدلیل عمق کم حفاری‌ها از شب سنجی (Inclinometry) مرف نظر شده

است. شبکه کمانه‌ها بر اساس روش کسترش تدریجی انتخاب کردیده است. ترتیب کمانه‌ها

بر اساس الوبت بشرح زیر می‌باشد:

چاه‌ای شماره ۱، ۲، ۳ و ۴ در مرحله اول و چاه‌ای شماره ۵، ۶ و ۷ در مرحله بعدی

حفاری شده‌اند. از این میان حفاری چاه شماره ۶ (۳۰۱۰۰)، بمنظور کنترل کیفی نتایج

حفاری‌ای قبلی، در محدوده قبلاً ذخیره یاب شده صورت پذیرفته و نیز بمنظور تعیین

حدود دقیق و سحرز توده معدنی، چاه شماره ۵، علاوه بر برنامه پیش‌بینی شده حفاری شده

است.

در انجام حفاری‌ها از دو دستگاه ماشین حفاری مدل *Airker* مخصوص عمق‌های کم و متوسط،

سرمهنهای الماسی (غیرسخت بر) و کل حفاری استفاده شده است.

اطلاعات و نتایج بدست آمده از حفاری‌ای جدید، انطباق بالنسه دقیق این نتایج را

\* کمانه‌های اکتشافی در مرحله مطالعات تکمیلی، روی نقشه باعلامت "۳۰۱۰۰" مشخص کردیده اند.

سامطالعات مرحله اکتشافات تفصیلی و نیازارزیابی رئوفیریکی انجام شده نشان داده است.

در پیروی از مطابق برداش پیش بینی شده ، با همانکی سازمان انرژی اتمی

ایران و نو طکروه اعزامی رئوفیریک این سازمان ، عملیات چاه پیمایش اشعه کامادر محدوده

کانسارتاجرا درآمده است . سیستم چاه پیمایشی مورد استفاده مدل ۲۰۰۰ - GRI ساخت

کارخانه اکانادا بوده و در مجموع بالغ بر ۸۰۰ متر عملیات پرتوسنجی اشعه

کامادر کانالهای شمارش کلی و کانالهای اورانیوم صورت گرفته و کانالهای توریوم و پتاسیم

نیز کنترل گردیده است . متساقنه ، بدلیل گرفته و پرشدگی تعدادی از چاههای قدیمی و نیز

عدم انتظام قطع سوند دستگاه چاه پیمایش با قطر کمانه‌های جدید بخصوص در قسمت‌های عمیق،

تسبیه نمودار ارکلید چاهها و در همه اعماق ممکن نگردید . نتایج این عملیات به پیوست

نمودارهای پرتوسنجی چاه‌ادر " کزارش نتایج عملیات چاه پیمایش اشعه کامادر کانسارت

اسفوردی ، عباس رضائی آشتیانی ، واحد اکتشاف بخش رئوفیریک سازمان انرژی اتمی ایران "

منتشر شده در اسفند ماه ۱۳۶۴ ، منعکس می‌باشد .

نمونه برداری از منزه‌ها ، بعد از بیان عملیات حذاری ، بصورت دستی انجام گردیده و

طی آن منزه‌ها از طول بدونیمه کم و بیش مساوی تقسیم شده است . یک نیمه جهت انجام

آزمایشات کیفی مورد استفاده قرار گرفته و نیمه دیگر بعنوان شاهد همچنان نگهداری می‌شود .

طول نمونه برداری قریب ۴۸۰ متر و در مجموع تعداد ۳۸۴ نمونه جهت تجزیه شیمیائی ، نمونه

برای آزمایشات فیزیکی و مکانیکی ، ۱۱۲ نمونه برای تهیه مقاطع نازک سنگ شناسی و ۲۹

نمونه جهت تجزیه اسپکترومتری برداشت شده است .

عملیات کیفی انجام شده شامل تجزیه شیمیائی اولیه جهت بدست آوردن میزان

، " اوتیقا " تجزیه شیمیائی تکمیلی از مخلوط نمونه‌های اولیه ( مجموعاً ۸۸۰ عنصر ) ،

آزمایشات فیزیکی و مکانیکی افقهای معدنی و سنگهای همراه جهت تعیین وزن مخصوص ، تعیین

روبوت و میزان مقاومت سنگها ، تجزیه اسپکترومتری ( مجموعاً ۳۰۴ عنصر ) و مطالعه

مقدماتی تعدادی مقاطعه از سنگ شناسی بوده است .

در انجام آزمایشات تجزیه شیمیائی ، تجزیه اسپکترومتری و تهیه مقاطع نازک سنگ

شناسی از امکانات آزمایشگاهی سازمان زمین شناسی کشور استفاده شده و آزمایشات فیزیکی -

مکانیکی نمونه هاتوسط آزمایشگاه مصالح غیرفلزی دانشگاه منتعی شریف صورت پذیرفته

است .

مطالعات دفتری شامل جمع آوری منابع و اطلاعات ، تنظیم کزارش ، رسم مقاطع

و نمودارهادر خلال عملیات محراشی و بعد از آن انجام یافته است . در تنظیم کزارش ، تقریباً

ارکلید کزارشات منتشر شده زمین شناسی ، آبشناسی و سنگ شناسی مقاطع نازک منطقه مورد

مطالعه استفاده شده است . نقشه های تغییرضخامت و عیار کانس ارتقیه کردیده و تغییراتی

در نقشه زمین شناسی محدوده معنی بعمل آمده است .

باتوجه به اهمیتی که مطالعات کانه آراثی افقهای معنی کانس اردررونده پیشرفته

کاروارتها ، آن به مرحله ارزیابی نهادی فنی - اقتصادی داشته و دارد ، انجام مطالعات مزبور

سموازات عملیات اکتشاف معنی و بعد از آن به مرحله اجر ادرآ مده است . باین منظور ، در

چارچوب عقد قرارداد با شرکت برزیلی پاپلو ابیب ، مقدار تقریبی ۱۲۰ کیلوگرم نمونه از

افقهای معنی انتخاب و به آن شرکت ارسال شده است . مطالعات کانه آراثی انجام

شده روی این نمونه ها در سیاس آزمایشگاهی ، حاوی

نتایج مشتبه جهت پیکری امر میباشد . علاوه بر این ، بار دیگر بیان شناسی تقریبی ۲ تن ، اقدام

به برداشت نمونه تکنولوژی از افقهای مختلف کانس اردار شده و در اختیار بخش کانه آراثی سازمان

زمین شناسی کشور قرارداده شده است . باتوجه به نتایج بدست آمده از مطالعات کانه -

آراثی شرکت پاپلو ابیب ، تکمیل و ادامه آزمایشات در مقیاس نیمه منتعی با استفاده از

هسکاری فنی موسسات خارجی تحت بررسی است .

کارهای نقشه کشی بطور عمدت توسط آقایان منصور شمسی پور و داود حق جو انجام شده

وارکمکای دیگر همکاران تبراستفاده شده است .

ماشین نوبسی کزارش توسط خانم زهرابی قاثی زاده صورت پذیرفته است .

راهنمایی اصلی در بخش عمدات از مطالعات صحرائی و دفتری را آقای حسن صالحی -

سیاوشانی بهمراه داشته اند .

شماره	نوع عملیات انجام یافته	واحد اندازه کننده	حجم عملیات
۱	عملیات رُزوفیریک		
۰/۳۴	الف - عملیات رُزوالکتریک ، منیتمتری و نقل سنجی	کیلومتر مربع	
۸۰۰	ب - عملیات پرسنجی ( چاه پیمایشی اشعه کاما )	متر	
۶۲۷	عملیات حفاری	"	
۴۸۰	نمود برداری	"	
# ۲۰۰	انتخاب نمونه نکلولوزی جهت مطالعات کاندآرائی	کیلوکرم	
۵	عملیات کیفی		
۳۸۴	الف - تجزید شیمیائی	نمونه	
۹	ب - آزمایشات فیریکومکانیکی	"	
۱۱۲	ج - مذاطع نازک سُنک شناسی	قطع	
۲۹	د - تجزید اسپکترومتری	نمونه	

جدول شماره ۱ - حجم عملیات اکتشافی انجام شده

### ۳- قدردانی

طی مراحل مختلف کاراعم از مطالعات محراجی، عملیات آزمایشگاهی و کارهای

دقتری از کمک‌وهمفکری‌های افرادوساز مانهای مختلفی بهره مند بوده‌ام . بدینویسیله‌از

زحمات یکایک این افرادوساز مانها تشکر مینمایم:

از آقای بهرام سامانی (سازمان انرژی اتمی ایران) که آشنایی‌های اولیه‌ای نجابت

باروندهای فلزاتی، ساختمان زمین‌شناسی و وضعیت چیده‌شناسی منطقه مورد مطالعه‌مرهون

ایشان است و تقریباً "در کلیده زمینه‌ها از همفکری ایشان بهره مند شده‌ام ."

از آقای عبدالرحیم هوشمندرآده (سازمان زمین‌شناسی کشور)، بخاطر راهنمایی‌های

ارزیدهای که در زمینه مسائل جبده شناسی، فازهای ماگماتی و فلزاتی منطقه ابراز نموده‌اند .

از آقایان کیکاووس امینی و هرم زناصرنیا از بخش طراحی معادن شرکت ملی فولاد که

در زمینه مسائل فنی اکتشاف معدنی همیشه و در هر فرضی از راهنمایی‌های ایشان بهره مند شده‌ام .

از آقای علیرضا باباخانی (سازمان زمین‌شناسی کشور)، بخاطر در اختیار نهادن

نتایج مطالعات سنک‌شناسی مقاطع نازک جهت درج در گزارش .

از آقای حسن صالحی سیاوشانی (طرح اکتشاف معدنی فسفات) که علاوه بر

مسئولیت‌شان در این زمینه، در مورد یافتن برخی معادله‌ای فارسی و انگلیسی و تنظیم متون

نمودارهای حفاری همه گونه همکاری ابراز نموده‌اند .

از بخش اکتشافات شرکت سنک‌آهن مرکزی، بخاطر ابراز همکاری و مساعدت در

شکستن متره‌های حفاری و در اختیار نهادن برخی خدمات آزمایشگاهی و فنی .

از پرسنل حفاری و کادر کارشناسی شرکت خدمات اکتشافی کشور، بلحاظ کوششی که

در ارتقا، سطح کار و کیفیت مغراه‌کیری بکار ربه و بنحوی رضایت‌بخش عملیات حفاری اکتشافی

را ایجاد برده‌اند .

اریخت اکتشافات شرکت ملی فولاد ایران و تئسیس از آقای دکتر محیی، بخاطر در

اختیار نهادن کراشها و اطلاعات ضروری مربوط به منطقه مورد مطالعه.

از امور آزمایشگاه‌های سازمان زمین شناسی کشور که آزمایشات تعزیه شیمی و

دیگر آزمایشات را در گوتاهترین زمان ممکن انجام داده‌اند.

اریخت اکتشافات سازمان انرژی اتمی بلحاظ ابراز همکاری در اجرای عملیات چاده.

پیوه این اشعد کا اسادر حین عملیات حفاری اکتشافی و در اختیار نهادن نتایج مربوطه.

از آذای حسن برومندی (شرکت ملی فولاد ایران) بخاطر پاسخگویی به برخی سوالات

مربوط به منطقه مورد مطالعه.

از کادر کارشناسی و تکنسین طرح اکتشاف معدنی فسفات بویزه آقای محمد ابراهیم -

سیدآبادی بخاطر ابراز هسکاری در زمینه‌های مختلف کار.

و سرانجام از مدیریت طرح اکتشاف معدنی فسفات، بخاطر ایجاد فضای مناسب

برای کار و مطالعه در سیده سود بحث و در اختیار نهادن امکانات کافی در کلید سراحت ل

مطالعات تکمیلی.



#### ۴- موقعیت جغرافیائی و زئومورفولوژی منطقه

کانسار آهن - آبتابت اسفوردی در حدود ۳۶ کیلومتری شمال خاوری شهرستان بافق

در طول  $۳۸^{\circ}$  و عرض  $۵۵^{\circ}$  شرقی و  $۴۷^{\circ}$  و  $۲۱^{\circ}$  شمالی در منطقه‌ای کوهستانی با ارتفاع متوسط ۱۷۰۰ متر

از سطح دریا قرار دارد. این منطقه در مجاورت بیابان‌های ماسه‌ای و سنگی واقع شده است. آب و

هوای آن کرم و خشک و تابع قانون عمود ناحیه‌ای می‌باشد. تغییرات قابل ملاحظه درجه حرارت

در فصول مختلف و همچنین در شبانه روز مشاهده می‌گردد. میزان نزولات جوی نسبتاً "کم‌بوده"

و هیچ‌گونه جریان آب دائمی وجود ندارد. براساس آمار استگاه هواشناسی با جگون واقع در

۳۵ کیلومتری جنوب محدوده مورد مطالعه، متوسط میزان باران برای دوره‌ای ۱۰ ساله (۵۵-

(۱۳۴۵) ۲۷۲/۸ میلیمتر در سال بوده است. تنها رودخانه منطقه رودشور است که به دریاچه

شور بافق میریزد و در فصل بارندگی بر اثر رکبارهای نادر پر می‌شود.

روندهای کوه‌ای منطقه بطور عمده شمال‌غربی - جنوب‌شرقی است و از رشته‌های متواالی و

کرومه‌ای از کوه‌ها تشکیل شده که معمولاً "زیاد بلند نیستند و در دنبال آنها تپه‌هایی با

دره‌ها و فرورفتگی‌های کم و بیش عریض قرار گرفته است. رشته کوه‌های دارای شکل نامنظم با

زاویه‌های تند، ستیغ‌او قله‌های نوک تیز و دامنه‌های پرشیب بوده که بر اثر فرسایش مکانیکی

شکافهای زیادی دارند. از علائم مشخصه این کوه‌ها استقرار آنها با شیب تند در روی صفت

(pedestal) می‌باشد و اکثراً "از جلای بیابان (Vernis)" پوشیده شده اند. امتداد آنها

در دشت‌های مجاور پوشیده از رسوبات آبرفتی گاه بصورت برونزدهایی جزیره‌گون خودنمایی

می‌کند. جریان‌های فرسایشی در تکامل اخیر شکل سطح زمین منطقه (زئومورفولوژی کنونی)

نقش بسزایی ایفا نموده اند.

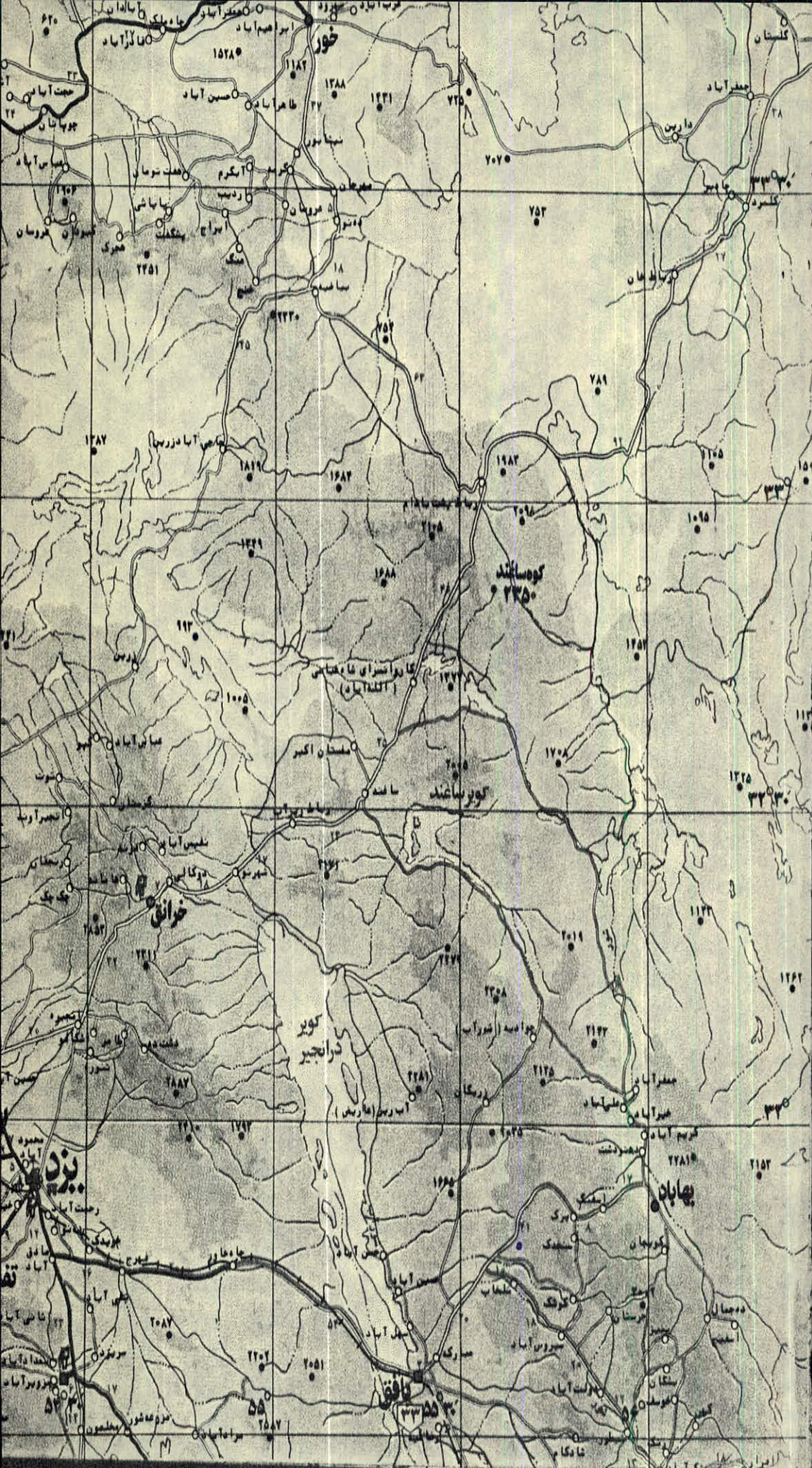
پوشش گیاهی منطقه نسبتاً "ضعیف اکثراً" شامل بوته‌ها و کمتر درخت و درختچه‌ودر

ارتفاعات بکلی فاقد روئیدنی است (گیاهان مشخص مناطق Semi-Arid و Arid).

آب‌های زیرزمینی منطقه نسبتاً کم و سلت وجود املاح فراوان اکثراً "لب شور" میباشد. از مهمترین حوزه‌های آبگیر در زدیکی منطقه، دشت شیطور، دشت بهاباد و دشت "حسن آباد رامیتوان" نام برد. ذخیره، ظرفیت آبدهی نوع ترکیب آب‌های این مناطق قبلاً توسط شرکت سنک آهن مرکزی مورد مطالعه قرار گرفته که در بخش مربوط به خود با تفصیل بیشتری مورد بررسی قرار خواهد گرفت.

دسترسی به کانس از طریق جاده بافق - بهاباد و راه منشعب از این جاده به معدن کوشک مسیر میداشد، این جاده به تازگی، اسفالت شده است. راه فرعی منشعب از جاده کوشک تا سر معدن بطول ۳ کیلومتر، از نوع خاکی درجه ۳ و در قسمت‌های محناج مرمت است. (نکاه کنید به نقشه راه‌های منطقه).

تجمع انسانی منطقه، اکثراً بمحورت پر اکنده در واحدهایی کم درخت بوده و در نواحی بزرگی بکلی قادر سکنه است. شهرستان بافق با جمعیتی بالغ بر ۱۰۰۰۰ نفر (نیز خسرو مهر) شهرک معنیچیان (عمده تجمع انسانی منطقه را تشکیل میدهد). وجود معادن فعال منطقه اثمر چشمکیری در پایبندی مردم و در نتیجه، احیا، اقتصاد روستائی داشته است.



مقیاس ۱:۱۰۰۰۰۰

نقشه شماره یک - نقشراههای بافق

### د. وضعیت آبهای زیرزمینی حوضه کانسار و نواحی اطراف آن\*

منابع آبهای زیرزمینی منطقه بافق و نواحی اطراف آن، قبلاً "از طرف شرکت ملی فولاد ایران مورد مطالعه قرار گرفته و در بعضی نواحی عملیات اکتشاف تفمیلی نیز با جراحت آمده است. از جمله این حوضه‌ها، دشت حسن‌آباد، دشت سهراباد، دشت شیطور و منطقه سنجدک سیاوشند که در اطراف محدوده کانسار اسفورده قرار دارند. نتایج بدست آمده از این مطالعات، بطور خلاصه چنین است:

#### الف. دشت حسن‌آباد

این منطقه در ۳۰-۲۵ کیلومتری غرب معدن اسفورده واقع شده است. ارتفاع در محدوده منابع از ۱۱۴۰ تا ۹۹۰ متر متغیر است. میزان ذخایر طبیعی  $8892 \times 10^6$  مترمکعب و سیران ذخایر مورد بهره برداری ۱۹۰۰/۵۵ ابتدا در شانیه برآورده است. منابع آبهای زیرزمینی منطقه شامل دوافق در رسبات کواترنری است؛ یکی افق بدون فشار در قسمت فوقانی بالا ملاج ۱/۶ تا ۷۵ کرم در لیتر و تیپ کلرور سولفات سدیم منیزیم و دیگر افق پر فش اراده تسمیت تحدیانی بالا ملاج ۸/۵۶ تا ۲۶ کرم در لیتر و تیپ کلرور سولفات سدیم - کلسیم ۰/۱۱ اب بانداره کامپیت بوده (۸/۶-۸/۴) و با عمق تغییر نمی‌کند. املاح ستوسط عمومی آبهای ریز زمینی شامل ۴/۹۴ و ۵/۵۴ کرم در لیتر می‌باشد که از حد مجاز (۶ کرم در لیتر) تجاوز نمی‌کند. نتایج بدست آمده نشان میدهد که تنها آبهای زیرزمینی افق آبدار فوقانی (بدون فشار) در محدوده چاههای قابل بهره برداری آینده مناسب بوده وافق آبدار تحدیانی (پرسشار) بعلت زیادی املاح نامناسب می‌باشد. میزان ذخایر محاسبه شده افق آبدار فوقانی (بدون

فشار) بدین ترتیب است:

#### ۱۸/۱۵ لیتر در شانه در کاتگوری B

\* مطالب این بخش بطور کامل از کزارشات آشناسی منطقه بافق و نواحی اطراف آن کمتوسط شرکت ملی فولاد ایران مورد پژوهش قرار گرفته، اقتباس شده است.

۱۴۱/۳۳ لیتر در ثانیه در کاتکوری ۱

۵۵۷/۴۹ لیتر در ثانیه در کاتکوری ۲

آب‌ای زیرزمینی این منطقه دارای خامیت خورنده فلز و کرفتگی فیلترهای توسط

رسوگذاری است.

### ب-دشت بهاباد

این منطقه با ارتفاع متوسط ۱۶۰۰ متر در ۳۵-۴۰ کیلومتری شمال‌شرقی معدن اسفوردي،

بین بخش بهاباد و روستای کریم آباد قراردارد و طول سفره آب آن به ۷۵ کیلومتر می‌رسد.

عمده ترین کمپلکس در برگیرنده آب‌ای زیرزمینی، رسوارات کواترنری با خامیت

۸۰۰-۷۰۰ متر می‌باشد. املاح آب این سفره ۲-۶ کرم در لیتر و بطور استثنائی در منتهی الیه

شمال‌غربی آن به ۱۲ کرم در لیتر نیز می‌رسد. نوع آب، کلوروسولفات منیزیم - سدیم می‌باشد.

میزان ذخایر محاسبه شده این منطقه بشرح زیراست:

در کاتکوری ۱۱ - ۱۵۴ لیتر در ثانیه

در کاتکوری ۱ - ۲۴۶ لیتر در ثانیه

در کاتکوری ۲ - ۲۰۹ لیتر در ثانیه

### ج-منطقه سنجدك

این منطقه با ارتفاع ۲۱۰۰ - ۱۹۰۰ متر در مجاورت بلافضل محدوده کانس اسفوردي

قرار دارد (کانس اسفوردي در منتهي الیه قسمت غربی منطقه سنجدك ترا رکرفة است).

ابعاد محدوده مورد مطالعه ۲/۵ × ۲/۵ کیلومتر می‌باشد. لایه آبده اصلی از کلکلو-

مراها، آهک‌او سنگ‌ای آذرین پالئوزوئیک (دیرینه زیستی)، تشکیل شده است. نوع آب،

هیدورکربنات سدیم سا مینرالیزاسیون ۵/۰ تا ۳/۹ کرم در لیتر می‌باشد. میزان ذخایر محاسبه

شده در این محدوده ۳/۲ لیتر در ثانیه در کاتکوری ۸ بوده که بسیار ناچیز است.

#### د - دشت شیطور

این دشت با ارتفاع متوسط ۱۹۵۰-۱۹۰۰ متر در فاصله ۳۰-۲۵ کیلومتری جنوشترقی

محدوده کانس اسپورتی قرار گرفته است . طول سفره آبدار این دشت ۱۲ کیلومتر و عرض آن تا

۶ کیلومتر ادربر میکیرد . لایه بده املی را رسوبات کواترنری تشکیل میدهد و دارای ۱۱۱ متوسط

تابازیک است . ظرفیت آبدهی این دشت در کانکوری ۴۰ لیتر در ثانیه برآورده شده

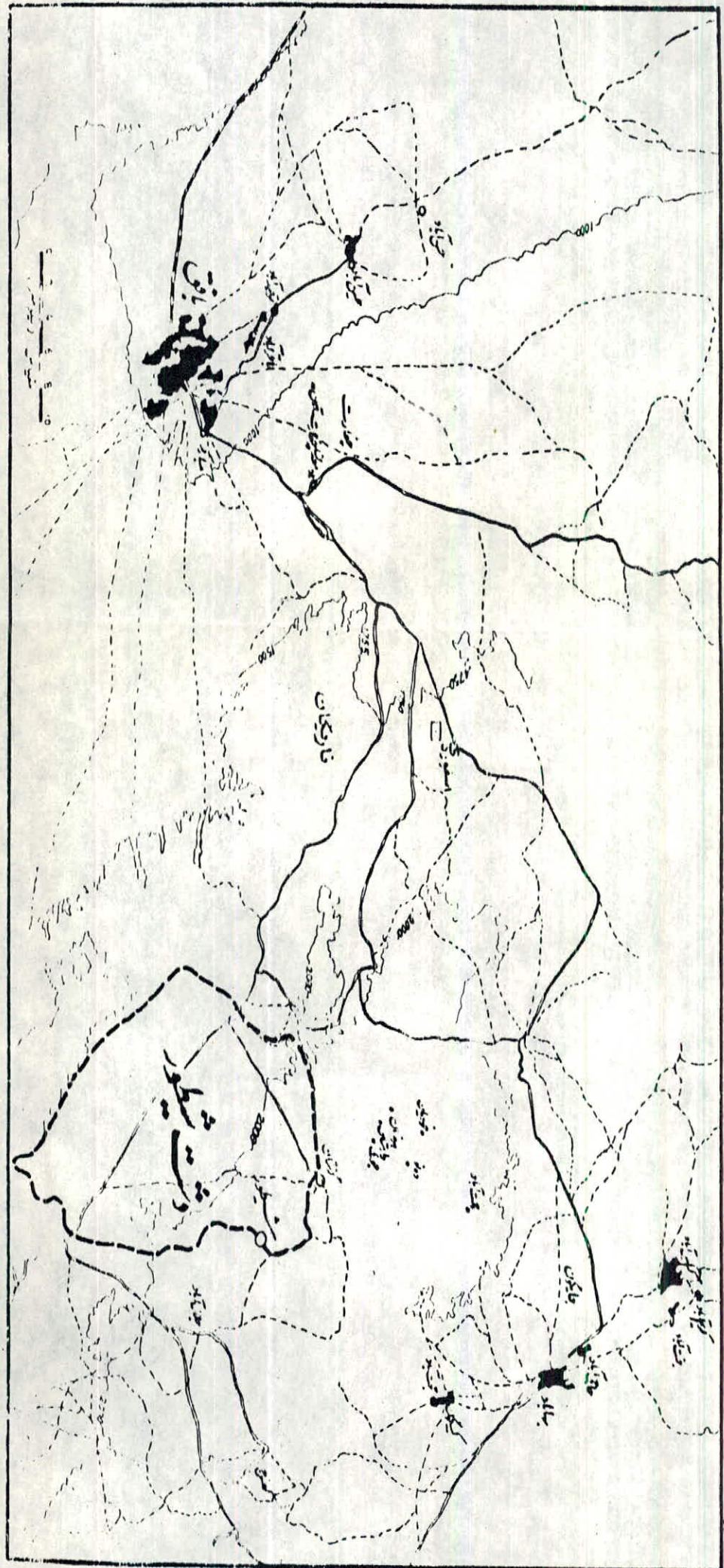
که با این مقدار برداشت ، پس از ۲۷ سال سطح استاتیک سفره آبی بحد مجاز نهایی خواهد

رسید .

در مطالعات مقدماتی فنی - اقتصادی کانس اسپورتی ، منابع سفره های زبرزینی

این منطقه ، جهت تامین نیاز آب آشامیدنی و صنعتی مورد استفاده در کارخانه آراییش و

معدن پیش بینی شده است ( نقطه شماره ۲۰ ) .



## نتایج ذخایر ارزیابی شده دشت بافق تا سال ۱۳۶۱

نوع آب	مینرالیزاسیون کلی گرم در لیتر	مترا مکعب در شباهه روز					سازند آبدار	حوضه مطالعه شده
		A	B	C <sub>1</sub>	C <sub>2</sub>	مجموع		
صنعتی	~ ۲۰	—	۶۵۰۵/۹ ۷۵/۳	۲۳۷۷۴/۱ ۲۷۴/۷	۱۶۵۰۲/۴ ۱۹۱	۴۶۷۴۲/۴ ۵۴۱	کواترنری	چاد رملو
"	≤ ۲	—	۱۳۳۰۵/۶ ۱۵۴	۲۱۲۵۴/۴ ۲۴۶	۱۸۰۵۷۶ ۲۰۹۰	۲۱۵۱۳۶ ۲۴۹۰	"	بهاباد
آشامیدنی	≤ ۲	۳۷۴۱/۱ ۴۲/۳	۱۰۰۸۲/۹ ۱۱۶/۷	—	—	۱۳۸۲۴ ۱۶۰	"	قطروم
"	≤ ۳	—	—	۲۴۵۶ ۴۰	—	۳۴۵۶ ۴۰	"	شیطور
"	≤ ۱	۲۷۶/۵ ۳/۲	—	—	—	۲۷۶/۵ ۳/۲	پالئوزوئیک - مزوزوئیک	سنجدک
"	≤ ۲	۲۶۷/۸ ۳/۱	—	—	—	۲۶۷/۸ ۳/۱	"	ساغند
آشامیدنی	—	۴۲۸۵/۴ ۴۹/۶	۱۰۰۸۲/۹ ۱۱۶/۷	۳۴۵۶ ۴۰	—	۱۷۸۲۴/۳ ۲۰۶/۳		
صنعتی	—	—	۱۹۸۱۱/۵ ۲۲۹/۳	۴۴۹۸۸۲ ۵۲۰/۷	۱۹۷۰۷۸/۴ ۲۲۸۱	۲۶۱۸۷۸/۴ ۳۰۳۱		

## ۶- زمین شناسی عمومی منطقه

حدوده اکتشافی دریکی از با آمدگیرای (Alia Up) قدیمی که قسمتی از " واحد رسین ساختی " ایران مرکزی را تشکیل میدهد، قرار گرفته است . در تشکیل ساختمان و مورفو- لوژی کنونی منطقه، تکامل دوره های زئوسنکلینالی فاز کوهراشی با یکالی و ایجاد شکستگی های عمیق و تشکیل بلوك های ساختمانی جداگانه ناشی از فاز کوهراشی آلپی، نقش اساسی ایفا نموده اند . یکی از این بلوكها، بلوك پشت بادام - بافق میباشد که از طرف شرق و غرب سویله کسله ای بزرگ " کوهستان " و " دویران " محدود شده و کمر بندتا فروزنی پر کامبریس ایران مرکزی محسوب میگردد ( نقشه شماره ۳ ) . تنوع فازهای ماکمایی که دامنه های ارسنکه های نلیابی تا اسیدی و کاملاً اسیدی را در بر میگیرد، دگر سانی و نیز واحدهای چینه ای جداسده بوسیله کسله ای طولی منظره اصلی این بلوك را تشکیل میدهد .

## ۱- چینه شناسی

قدیمی ترین سنکه ای شامل سنکه ای دگرگونه بار خساره شیست سبز، آمفیبولیت ، مرمر و کنیس میباشد که بناهای کمپلکس سرکوه و کمپلکس بنہشورونا مکداری شده اند . روی این واحدها سنکه ای بار خساره شیست ، کریوالک ، ماسه سنگ کوارتزیتی و شیله ای اسلیتی مربوط به سازندگان تاشک ۱ و تاشک ۲ میپوشاند . سن این مجموعه را بر اساس پرتوسنجی که روی سنکه ای دگرگونه آن صورت گرفته به پره کامبریس نسبت داده اند . \* سنکه ای هم از این واحدها در قسمت غرب کسل پشت بادام ، بناهای کمپلکس چاپدونی و کمپلکس پشت بادام خوانده میشوند ) به نقشه زمین شناسی بیابانک - بافق ب مقیاس ۱:۵۰۰،۰۰۰ تهیه شده توسط الف - حقی پور وح - پلیسیه مراجعت شود ) . نهشته های انفرات کامبریں بطور عمدۀ نسبت دادن این واحدها و یا حداقل بخش عدهای از آنها به پره کامبریں تا حدود زیادی مبتنی بر نظریه قدیمی اشتال دایر ب وجود توده میانی " Median mass " بوده است . در سالهای اخیر ب امطالعاتی که توسط برخی زمین شناسان در این منطقه و نواحی مجاور آن صورت گرفته، سن نسبت داده شده به اغلب این سنکه اماور دتردید قرار گرفته و باید منتظر تحولاتی جدی در این زمینه بود .

متشكل ازرسوبات پوشش قاره‌ای شامل دولومیت، کج، ماسه سنگ‌وپلاسیک‌ای رنگارنگ، سنگ‌های پرکامبرین را احاطه نموده و بادگر شیبی روی آنها قرار گرفته‌اند؛ سنگ‌های ولکانیکی با ترکیب اسیدی تامتوسط شامل آندزیتها، بازالتها و یولیتها (کوارتزپورفیز) همراه این نهشته‌ها در تناوب با آنها دیده می‌شوند. مجموعه این سنگ‌ها که تشابه زیادی با نهشته‌های هم‌زمان خود در کرمان دارند بهم "سری‌ای ریزوودزو" خوانده می‌شوند. برخی توده‌های آذرین نفوذی؟ منطقه از قبیل گرانیت زریگان نیز هم ارزسنگ‌های ولکانیکی این "سری‌ای" کزارش شده است. بین سنگ‌های این سیستم با نهشته‌های کامبرین حدفیزیکی شناخته شده‌ای وجود ندارد. سنگ‌های دوران دیرینه زیستی بارخساره‌ای کم و بیش شبیه نهشته‌های انفرات کامبرین در قسمت‌های محدودی از منطقه‌گستری دارند. سنگ‌های دوران میانه زیستی با گسترده‌گری بیشتری دیده می‌شوند. این سنگ‌ها بادگر شیبی روی واحدهای قدیمی‌تر از خود قرار دارند و شامل نهشته‌های قاره‌ای تریاس؟ وزوراسیک و نیز نهشته‌های کرتاسه می‌باشد که از کنگلومرا و لایه‌های قاره‌ای دیگر در قاعده و سنگ آهک دریائی کم عمق در قسمت‌های با لاتر تشكیل شده‌است. گسترش و ضخامت سنگ‌های پالئوسن - ائوسن محدود بوده و فقط در طول مناطق گسله‌ای اصلی شمالی - جنوبی (رخمنون دارند. این واحد شامل کنگلومرا ای قاعده (کنگلومرا کرمان) و لایه‌های قاره‌ای ائوسن می‌باشد که با مواد آتش‌فشاری همراه است. لایه‌های قمرمز قاره‌ای می‌وسن با سنگ‌های تبخیری بطور دگر شیب روی سنگ‌های ائوسن و کهن تر قرار گرفته‌اند و آنرا کنگلومرا ای اوخرنئوزن تا اوایل کواترنری، همچنان بادگر شیبی می‌پوشاند. نهشته‌های کواترنری، کوه‌پایه‌ها، فرورفتگی‌ها و نواحی بیابانی و سیم پیرامون رشته کوه‌های ادریس می‌گیرد. این نهشته‌ها شامل پادگانه‌های آبرفتی، مخروطه‌ای افکنه‌ای از قله سنگ‌ها، آبرفت‌های جدید، تلماسه‌های اورسوبات کویری می‌باشد.

## ۲- وضعیت ساختمانی و تکتونیک

اسکلت ساختمانی بلوك پشت بادام - بافقه اند بسیاری مناطق دیگر ایران تحت تاثیر رخداد زمین ساختی با یکالی (کاتانگایی) شکل گرفته است . در اثر این فاز کوهزایی، پی سنگ پره کامبرین توسط کلهای خیلی بزرگ شکسته شده و حوضه های گرابنی و ریفتی و با لآمدگیری این آنها ایجاد شده است . گسترش وسیع سنگهای ولکانیکی و نفوذی را در این بلوك به فاز کشی پیامد این رخداد زمین ساختی نسبت میدهدند . از آثار این فاز کوهزایی معمم آهن، اورانیوم ایجاد روندهای زمین ساختی بطور عمده شمالی - جنوبی و نیز تشکیل معادن معمم آهن، اورانیوم و برخی کانس ارها دیگر منطقه میباشد .<sup>\*</sup> ظاهرا " بعد از این فاز کوهزایی، ویژگیهای اساسی پی سنگ تامدته احفظ شده و فقط در نتیجه حرکات شاقولی رسوبات قاره ای و دریایی کم ژرف از طور عمده در قسمتهای حاشیه ای تشکیل میشده است . اولین حرکات کوهزایی پس از این زمان از دوره تریاک آغاز میشود که سبب با لآمدن قسمتهایی از با لآمدگی (۱۱۱ Ma) پره کامبرین شده است . مترین حرکات کوهزایی مریب طبقه اوایل کرتاسه است و از دلایل آن وجود دگ شیبی را ویهای شدید بین رسوبات این دوره رسوبات قدیمی تر از خود میباشد . حرکات کوهزایی طی دورانهای میانه زیستی و نوزیستی تا قبل از ائوسن والیکوسن خاتمه میباشد و فقط در دریاپلیو- پلیستوسن بلوك پشت بادام - بافق تحت تاثیر بیش روی فرونشسته است . وجود پادگانهای آبرفتی کواترنری نیز ادامه حرکات قبلی را تائید میکند .

تماس واحدهای چینه شناسی (لیتواستراتیکر افی) در این بلوك ساخته ای اغلب کسله بوده و در جای اصلی خود قرار ندارند . در این گسلها علاوه بر حرکات قائم، جابجائی های انقی نیز مشاهده میشود که منجر به تشکیل fault wrench شده است . نتایج مطالعات زمین شناسی طی سالیان متعددی ، اهمیت نقش این گسلها بخصوص گسلهای اصلی شمالی - جنوبی را در ایجاد ساختمانهای متفاوت چینهای و نیز تشکیل کانس ارها دیگر منطقه، آشکار

\* از نظر زمین شناسی اقتصادی، کوهزایی با یکالی (کاتانگایی) در ایران و سایر نقاط دنیا از اهمیت خاصی برخوردار است و بیشتر ذخایر آهن، اورانیوم و برخی کانس ارها دیگر در نتیجه این فاز کوهزایی مهم تشکیل شده اند .

ساخته است . در واقع شبکه شکستگی اقالبی برای مناطق ساختمانی ( هورستها - گرانبها )

ظرحریری کرده اند که هر یک دارای تاریخچه ساختمانی و ویژگیهای پالئوئوگرافی خاص خود

نمیباشد .

### ۳-۶. ماکماتیسم و متامورفیسم

عمده‌ترین مجموعه سنگهای آذرین و دگرگونه در بلوك پشت بادام - بافق به سیستم‌های

پره‌کامبرین و انفر اکا‌مبرین مربوط می‌شود . سنگهای آذرین منطقه‌ارناظر ترکیب سنگ‌شناشی

دامنه وسیعی از سنگهای بازیک تا اسیدی و کاملاً " اسیدی رادربرگرفته و انواع نفوذی، نیمه -

عمیق و خروجی را شامل می‌گردد . نسبت همبستگی درونی این سنگها ، بعلت پیچیدگی روند

رویدادها و ارتباط نزدیک آنها با پدیده‌های دگرگونی که هنوز در همه ابعاد آن مورد مطالعه قرار

نکرده، کاملاً " مشخص نیست . به مین دلیل در موردنداش ، و نحوه تشکیل این سنگها اتفاق نظر

وجود ندارد . در منطقه‌انواع مختلفی از کوارتزپورفیرها ، ریولیتها ، سینیتها ، مونزونیتها ،

کرانیتها ، آندزی بازالتها و نیز کوارتزکراتوفیرها ، پلازیوبورفیرها و آلبیتوفیرها دیده می‌شوند

که کم و بیش تحت تأثیر دگرسانی ( Metasomatism ) واقع شده و با آن ناشی شده‌اند .

بخش عمده‌ای از این سنگها به قطب آلكالن گرایش دارند . علاوه بر این در قسمت‌های مرکزی

بلوک ، ماکماتیسم از نوع پیروکسنیت سینیت - کربناتیتی نیز کزارش شده است . بطور کلی

ماکماتیسم موجود در این منطقه بدون ارتباط با دگرگونی و پر تریکوئیم دگرسانی بعنوان

جزشی از روند دگرگونی ناحیه‌ای ، قابل بررسی نمی‌باشد .

از عمده‌ترین توده‌های آذرین منطقه " گرانیت زریگان " رامیتوان نام برد . این گرانیت

برنگ سفید تا صورتی ، تقریباً " فاقد کانیهای تیره بوده و شباهت زیادی به " گرانیت دوران " در

منطقه زنجان دارد . هالمدگرگونی در مجاورت این گرانیت از یک تا چند متر بیشتر نیست و

بنظر میرسد با سنگهای خروجی از قبیل ریولیتها و کوارتزپورفیرها " سری ریزو " که در

و سعت زیادی سروبرد دارند، بی ارتداط نباشد. بنظر برخی پژوهندگان، تشکیل این توده سفونی بیمه عمیق (Subvolcanic) و توده‌های مشابه، باشی از ذوب محدود و تحریر ک (Remobilization) مواد آتشفسانی بوده و احتمالاً "دارای خاستگاه آناتکسی" (تشکیل ک، انت بطریق آناتکسی) می‌باشند. مطالعات سنگ‌شناسی انجام شده وجود پدیده‌های آلبیتی‌شدن (Albitization) و اسکاپولیتی‌شدن (Scapolitization) را در بخش آذربایجان پدیده‌های از این بلوك، تائید می‌کند. در اثر این پدیده‌ها، پلازیوکلازهای موجود در سنگ‌های آذرین به اسکاپولیت تبدیل شده‌اند پیروکسن‌ها و آمفیبولهای سدیک مانند آذربایجان سوداتر مولیت و ترمولیت تغییر شکل یافته است.<sup>\*</sup> بنظر آنها، یک ذکر کوئی ناجیهای استانیک با کیفیت متازوماتیک بدون دکر شکلی مهم، پیامد فعالیت‌های آتشفسانی انفرادی است. کامبرین‌سویت که بادحالت سدیم‌پدیده‌های آلبیتی‌شدن (تشکیل اسپیلیت و کراتوفیر) او اسکاپولیتی‌شدن را موجب کشته و در تشکیل کانسارهای آهن و سایبرکانیم ای با ارزش منطقه موشیوده است. تقریباً "همه جایی سنگ‌های با طور کلی سازنده‌ای پره کامبرین و انفراد کامبرین مسطقه، سورده‌جوم دایک‌های بازیک بطور عمدی با ترکیب دیاباری، قرار گرفته‌اند. این دایک‌ها بر نک سبز روش بطور عمدی مشکل از پلازیوکلازوپیروکسن است که تا حدود زیادی آلتزمده‌اند. عده‌ای دیگر از پژوهندگان، در فرآیند کانی سازی مناطق مختلف این بلوك، برای این دایک‌ها نقش عمدی‌ای قائل شده‌اند.

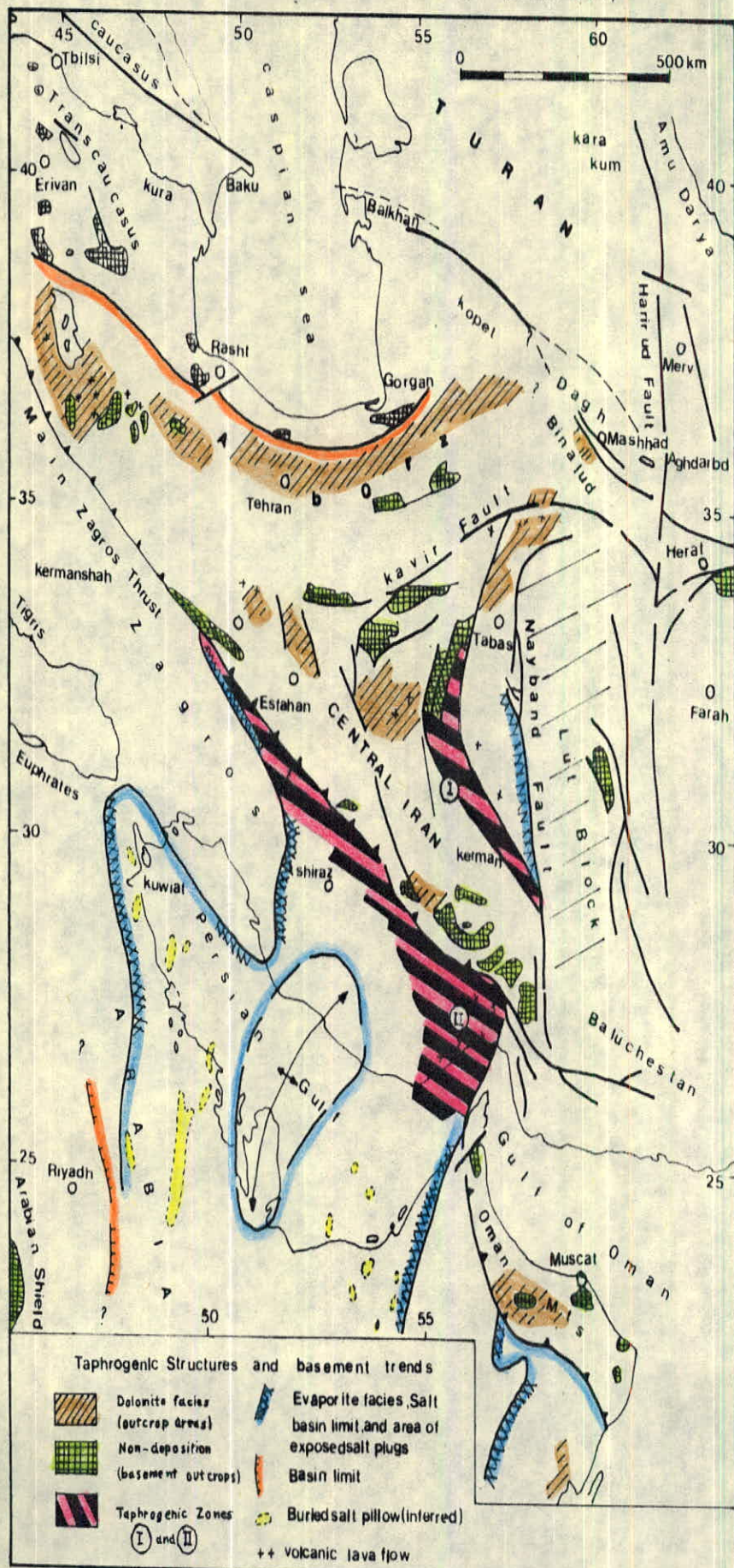
در مناطق مختلف این بلوك، دوفاز پیوسته ذکر کوئی دینامیک / حرارتی بترتیب با ویژگی فشار زیاد و حرارت زیاد در سنگ‌های سیستم پره کامبرین تشخیص داده شده که هر دیگر از نظر دکر شکلی، تشکیل میکماتیتی با سپس آناتکسی ویژگی‌ای خود را داشته است. در این مجموعه کرانیت کنیسه‌ها و میکماتیتی با خش پائینی و سنگ‌های بارخسار آمفیبولیت و

شیسته‌ای سبز بخش با لائی را تشکیل میدهند.

\* نظیر این پدیده هادر سنگ‌های با ترکیب مشابه و از نظر سنی هم ارز، در سایر نقاط دیبا و از جمله در دریای سرخ نیز، کزارش شده است.

Paleogeographic Map of Late Precambrian-Early Cambrian in Iran

By: B.A. Samani (modified after Stocklin 1974)



نقشه شماره ۲ - اقتباس از گزارش

Recognition of uraniferous provinces from the precambrian of IRAN,

By: B.A.Samani

## ۷- منشا، کانسارور ابظه آن با سنگهای در برگیرنده\*

ناکنون در باره منشاء، کانسارهای منطقه بافق - ساغندواز جمله کانسار اسفوردي نظریات

کوناکونی ابراز شده است . تنوع فازهای ماقمایی، پیچیده بودن روندها و سورفولوژی های

کوناکون کانسارهای منطقه، از دلایل این مراست . مقایسه این نظریات وارائه شواهد دلایل،

موضوع بحث جداگانه‌ای است و در این مختصرنمی‌گنجد .

در محدوده اسفوردي و اطراف آن، سنگهای آذرین با وسعت زیادی دیده می‌شوند . این

سنگها بطور عمده شامل ریولیت‌هاي تاحدوسي دگرسان شده بر نگاه صورتی، سفيد و سبز روشـ

ميـ باشـدـ كـهـ درـ قـسـمـتـهـايـ جـنـوبـ،ـ شـرقـ وـ جـنـوـبـغـربـيـ مـحـدـودـهـ کـانـسـارـ،ـ باـ مـورـفـولـوـژـيـ هـايـ مـتـفـاوـتـيـ

كـسـتـرـشـ دـاشـتـهـ وـقـاعـدـهـ اـكـثـرـ چـاهـهـايـ اـكـتـشـافـيـ رـاتـشـكـيلـ مـيدـهـنـدـ،ـ اـرـتـبـاطـ اـيـنـ سـنـگـابـادـولـومـيـتـهـ،ـ

شـيلـهـ اوـمـاسـهـ سـنـگـهـايـ منـتـسـبـ بهـ "ـ سـرـيـ رـيزـوـ"ـ درـ مـحـدـودـهـ مـورـدـ مـطـالـعـهـ کـامـلاـ"ـ مشـخـصـ نـيـستـ وـ

بنـظـرـ مـيرـسـدـ آـنـهـارـ اـقطـعـ كـرـدهـ اـنـدـ .ـ خـودـايـ سـنـگـهـاـونـيـزـ سـنـگـهـايـ "ـ سـرـيـ رـيزـوـ"ـ بـوسـيلـهـ دـايـكـهـايـ

باـنـرـكـيـبـ باـرـيـكـ قـطـعـ شـدـهـ اـنـدـ .ـ اـيـنـ سـنـگـهـايـ اـبـطـورـ عـمـدـهـ شـامـلـ سـنـگـهـايـ دـيـابـازـيـ بـرـنـگـ سـبـزـتـيـرـهـ،ـ درـ

قـسـمـتـهـايـ مـحـلـافـيـ اـزـ مـحـدـودـهـ اـكـتـشـافـيـ وـ درـ بـخـشـهـايـ وـ سـيـعـيـ اـزـ مـنـطـقـهـ کـانـسـارـ اـرـبـونـزـدـ دـاشـتـهـ وـ

دـگـرـسـانـيـ پـرـداـمـهـايـ رـاـمـوجـبـ شـدـهـ اـنـدـ .ـ

برـاسـاسـ مـطـالـعـاتـ سـنـگـشـناسـيـ اـنـجـامـ شـدـهـ توـسـطـ عـ -ـ درـوـيـشـ زـادـهـ وـعـ -ـ بـابـاخـانـيـ،ـ تمامـيـ

سنـگـهـايـ آـذـرـينـ مـنـطـقـهـ کـانـسـارـ اـزاـنـوـعـ آـلـکـالـنـ مـيـباـشـندـ (ـ نـمـوـدـارـشـماـرـهـ يـكـ )ـ .ـ رـيـولـيـتـهـاـ درـ قـطبـ

پـتاـسـيـكـ وـبـقـيهـ انـوـاعـ سـنـگـهـايـ آـذـرـينـ مـنـطـقـهـ درـ قـطبـ سـيـدـيـكـ قـرارـكـرفـتـهـ اـنـدـ وـ بـنـيـنـظـرـ مـيرـسـدـ بـيـنـ آـنـهاـ

هـيـچـكـونـهـ هـمـسـتـگـيـ زـنـتـيـكـيـ وـجـودـنـدارـدـ (ـ نـمـوـدـارـشـماـرـهـ دـوـ )ـ .ـ

سنـگـهـايـ دـگـرـسـانـيـ درـ مـحـدـودـهـ کـانـسـارـشـامـلـ مـجـمـوعـهـ پـيـروـكـسـنـيتـ .ـ آـپـاتـيتـ وـ آـمـفيـولـيتـ

بـطـورـ عـمـدـهـ شـامـلـ کـانـيـهـايـ تـرـمـولـيتـ وـاـكتـيـنـولـيتـ مـيـباـشـدـ کـهـ اـرـتـبـاطـ نـزـديـکـيـ باـ سـنـگـهـايـ نـفوـذـيـ

\* جـهـتـ آـگـاهـيـ بـيـشـتـرـدرـ اـيـنـ زـمـينـهـ بـهـ مـقاـلاتـ:ـ پـتـروـگـرافـيـ وـ زـئـوشـيمـيـ کـانـسـارـاـهـنـ .ـ آـپـاتـيتـ

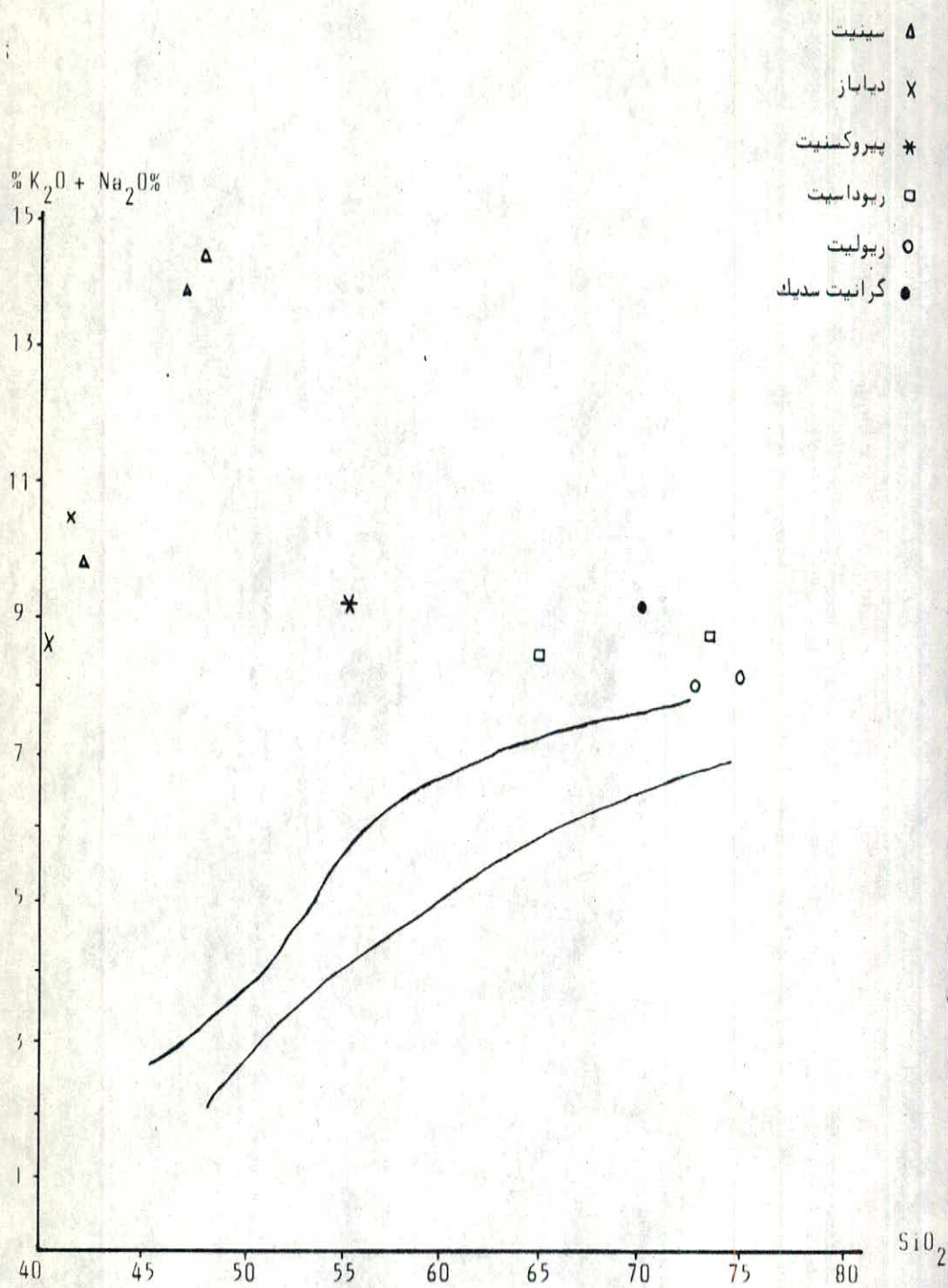
اـسـفـورـديـ،ـ توـسـطـ عـلـيـرـضـاـ بـابـاخـانـيـ وـ بـرـرسـيـ فـسـفـاتـ باـفقـ "ـ اـسـفـورـديـ"ـ دـكـترـعلـىـ درـوـيـشـ زـادـهـ،ـ

منـدـرـجـ درـنـشـريـهـ دـانـشـكـدهـ عـلـومـ دـانـشـگـاهـ تـهـرانـ مـراجـعـهـ شـودـ .ـ

باریک) سنگهای دیاباری نشان میدهند. مطالعات انجام یافته بوسیله کارشناسان خارجی و ایرانی در طول سالیان گذشته، وجود دکرسانی وسیع و پردازه در سنگهای آذرین منطقه کانسار را محقق ساخته است. از جمله ع. حقی بور به دگرگونی استاتیک از نوع آلکائنزایی که در مقیاس ناحیه‌ای، اسکاپولیتیزاسیون و آلبیتیزاسیون وسیعی را موجب شده، اشاره نموده است. شواهد مورفولوژیکی از یکطرف و مطالعات سنگ‌شناسی انجام شده از طرف دیگر، وجود ارتباط و همپیوندی مجموعه سنگهای معدنی را بادایکهای دیاباری نشان داده است. با توجه به نمونه‌های مشابه کانسار در دیگر مناطق دنیا و انتساب اکثر آنها به ماقعاتیسم کربناتیتی، شاید بتوان چنین خاستگاهی را برای کانسار اسفورودی نیز مطرح نمود. بویژه آنکه شواهدی دال بر وجود این پدیده در مناطق ساغند و جنوب زریگان یافت شده است. (رجوع شود به

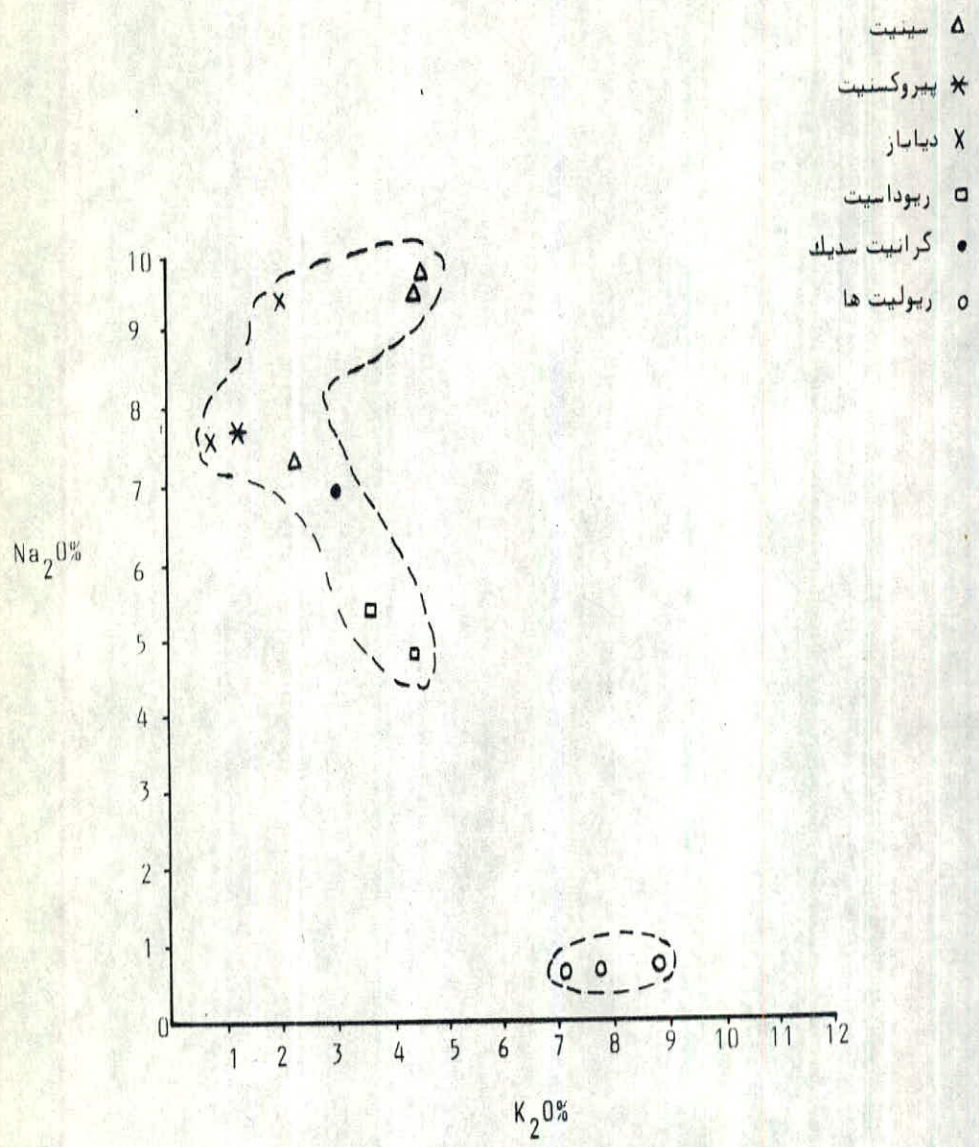
Recognition of uraniferous provinces from the precambrian of Iran

By: Bahram-e-Samani, Aug. 1984, Energy Organization of Iran).



نمودار شماره یک - موقعیت سنگهای منطقه اسپورتی در دیاگرام Kuno

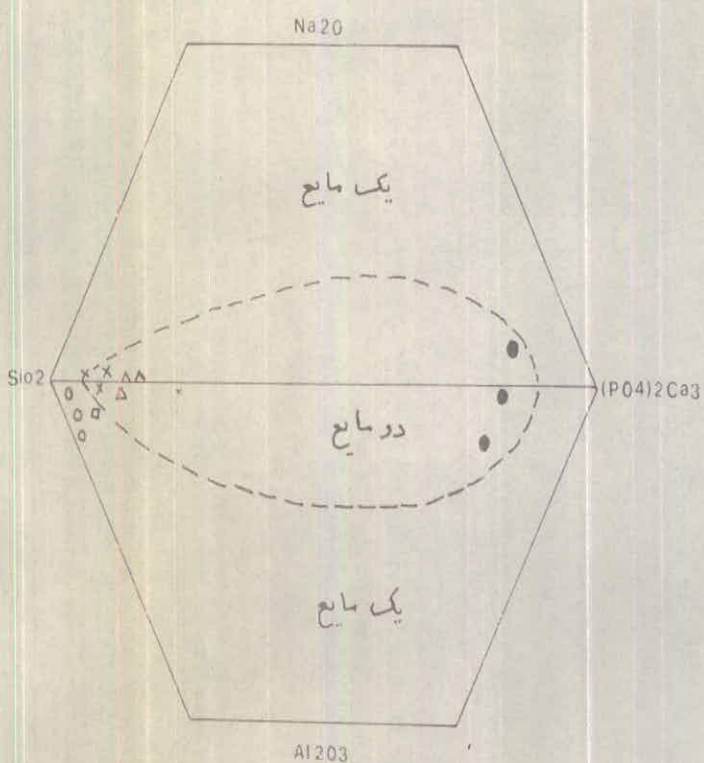
تبیه شده توسط علیرضا باباخانی



نمودار شماره دو - موقعیت سنگهای منطقه اسفورده در دیاگرام  $\text{Na}_2\text{O}/\text{K}_2\text{O}$

تبیه و تنظیم از علیرضا باباخانی

- ~ - آپاست
- △ - سیست
- X - دیلار
- \* - پیروکسین
- - ریولیت



نمودار شماره ۳ - موقعیت سنگ‌های منطقه اسفوردی

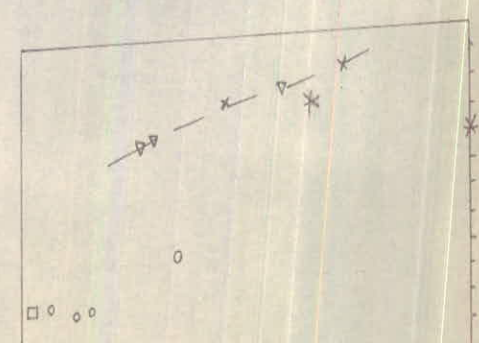
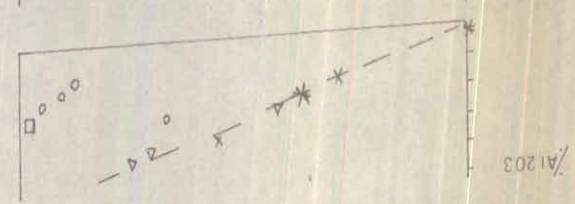
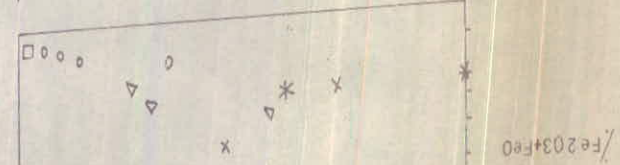
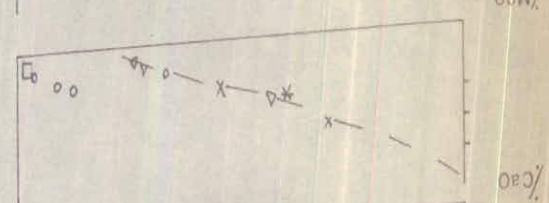
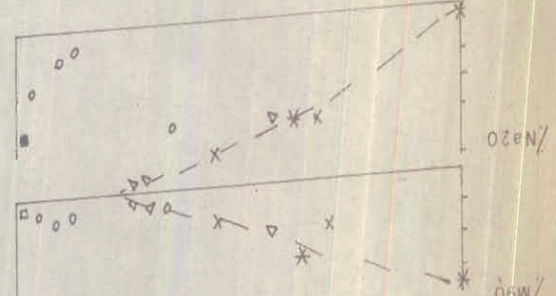
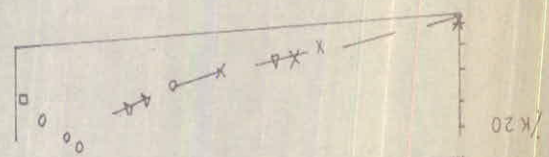
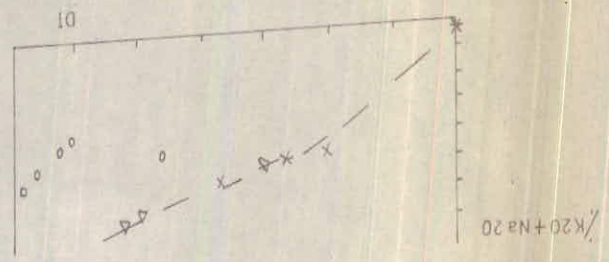
Na<sub>2</sub>O-Al<sub>2</sub>O<sub>3</sub>-SiO<sub>2</sub>-(PO<sub>4</sub>)<sub>2</sub>Ca<sub>3</sub> در سیستم Immicible میدان در مایع

(Melentiev and O.L. Shansky)

تئیه و تحقیق از علیرضا با بهمنی

۱۷۹۷میں تھا

“গুরু পালক পালক পালক পালক, মন দশী” পালক পালক পালক পালক



- o -
- o -
- o -
- \* -
- x -
- a -

### آنچه کسترش افق‌های معدنی (مورفولوژی کانسار)

افق‌های معدنی حاوی آپاتیت بصورت رگه‌های باشکل نیم حلقوی، در اطراف و در مجاورت

توده‌آهن \* اسفوردی برونز داشته و در واقع آبرادر برگرفته‌اند.

توده‌آهن اسفوردی، بشکل گوه با شبیه نسبتاً "ملایم به سمت شمال کشیده شده و در

قسمت‌های حاشیه‌ای باریک می‌شود. در این توده که بخش عمدۀ آن از ماگنتیت تشکیل شده،

آپاتیت بشکل‌های شبکه‌ای، عدسی، رگه‌ای و حتی بلورهای نسبتاً "بزرگ‌بافت" می‌شود، وجود

همانیت در این توده، همانند کانس ارچ‌غارارت ناشی از پیدیده مارتیتیزاسیون (تبديل ماگنتیت به

همانیت) می‌باشد.

تمرکز آپاتیت همراه با ماگنتیت، همانیت، ترمولیت و کلسیت در قسمت کمر با لای توده

آهن باندازه‌ای است که بعنوان مهمترین افق معدنی حاوی آپاتیت در نظر گرفته شده است. روی

این افق، بخش پرعیار دیگری بطور عمدۀ مشکل از کانیهای ترمولیت - اکتنیولیت، آپاتیت،

همانیت، ماگنتیت و بمیزان کمتر کلسیت و کوارتز و نیز کانیهای ثانویه نظیر کلریت، اپیدوت

و تالک، تفکیک شده است. این افق معدنی در واقع قسمتی از "سنگ‌های سبز" دکرسان شده‌را

تشکیل می‌دهد که در آن تمرکز بالتبه زیادتر رگه‌های آپاتیتی مشاهده می‌شود. در گزارش

اکتشافات تفصیلی کانسار، این دو افق بعنوان افق‌های معدنی ارزیابی شده و مورد مطالعه قرار

گرفته‌اند (به ترتیب افق‌های شماره ۲ و ۳ در آن گزارش). در گزارش حاضر، این دو افق بمقابل ترتیب

تحت عنوان افق اصلی (افق آپاتیتی) و بخش پرعیار "سنگ‌های سبز" نامگذاری شده‌اند.

علاوه بر اینها، افق دیگری بطور عمدۀ مشکل از کانیهای همانیت، ماگنتیت و آپاتیت

با عیار متوسط ۰,۱۲٪ در مطالعات اکتشاف تفصیلی مورد شناسائی قرار گرفته است (افق

شماره یک). این افق در قسمت کمرپائین توده‌آهن قرار داشته و در واقع بخشی از آن محسوب

\* توده‌آهن اسفوردی، قبلاً "در عملیات اکتشاف ذخایر آهن مناطق مرکزی ایران توسط شرکت

ملی ذوب آهن ایران، ذخیره یابی و بعلت آغشته نسبتاً "زیاده فسراً زاده مطالعات

روی آن خودداری شده است.

میشود . بعلت وضعیت استقرار این افق ، تازمانیکد مساله فسفرزدایی توده آهن حل نشده ،  
عملیات معدنکاری آن با افزایش بسیار زیاد میزان باطله برداری و صرف هزینه‌های کسراف  
استخراجی رو بروخواهد بود . بهمین دلیل ، در عملیات اکتشاف تفصیلی کانسار ، از مطالعه  
جدی روی این افق خودداری شده است .

شیب افق اصلی در مجاورت بلا فصل توده آهن نسبتاً " زیاد ( حداً کثراً ۵۵ ) و در فاصله  
کوتاهی به سمت شمال به حدود ۲۲° و گاه کمتر می‌رسد ( اطلاعات و نتایج بدست آمده از چاههای  
اکتشافی ) . این امر با احتمال قریب به یقین ناشی از شبکه شکستگی‌های کانسار می‌باشد .  
چنانچه به نقشه مناطقی محدوده معدنی ، تهیه شده در عملیات اکتشاف ژئوفیزیک توجه  
شود ، شبکه شکستگی‌های در قسمتی باحدود مشخص شده توده آهن مطابقت دارد . نحوه تماس  
قطع ( Sharp ) توده آهن با سنگ‌های دربرگیرنده خود ، بخصوص باریولیت‌های کمر پائین آن  
احتمالاً " با این شکستگی‌ها ارتباط دارد . براساس این نقشه ، شبکه شکستگی‌ها بحورت کسلهای  
طولی و عرضی مجموعه کانس ار را دربرگرفته و بیشتر در اطراف چاههای ۹ ، ۱۰ ، ۱۱ ، ۱۲ و ۱۳ ( اکسترشن دارد .

تفییرات ضخامت و عیار در این کانسار ، چه در گستره عرضی و چه در عمق ، نسبتاً " زیاد  
می‌باشد ( از مشخصات برخی کانسارهای دکرسانی ) ، شاید از این نظر ، بتوان کانسار اسفوردي  
را در گروه چهارم تقسیم بندی زنگوف ( رجوع شود به بخش ضمیمه ) جای داد . در این گروه  
تفییر مشخصات کانسار اعم از ضخامت ، عیار و ... بصورت پله‌ای ، نامنظم و متناوب توصیف  
شده است . در کانسار اسفوردي ، این تفییرات تا حدود زیادی با شبکه شکستگی‌ها ارتباط دارد .  
بیشترین ضخامت و عیار در افق‌های معدنی ، در محدوده چاههای اکتشافی ۸ و ۹ ( ۱۰ ، ۱۱ )  
با ثبات رسیده است . در محدوده این چاههای دایک‌های آپاتیتی نسبتاً " بزرگی در سطح زمین  
رخنمون دارد .

تماس "سنکهای سر" باربولینت‌های شمال محدوده کانسار، کسل است (کسل عرضی) .

این کسل ساعث رانده شدن افقهای معدنی به سمت بالا شده است . تکرار افقهای معدنی در چاه شماره (۲۰۱۰۷) دربخش شمالی این کسل ناشی از این امر است .

عملکرد کسلها ، علاوه بر این دربخش‌های حاشیه‌ای معدن ، منجر به حذف افقهای معدنی شده است (نتایج چاه ۱۱۰۱۰۱ ادر قسمت غربی و چاه‌ای ۱۱۰۱۰۸ در قسمت شرقی و شمال شرقی محدوده کانسار) . چاه‌ای ۱۱۰۱۰۸ نیز درشعاع تاثیر این کسلها قرار داشد و بین شب و استداد افقهای معدنی در این چاه اوپیه محدوده معدنی ، رابطه مذهبی وجود ندارد .

بر اساس مطالعات انجام شده ، بین دایکهای دیابازی و مجموعه سنکهای معدن رابطه نزدیکی وجود دارد . این ارتباط از نظر مورفولوژی ، کاملاً "روشن نیست و تقریباً" همه جا این دایکهای مجموعه سنکهای معدنی و "سری ریزو" راقطع کرده و تغییراتی در شکل کانسرا ایجاد نموده‌اند . عملکرد این دایکهای در چاه ۱۱۰۱۰۷ بخوبی مشهود است . در این چاه ، رکه‌های آپاتیتی نموده‌اند . عملکرد این دایکهای در چاه ۱۱۰۱۰۷ بخوبی مشهود است . در این چاه ، رکه‌های آپاتیتی نموده‌اند . عملکرد این دایکهای دیابازی مشاهده می‌شوند و حالتی شبیه‌هضم (Patches) ، داخل سنکهای دیابازی مشاهده می‌شوند و حالتی شبیه‌هضم ناقص آنها در ذهن تداعی می‌کند . از طرفی ، نفوذ رکه‌های آپاتیتی در "سنکهای سر" بطور عمده متشکل از ترمولیت - اکتینولیت بخوبی مشهود بوده و خود این سنکهای رابطه نزدیکی با سنکهای دیابازی و پیروکسینیت‌های غرب محدوده معدنی دارند . در همان چاه ۱۱۰۱۰۷ بین "سنکهای سر" و "سنکهای دیابازی تقریباً" هیچگونه تماس مقطع (Sharp) دیده نمی‌شود .

برخلاف آنچه قبل از پنداشته می‌شد ، مجموعه سنکهای معدنی بطور هم شب با سنکهای هم‌رخود ، در دیف سنکهای ولکانیک - رسوبی "سری ریزو" قرار نداشته و آنراقطع کرده‌اند . وجود رکه‌های آپاتیتی فراوان در ریولیت‌های کمرپاشین کانسرا ، دگرسانی قسمتی از دولومیت‌های قاعده چاه‌ای اکتشافی و نیز وجود زون (one) بر شاهی که در قاعده افق اصلی ، در اکثر چاه‌های

اکشافی مورد مطالعه قرار گرفته، بخودی موبید این امر است.

روی انقیای معدنی زادربخش عمدت ای از محدوده کانسار، "سنگهای سیز" میپوشاند.

این سنگ ابطور عمدت متشکل از آمفیبول اورالیت‌ها (ترمولیت - اکتینولیت) همراه با

هماتیت، ماکنتیت، آپاتیت، کلسیت و کوارتز بوده و کانیهای از قبیل آندرادیت، کلریت،

اپیدوت و تالک به مران کمتریافت می‌شود، تمرکز غیرعادی رگدهای آپاتیتی در قسمت‌هایی از

این سنگ ابطور و پوح مشاهده می‌شود.

سنگهای ریولیتی شمال کسل عرضی نیز دریخشهای مجاور افقهای معدنی، آغشته‌ی

نسیتا "زیادی داشته و شدیدا" ذکر سان شده‌اند.

دریخشهای دیگری از محدوده کانسار و مناطق اطراف آن، برونزدهای کوچک از آهن و

آپاتیت به مران سنگهای ذکر سان شده دیده می‌شوند. این سنگ‌ها ذخایر عمدت ای را تشکیل

نمی‌دهند.

፳ጀ የፌዴራል አዲስ ዓበባ.

፳፻፲፭ ዓ.ም. የፌዴራል አዲስ ዓበባ የፌዴራል አዲስ ዓበባ

፳፻፲፭ ዓ.ም. (የፌዴራል አዲስ ዓበባ የፌዴራል አዲስ ዓበባ)

-14-

#### ۹- ویژگیهای سنجشناسی، کانی شناسی و شیمیائی افقهای معدنی و سنگهای دربرگیرنده

همانطور که قبلاً<sup>\*</sup> گفتند، در محدوده کانسارد واقع معدنی حاوی آپاتیت شناخته شده است. کانیهای عمدۀ این افقها را آپاتیت، هماتیت، ماکنتیت، ترمولیت، کلسیت و کوارتز تشکیل میدهند.

نوع آبادیت این کانسار، فلوئور آپاتیت میباشد.<sup>\*</sup> تجزیه شیمیائی بلور آپاتیت طی مطالعات اکتشاف تفصیلی کانسار، علاوه بر این موید وجود مقدار قابل توجهی کلرنسیز میباشد:

نمونه	$\text{SiO}_4$	$\text{Al}_2\text{O}_3$	$\text{Fe}_2\text{O}_3$	$\text{CaO}$	$\text{TiO}_2$	$\text{CaO}$	$\text{MgO}$	$\text{K}_2\text{O}$
B.AP.16	n.d.	n.d.	0/4	n.d.	0/1	53	n.d.	n.d.
	$\text{Na}_2\text{O}$	$\text{MnO}$	$\text{P}_2\text{O}_5$	I	CI	$\text{SrO}$	$\text{H}_2\text{O}$	$\text{H}_2\text{O}$
	0/21	0/3	0/66	42/04	1/05	1/52	0/1	0/08

( مقدار فلوئور در این نمونه، بعلت خرابی دستگاه فلوئور سنج، از میزان واقعی آن کمتر است )

شکل بلورهای آپاتیت، هکزاكونال مونوپیر امیدال بوده و کاهی مانند آپاتیت‌های جزیره هرس، بلورهای ۱۲ وجهی نیز دیده میشود که در همه آنها نسبت طول به قطر بیشتر میباشد.

همانند کانسار چنارت، در اینجانب زدونو<sup>\*</sup> آپاتیتیز اسیون تشخیص داده میشود: آپاتیت ا

و آپاتیت || .

آپاتیت امحورت بلورهای شکلدار (Cubedra) و یا باسطح بیرونی صاف و مدور، بر نکز زرد نارنجی و بندرت بیرنگ، همبستگی نزدیکی با ماکنتیت (توده املی آهن) داشته و به نسبت‌های مختلفی با آن دیده میشود؛ بنحوی که با افزایش یکی از آنها تدریجاً به ماکنتیت املی (سنگ آهن) یا آپاتیت املی (رکه‌های دایکهای پر عیار آپاتیتی) تجزیه شیمیائی بلور آپاتیت توسط حسن برومندی، میزان فلوئور ۱۴٪ نشانده است که از مقدار معمول آن در بلور آپاتیت‌های زیربیشتر میباشد. بنظر نامبرده، این پیدیدهای از تشکیل احتمالی بلورهای کلسیم فلوراید (CaF<sub>2</sub>) در شکه بلور آپاتیت میباشد. مطالعه با دیفرانسیل اکتوسکوپ اشعدایکس توسط علی درویش زاده نیز، نوع آپاتیت‌های اف‌فلوئور آپاتیت مشخص کردند.

تغییر می‌نماید، نخامت بلورهای آپاتیت ابطور عمدۀ ۱۰ میلیمتر بوده و تجمع بلورهای آن در سطح حفره‌ها و شکاف‌ها و سخنوما "در توده‌ها هن، فراوان دیده می‌شود، بلورهای درشت آپاتیت پربرنگ زرد عسلی تا سیز روشن بانداره ۳-۴ سانتی‌متر و پرگتر، با سطح شکستگی صدفی، در سیان این بلورهای اسچشم می‌خورد که همکی آن‌ها در سیمانی از کربنات، هماتیت و بندرت آمفیبول شناورند.

آپاتیت || بابافتی دانه‌ریزتر، شفاقت و تجمع کمتر مشخص می‌شود، اندازه دانه‌های آن ۱۰/۰-۲۰/۰ میلیمتر بوده و همراه کلسیت، هماتیت، ماکنتیت و دانه‌های درشت آپاتیت سیمان شده است، آپاتیت || بطور عمدۀ در سنگ‌های دگرسانه با ترکیب آلبیت و ترمولیت تعریز گرفته است.

عمده ترکیب افق اصلی را تمرکز این دونوع آپاتیت تشکیل میدهد که در آن بیشتر دانه‌های بر رنگ آپاتیت اوتکه‌های شکسته آن، همراه انبوه دانه‌های ریز آپاتیت || و همچنین ماکنتیت، هماتیت و ترمولیت سیمان شده و توسط رگه‌های شبکه‌ای خیلی ریز کلسیت و ترکیبات کوارتز- کلسیت نظر شده اند.

در زیر میکروسکوپ، انکلوزیون‌های زیادی در اغلب بلورهای آپاتیت دیده می‌شوند که کم و بیش جهت بافت‌هستند، خاکهای نادر موجود در کانس ار را به این انکلوزیون‌ها نسبت داده‌اند، در مطالعات میکروسکوپی انجام شده روی نمونه‌های معرف افقی ای معنی توسط شرکت پاپلواییب، آپاتیت بصورت تجمع بلورهای دانه ریز را ویا ابعاد مساوی مورد مطالعه قرار گرفته‌که توسط رشته‌های سطحی کربنات‌ها و اکسیدهای آهن پوشانده شده‌اند، آپاتیت همچنین بصورت بلورهای Subhedral (مشورهای کوتاه)، حاوی محلولهای انکلوزیونی و آن‌ها آبخنده با اکسیدهای آهن و کربنات‌ها یافت شده‌است.

ترکیب کانی شناسی نمونه ۱۸۱ تا حدود زیادی معرف افق اصلی معنی می‌باشد:

نمونه	Al	OxI	Fale	Oz	Frem	Mag	Fel	Anat	Schor
۱۰۱	%۳۹	%۱۱	%۴	%۸	%۱۵	%۱۴	Tr	Tr	%۷

۱۰۱ = مقدار ناچیز  
۱۰۲ = اسفن  
۱۰۳ = کوارتز  
۱۰۴ = آپاتیت  
۱۰۵ = اکسیدهای آهن  
۱۰۶ = ترمولیت  
۱۰۷ = کلسیت  
۱۰۸ = فل

= شورلومیت (آندرادیت غنی از تیتانیوم)  
= مکنیت  
= مگنتیت

ترکیب متوسط شیمیائی این افق بر حسب درصد، بشرح زیر بدست آمده است:

SiO<sub>2</sub>, Al<sub>2</sub>O<sub>3</sub>, Fe<sub>2</sub>O<sub>3</sub>, LiO<sub>2</sub>, CaO, MgO, Na<sub>2</sub>O, K<sub>2</sub>O, MnO, P<sub>2</sub>O<sub>5</sub>, TiO<sub>2</sub>, SO<sub>3</sub>, Cl  
۲۰/۷۳ ۶/۲۲ ۲۰/۲۹ ۰/۰۸ ۰/۷۳ ۰/۶۲ ۲۰/۰۷ ۰/۷۲ ۰/۹۹ ۴/۵ ۰/۲۸ ۰/۲۰

نسبت  $\text{CaO}/\text{P}_2\text{O}_5$  در این افق به میزان ۱/۸۷ محاسبه شده است. مقدار زیاد  $\text{CaO}$  در این افق و نیز بخش پرعیار "سنکهای سبز" همانگونه که در ترکیب کانی شناسی این افق مشاهده شد، ناشی از تشکیل کانیهای نظری کلسیت، دولومیت و سیلیکات‌های کلسیم دار می‌باشد.

رخمنون افق اصلی معدنی در سطح توده آهن، برنک خاکستری روش (ناشی از هوازدگی) و در نمونه‌های بدبست آمده از منزه‌های حداری برنک صورتی بوده و با تمرکز بالنسبة فراوان داند.

های ماکنیت در بعضی قسمت‌ها همراه است.

تمرکز رکه‌ها و دایکه‌ای آپاتیتی در "سنکهای سبز" ذکر شان شده، موجب در نظر گرفتن

افق معدنی دیگری شده است. این افق با شکلی کاملاً نامنظم و با تغییرات شدید ضخامت و

عیار، در واقع بخش پرعیار "سنکهای سبز" را تشکیل داده و در همه قسمت‌ها وجود دارد.

کانی عمدۀ تشکیل دهنده "سنکهای سبز" ترمولیت (اکتینولیت) می‌باشد که بلورهای

فیبری و سوزنی آن بوسیله در اطراف رکه‌ها و دایکه‌ای آپاتیتی شکل کرده است. از دیگر کانیهای

آن دیوپسید، آپاتیت، کلسیت، کوارتز، کلریت، تالک و کانیهای آپاک می‌باشد. در مقاطع

\* ترکیب متوسط شیمیائی افق‌های معدنی و سنکهای باطله بر اساس نتایج تجزیه شیمیائی نمونه‌های منزه‌بdest آمده از حداریهای مرحله اکتشاف تکمیلی محاسبه شده است (جدول شماره ۳). این بیش است، چنانچه نتایج تجزیه شیمیائی نمونه‌های تمام کمانه‌های دارد است بود، ترکیب متوسط شیمیائی دقیق‌تری از افق‌های معدنی و سنکهای باطله در کل کانسوار، بدست می‌آمد.

نازک این سنگها، بافت کرانو لار بابلورهای درشت پیروکسن (دیوپسید) که بدکلریت و اکتینو لیت تجزیه شده‌اند، سوردمطاله قرار گرفته؛ که شکافهای بین پیروکسنهای خردش‌سدنرا کلسیت و کوارتز پر کرده است. کرونای آندرادیت نیز کاهی دیده شده است. این سنگها از نظر خاستگاه هم‌ستکی نزدیکی با دایکه‌ای دیابازی داشته و بنظر میرسد از آلتراسیون آنها ناشی شده اند.

در سنگهای دیابازی، بافت اینترستال (بافت افیتیک) با بلورهای طویل بلژیک‌لاز در اطراف کانیهای فرومیزین، فلنسپات‌های پتاسیک و آلبیت مشاهده شده است. اکسید آهن در این سنگها بمحورت ایلمنیت بوده که همانند کانسار چخارت بیمزان زیادی به لوكوکسن تجزیه شده است. کانیهای فرعی شامل اسفن، اپیدوت، روزئیزیت و آپاتیت می‌باشد. در نورم این سنگها، نظلين ظاهر شده است (نمونه‌های ۱۰۰۱۱ و ۱۰۷۰۱۱ در جدول شماره ۵).

ترکیب متوسط شیمیائی بخش پر عیار "سنگهای سیز" بر حسب درصد، بشرح زیر بددست:

آمداد است:

$\text{SiO}_2$	$\text{Al}_2\text{O}_3$	$\text{Fe}_2\text{O}_3$	$\text{LiO}_2$	$\text{CaO}$	$\text{MgO}$	$\text{Na}_2\text{O}$	$\text{K}_2\text{O}$	$\text{MnO}$	$\text{P}_2\text{O}_5$	$\text{Al.0.1.SiO}_3$	$\text{Ca}$
۴۰/۹۴	۱۰/۱۰	۱۰/۷۸	۲/۲۱	۲۸۵	۸/۶۴	۲/۲۱	۲۸۵	۳/۷۷	۸/۶۴	۴/۲۵	۰/۳۷
۰/۲۲	۰/۱۱	۰/۱۷	۰/۱۷	۰/۱۷	۰/۱۷	۰/۱۷	۰/۱۷	۰/۱۷	۰/۱۷	۰/۱۷	۰/۱۷
۴۰/۹۴	۱۰/۱۰	۱۰/۷۸	۲/۲۱	۲۸۵	۸/۶۴	۲/۲۱	۲۸۵	۳/۷۷	۸/۶۴	۴/۲۵	۰/۳۷

نسبت  $\text{Ca}/(\text{Ca} + \text{Mg})$  در این افق معدنی حدود ۲ می‌باشد.

ترکیب متوسط شیمیائی بخش باطله "سنگهای سیز" بر حسب درصد به ترتیب زیر

\* مذکا شد:

$\text{SiO}_2$	$\text{Al}_2\text{O}_3$	$\text{Fe}_2\text{O}_3$	$\text{LiO}_2$	$\text{CaO}$	$\text{MgO}$	$\text{Na}_2\text{O}$	$\text{K}_2\text{O}$	$\text{MnO}$	$\text{P}_2\text{O}_5$	$\text{Al.0.1.SiO}_3$	$\text{Ca}$
۴۹/۷۰	۱۲/۱۰	۵/۵۵	۰/۱۵	۹/۳۳	۱۰/۵۰	۲/۹۷	۱/۹۷	۱/۶۷	۴/۰۰	۰/۰۷	۰/۳۷
۰/۰۷	۰/۰۷	۰/۰۷	۰/۰۷	۰/۰۷	۰/۰۷	۰/۰۷	۰/۰۷	۰/۰۷	۰/۰۷	۰/۰۷	۰/۰۷

بخش عمده ای از سنگهای باطله را، در بخش شمالی کسل عرضی و نیز در قاعده کانسار،

\* چنانکه در ترکیب این بخش مشاهده می‌کرد، بیمزان تقریبی  $1/5.2$ ٪ حاوی  $\text{Al}_2\text{O}_3$  است. این نسبت کویای مقدار  $1/2$ ٪ ادرکل باطله "سنگهای سیز" بوده، ولی بعلت تغییرات نسبتاً زیاد عیار ماده معدنی، امکان استخراج قسمت‌هایی از این توode منتفی نمی‌باشد.

ریولیت‌ای صورتی و سیز تشکیل میدهد . ترکیب آنها آلکالن پتاسیک بوده و تحت تاثیر

ذکر سانی قرار گرفته اند . در زیر میکروسکوپ بافت پورفیری باز مینه فلستیک ، مخفی

بلور و یا کرافیک بصورت دانه برفی داشته ( پورفیرهای درشت کوارتز و ارتوز در زمینه‌ای از

کوارتز و فلدسپات‌ای آلکالن دیده میشوند ) و کانیهای فرومینیزین در آنها دیده نمیشود . در انواع

آلتره این سنکپا ، اپیدوت و کلریت به میزان بیشتری مشاهده شده است . این سنکپا ، با توجه

به ترکیشان ریولیت پورفیر تاکر انوفیرنا مگذاری کرده اند .

ترکیب متوسط شیمیایی سنکپا ای باطله ریولیتی ، بر حسب درصد بقرار زیر میباشد :

$\text{SiO}_2$	$\text{Al}_2\text{O}_3$	$\text{Fe}_2\text{O}_3$	$\text{TiO}_2$	$\text{CaO}$	$\text{MgO}$	$\text{Na}_2\text{O}$	$\text{K}_2\text{O}$	$\text{MnO}$	$\text{P}_2\text{O}_5$	$\text{A.L.O.I}$	$\text{MnO}_2$
۶۷/۹۵	۱۱/۷۵	۳/۰۵	۲/۷۵	۴/۲۵	۰/۰۹	۶/۹۴	۰/۰۴	n.d.	۲/۸۶	۱/۱	

از آنجاکه توده‌های اسفوردي حاوی آپاتيت به میزان تقریبی ۱-۲٪ میباشد ، با توجه به

حجم نسبتاً زیاداً توده افسوردي جدا سازی فسفر آن در روند پیشرفت‌های علم و فن ، اشاره‌ای

سخندر به نتایج مطالعات سنک‌شناسی انجام شده مفید خواهد بود .

توده‌های اسفوردي بطور عمدۀ متخلّل از ماکنتیت و هما تیت بوده ، بیشتر ساخت برشی دارد .

همانند در این توده ، همانند کانسار چغارت در نتیجه مارنیتیز اسیون توده‌ماکنتیتی اولیه .

تشکیل شده‌است . در زیر میکروسکوپ ، تجمع دانه‌های غیریکنواخت وزاویه دار ماکنتیت در

زمینه‌ای از کلسیت متبلور و کوارتز قرار گرفته و خیلی کم حاوی ایلمنیت است . این پدیده ابه

ترزیق محلول‌های حاوی کربنات‌ها ( فازئیدروترمال ) نسبت داده اند . بنظر مرسداین محلول‌ها

نقش معینی در شکل کیری و تمرکز مجدد ماکنتیت و آپاتیت داشته‌اند ( تشکیل افق‌های معدنی ) .

وجود مقدار کمی اسفن در ترکیب کانی شناسی افق‌های معدنی ، ناشی از مشارکت این کانی با

ماکنتیت و رشد داخلی آنها در یکدیگر است .

**جدول شماره ۳- نتایج آزمایشات مکمل تجزیه شیمیائی بر حسب درصد**

جدول شماره ۳- نتایج آزمایشات مکمل تجزیه شیمیائی بر حسب درصد														نوع سنگ	شماره منمومهها (تعداد)	شماره آزمایشگاه		
CO <sub>2</sub>	F	C1	SiO <sub>3</sub>	L.O.I	P2O <sub>5</sub>	MnO	K <sub>2</sub> O	Na <sub>2</sub> O	MgO	CaO	TiO <sub>2</sub>	Fe <sub>2</sub> O <sub>3</sub>	Al <sub>2</sub> O <sub>3</sub>	SiO <sub>2</sub>				
-	-	-	-	-/85	4/59	n.d.	-/1	8/21	-/25	2/12	1/36	n.d.	2/65	10/89	68/01	ريوليت	SFB <sub>1</sub> -1-10 (نمونه ۱۰)	SMB <sub>1</sub> -1
-	12	1/11	2/95	n.d.	n.d.	5/2	1/1	5/20	1/81	-/12	2/15	12/22	68/22	"	SFB <sub>1</sub> -15-17 (نمونه ۱۷)	SMB <sub>1</sub> -3		
-	1/24	1/91	n.d.	-/1	5/92	-/1	4/86	3/52	n.d.	2/27	12/22	67/92	"	SFB <sub>2</sub> -1-18 (نمونه ۱۸)	SMB <sub>2</sub> -1			
-/29	n.d.	2/71	1/22	-/0.3	6/2	-/22	11/-9	2/72	-/12	1/99	12/1	60/01	ريوليت آلتزمه	SFB <sub>4</sub> -14-19 (نمونه)	SMB <sub>4</sub> -1			
-/44	-/0.5	9/72	-/42	-/12	2/89	-/49	6/99	10/52	-/42	6/29	12/45	46/12	آهیهای ازدیبا بازها و سنگهای معدنی	SFB <sub>8</sub> -34-37 (نمونه ۴)	SMB <sub>8</sub> -4			
-/12	1/24	11/18	n.d.	-/11	-/0.2	-/24	8/22	11/58	-/26	2/47	8/09	52/98	"	SFB <sub>1</sub> -47-51 (نمونه ۵)	SMB <sub>1</sub> -8			
-/1-	-/54	2/72	11/52	-/4	2/12	2/25	4/6	17/6-	-/72	19/11	8/95	28/6	"	SFB <sub>1</sub> -11-14 (نمونه ۴)	SMB <sub>1</sub> -2			
-/29	n.d.	2/21	-/52	-/0.5	2/28	4/2	2/68	4/32	-/42	17/8-	12/22	40/15	"	SFB <sub>7</sub> -23-27 (نمونه ۲)	SMB <sub>7</sub> -3			
-/0.5	-/47	11/75	4/74	-/22	2/51	-/22	5/29	15/86	-/22	11/2-	7/14	40/02	"	SFB <sub>2</sub> -27-36 (نمونه ۱۰)	SMB <sub>2</sub> -3			
-/22	-/15	2/79	6/81	-/0.7	1/88	2/24	7/84	16/36	-/0.4	13/29	10/14	36/97	"	SFB <sub>9</sub> -29-31 (نمونه ۳)	SMB <sub>9</sub> -3			
-/11	1/22	5/94	15/98	-/6	1.32	-/29	3/42	26/+5	-/51	17/77	5/22	22/21	"	SFB <sub>1</sub> -26-28 (نمونه ۳)	SMB <sub>1</sub> -5			
-/22	n.d.	2/29	4/2	-/0.5	2/29	2/16	11/44	7/95	-/23	18/42	14/48	24/11	"	SFB <sub>9</sub> -78-80 (نمونه ۲)	SMB <sub>9</sub> -6			
-/45	-/17	2/8	2/17	-/0.6	4/82	-/57	8/67	9/47	-/0.7	10/0.4	11/79	45/61	"	SFB <sub>7</sub> -28-39 (نمونه ۱۲)	SMB <sub>7</sub> -4			
-/43	-/12	4/25	1/99	-/1	2.1	2/20	8/25	9/1	-/17	6/47	12/57	49/49	سيروکونیت آپاتیت	SFB <sub>7</sub> -1-12 (نمونه ۱۲)	SMB <sub>7</sub> -1			
-/2	-/0.5	4/-9	6/26	-/0.2	1/22	2/2	9/18	15/5	-/0.4	13/-2	9/42	25/62	"	SFB <sub>7</sub> -13-22 (نمونه ۱۰)	SMB <sub>7</sub> -2			
-/42	-/0.6	4/0.9	1/62	-/0.5	1.82	3/76	12/66	8/87	-/16	5/1	12/60	46/72	"	SFB <sub>8</sub> -1-17 (نمونه ۱۲)	SMB <sub>8</sub> -1			

## دبالة جدول شماره ۴

دبالة جدول شماره ۴															نوع سنگ	شماره آزمایشگام	شماره منحونهها
CO <sub>2</sub>	F	C1	SO <sub>3</sub>	L.O.I	P <sub>2</sub> O <sub>5</sub>	MnO	K <sub>2</sub> O	Na <sub>2</sub> O	MgO	CaO	TiO <sub>2</sub>	Fe <sub>2</sub> O <sub>3</sub>	Al <sub>2</sub> O <sub>3</sub>	SiO <sub>2</sub>			
- / ۲۵	- / ۰۳	۲ / ۶۷	n.d.	- / ۱	۲ / ۰۲	۴ / ۴۵	۹ / ۴۲	۱۰ / ۱۵	- / ۱۲	۵ / ۳۱	۱۱ / ۱۲	۵۳ / ۴۶	پیروکلریت آپاتیت	SFB <sub>۹</sub> -۱-۱۴ (نمونه ۱۴)	SMB <sub>۹</sub> -۱		
- / ۲۵	- / ۱	۵ / ۶۲	۵ / ۲۲	- / ۰۷	۱ / ۸۸	۲ / ۰۷	۹ / ۲۸	۱۴ / ۵۵	- / ۰۹	۸ / ۲۹	۱۰ / ۸۹	۳۹ / ۸۶	"	SFB <sub>۹</sub> -۱۵-۲۸ (نمونه ۱۴)	SMB <sub>۹</sub> -۲		
- / ۲۲	- / ۸۸	۴ / -۹	n.d.	- / ۰۴	۲ / ۱۰	۳ / ۷۳	۱۴ / ۵۱	۱۰ / ۶۹	- / ۱۶	۶ / ۸۸	۹ / ۰۶	۴۸ / ۶۱	"	SFB <sub>۱</sub> -۱۸-۲۵ (نمونه ۸)	SMB <sub>۱</sub> -۴		
- / ۰۷	n.d.	۸ / ۱۳	۳ / ۳۲	- / ۰۴	۴ / ۷۵	۲ / -۲	۴ / ۵۱	۱۳ / ۶۴	- / ۱۲	۷ / ۰۲	۹ / ۹۳	۴۶ / ۱۹	"	SFB <sub>۲</sub> -۴۱-۴۲ (نمونه ۲)	SMB <sub>۲</sub> -۵		
- / ۰۸	n.d.	۴ / ۶۹	- / ۳۱	- / ۰۲	۲ / ۲۴	۳ / ۶۰	۶ / ۸۷	۳ / ۸۱	- / ۱۰	۶ / ۳۴	۱۲ / ۹۸	۵۸ / ۴۶	"	SFB <sub>۲</sub> -۵۸-۶۰ (نمونه ۳)	SMB <sub>۲</sub> -۷		
- / ۲۹	- / ۰۵	۲ / ۲۵	۱۳ / ۷۲	- / ۰۷	- / ۶۲	- / ۶۲	۴ / ۲۲	۲۵ / ۵۷	۱ / ۲۴	۱۹ / ۹۲	۸ / ۴۴	۲۲ / ۵۲	آپاتیت ماکتیت (افق اصلی)	SFB <sub>۹</sub> -۵۳-۷۷ (نمونه ۲۵)	SMB <sub>۹</sub> -۵		
- / ۲۶	- / ۲۱	۳ / ۱۹	۸ / ۲۲	- / ۰۷	۱ / ۲	- / ۴	۵ / ۴۷	۱۸ / ۲۹	- / ۲	۳۲ / ۷۵	۲ / ۱۲	۲۲ / ۷	"	SFB <sub>۸</sub> -۳۱-۳۳ (نمونه ۸)	SMB <sub>۸</sub> -۳		
- / ۱۱	- / ۷۷	۵ / ۰۴	۲۲ / ۲۴	- / ۰۹	- / ۰۶	- / ۲۱	n.d.	۳۹ / ۴۸	- / ۲۸	۳۲ / ۸۳	۲ / ۶۲	۵ / ۳۸	"	SFB <sub>۱</sub> -۲۹-۴۳ (نمونه ۱۵)	SMB <sub>۱</sub> -۶		
- / ۱۳	- / ۹۹	۶ / -۶	۲۸ / ۲۵	- / ۰۹	- / -۲	- / ۲۱	۱ / ۱۲	۴۵ / -۰	- / ۴۱	۸ / ۸۶	۱ / ۸۰	۹ / ۴۹	"	SFB <sub>۱</sub> -۵۲-۵۹ (نمونه ۸)	SMB <sub>۱</sub> -۹		
- / ۰۵	- / ۲۲	۶ / ۲۱	۲۴ / ۲۰	- / ۰۵	۱ / ۹۲	- / ۲۴	n.d.	۴۱ / ۶۱	- / ۱۳	۴ / ۵۰	۴ / ۹۲	۱۶ / ۹۰	"	SFB <sub>۲</sub> -۳۷-۴۰ (نمونه ۴)	SMB <sub>۲</sub> -۴		
- / ۰۴	- / ۲۲	۴ / ۹۵	۲۱ / -۴	- / ۰۶	- / ۴۲	- / ۲۴	n.d.	۴۶ / -۸	- / ۴۰	۳۸ / ۸۷	۲ / ۴۵	۱۴ / ۴۴	"	SFB <sub>۲</sub> -۴۳-۵۷ (نمونه ۱۵)	SMB <sub>۲</sub> -۶		
- / ۰۴	- / ۲۱	۶ / ۱۲	۱۸ / ۱۲	- / ۱۲	- / ۵۸	- / ۲۲	n.d.	۴۴ / ۴۲	- / ۲۸	۲۱ / ۶۱	۲ / ۵۵	۱۵ / ۲۴	"	SFB <sub>۲</sub> -۶۱-۶۴ (نمونه ۴)	SMB <sub>۲</sub> -۸		
- / ۲۶	n.d.	۴ / ۰۲	۱۲ / ۲۲	- / ۱۱	- / ۱۱	- / ۲	۱ / ۴۴	۲۸ / ۸۴	- / ۳۸	۲۸ / ۴۶	۴ / ۴۸	۸ / ۸۷	"	SFB <sub>۸</sub> -۱۸-۳۰ (نمونه ۱۲)	SMB <sub>۸</sub> -۲		
- / ۲	- / ۰۶	۲ / ۶	۲۲ / ۴	- / ۰۴	- / ۵۹	- / ۵۴	n.d.	۳۸ / ۲۳	- / ۲۹	۱۷ / ۶۴	۴ / ۸۲	۱۲ / ۴۹	"	SFB <sub>۹</sub> -۳۲-۵۲ (نمونه ۱۱)	SMB <sub>۹</sub> -۴		
- / ۰۷	- / ۰۷	۷ / ۲۲	۲۱ / ۵۸	- / ۱۲	- / ۱۲	- / ۱۸	n.d.	۴۶ / ۴۰	- / ۴۲	۳۵ / ۷۷	- / ۷۸	۶ / ۱۶	"	SFB <sub>۲</sub> -۱۹-۲۶ (نمونه ۸)	SMB <sub>۲</sub> -۲		
- / ۱۱	۱ / ۶۴	۲ / ۵۴	۱۰ / ۱۲	- / ۰۹	- / ۱۹	- / ۲۸	- / ۳۹	۱۸ / ۸۷	۲ / ۱۲	۵۲ / ۲۰	۱ / ۸۴	۴ / ۹۸	ماکتیت آپاتیت	SFB <sub>۱</sub> -۴۴-۴۶ (نمونه ۳)	SMB <sub>۱</sub> -۷		

جدول شماره ۴- نتایج تجزیه شیمیائی سنگهای منطقه اسفوردی (تهیه شده توسط علیرضا باباخانی)

نام ضمونه بر مبنای اثر	B.S.7	B.D.6	B.S.5	B.R.3	A.R.3	B.P.1	A.S.D	B.S.14	B.D.13	B.V.10	B.P.9	B.V.8
SiO <sub>2</sub>	۶۴/۴	۴۹/۰	۴۶/۵۰	۶۹/۷	۷۱/۷	۵۴	۴۰/۰۰	۷۰/۳	۷۹	۷۲/۲	۷۱	۴۴/۵
Al <sub>2</sub> O <sub>3</sub>	۱۲/۲	۱۷/۸	۱۷/۷	۸	۷/۶	۸/۸	۱۳/۸	۱۲/۲	۱۷/۱	۱۷/۴	۱۰/۹	n.d.
Fe <sub>2</sub> O <sub>3</sub>	۱/۸	۴/۶۸	۵/-۳	۲/۲۵	۰/۴۲	۲/۸۳	۴/۶۰	۱/۶۷	۵/۳۲	۲/-۳	-/۸۳	۴/۹۲
FeO	۲/۲۶	۳/۸۷	۱/۲۳	۰/۹۰	۱/۳۶	۱/۹۸	۸/۱۹	-/۴۱	۷/۰۰	۶/۲۰	۱/-۴	۳/۸۴
TiO <sub>2</sub>	۰/۴۶	۱/۲۸	۱/۲۰	۰/۱۹	-/۲۱	-/۱۶	۲/۹۰	-/۳۰	۲/۵۹	۲/۲۵	-/۲۴	-/۹۰
CaO	۲/۶۴	۲/۵	۷/۲۱	۴/۳۹	۲/۲۴	۴/۱۴	۷/۷۴	۱/۵۳	۶/۵۷	۱۰/۰۸	۱/۵۲	۲۰/۲۷
MgO	۲/۸۲	۱/۱۲	-/۰۹	۰/۹۹	۲/۰۹	۱۰/۹۱	۶/۸	-/۶۴	۳/۸۸	۶/۰۱	-/۸۹	۱۲/۲۰
Na <sub>2</sub> O	۵/۲۱	۹/۳۵	۸/۲۵	-/۵۴	-/۴۴	۷/۴۷	۶/۸۳	۶/۵۷	۸/۶۷	۷/۲۲	۴/۶۴	-/۵۴
K <sub>2</sub> O	۲/۵۷	۴/۴۴	۴/۱۷	۷/۲۶	۷/۲۴	۲/۷۵	۲/۴۹	۲/۹۹	۱/۸۴	-/۸۹	۴/۴۲	-/۰۴
MnO	-/۱۴	-/۱۷	-/۲۸	-/۰۴	-/۱۲	-/۰۴	-/۲۳	-/۰۴	-/۱۰	-/۲۲	-/۱۶	-/۲۱
P <sub>2</sub> O <sub>5</sub>	۱/۰۱	۱/۲۰	۱/۲۴	۰/۹۰	-/۸۵	۱/۰۳	۱/۸۷	-/۸۴	۱/۵۹	۱/۲۲	-/۸۷	۱/۴۲
H <sub>2</sub> O <sup>-</sup>	-/۱۹	-/۲۲	-/۲۱	-/۰۸	-/۲۰	۲/۳۷	-/۰۹	-/۲۶	-/۲۸	-/۱۲	-/۱۶	-/۱۵
L.O.I	۲/۶۸	۳/۸۴	۶/۲۸	۳/۸۲	۴/۱۶	۶/۱۳	۴/۲۶	۲/۵۸	۶/۳۳	۶/۶۱	۱/۵۶	۹/۹۵
Total	۹۷/۶۴	۹۶/۷۸	۹۳/۸۱	۹۵/۷۴	۹۵/۴۷	۹۶/۴۰	۹۵/۵۰	۹۷/۶۹	۹۳/۸۵	۹۳/۸۹	۹۶/۶۸	۸۹/۵۴

ریوداسیت:

دیاباز:

B.D.6, B.S.5, A.S.D : سینیت:

B.D.13, B.V.10, B.V.8 : ریولیت:

B.P.1 : پیروکسنتیت:

B.S.14 : کرانیت دیک (پلازیوگرانیت):

جدول شماره ۵- ترکیب کانی های نورماتیو سنگهای منطقه اسفوردی ( تهیه شده تو ط علیرضا باباخانی )

نام کانی	B.S.7	B.D.6	B.S.5	B.R.3	A.R.3	B.P.1	A.S.D	B.S.14	B.D.13	B.V.10	B.P.9	B.V.8	B.V.4
Q.	۱۳/۹۸	-	-	۲۶/۳	۳۴/۷۴	۰/۰۶	-	۲۷/۲۵	-	-	۲۸/۲۹	۲/۱۶	-
Ab.	۵۴/۰۴	۱۴/۱۴	۱۴/۱۴	۲/۰۹	۴/۱۹	۳۷/۲۲	۳/۶۶	۴۷/۴۲	۸/۱۲	۱/۵۲	۳۰/۶۵	-	۴/۰۹
An.	-	-	-	-	-	-	-	-	۲/۵۰	۱۲/۳۴	-	-	۰/۲۷
Or.	۲۱/۶۸	۲۴/۴۶	۲۶/۱۳	۴۲/۰۹	۴۴/۴۸	۱۱/۱۲	۱۵/۲۹	۱۸/۰۷	۱۱/۶۷	۵/۵۰	۲۲/۸	-	۴/۴۴
Ne.	-	۲۱/۳۸	۲۱/۶۶	-	-	-	۳۰/۲۸	-	۳۷/۹۱	۳۴/۵۰	-	-	۲۲/۳۷
Leu.	-	-	-	-	-	-	-	-	-	-	-	-	-
Diop.	۵/۲۵	۱۴/۲	۱۲/۸۲	۹/۷۹	۹/۴۱	۱۲/۲	۲۲/۲۷	۲/۱۶	۱۷/۹۳	۲۲/۸۶	۲/۱۶	۸/۰۵	۴۱/۴
Hyp.	۷/۹۷	-	-	-	۴/۰۶	۵/۸۶	-	۰/۹۳	-	-	۲/۰۳	۱/۰۰	-
O1.	-	-	-	-	-	۱۴/۹۲	۱۰/۰۰	-	۴/۵۴	۵/۸۲	-	-	۱/۹۰
Aeg.	-	۹/۰۰	۵/۷۷	۲/۳۱	۰/۲۳	۱۱/۲۸	۰/۴۶	۵/۰۸	-	-	۲/۵۴	۴/۵۰	-
Ma.	۲/۶۶	۲/۵۵	۱/۶۲	۲/۶۶	۰/۵۸	-	۶/۷۲	-	۸/۲۳	۴/۶۴	-	۵/۷۰	۲/۲۱
Il.	۰/۹۱	۲/۵	۲/۵۸	۰/۳۸	۰/۴۵	۰/۲۰	۵/۷۷	۰/۶۰	۵/۲۴	۷/۶۰	۰/۴۵	۱/۹۰	۴/۱۰
Hem.	-	-	۲/۲۴	۰/۲۴	-	-	-	-	-	-	-	-	-
Cor.	-	-	-	-	-	-	-	-	-	-	-	-	-
Ap.	۲/۳۵	۰/۳۳	۲/۱۹	۲/۱۸	۲/۰۱	۲/۵۲	۴/۵۳	۲/۰۱	۴/۰۳	۴/۵۲	۲/۰۲	۲/۷۰	۴/۰۲
D.I	۶۶/۸	۲۰	۲۲	۸۱/۵	۸۳/۴۱	۴۸/۹	۴۹/۳۳	۸۸/۷۴	۵۷/۷۱	۴۱/۶۲	۸۶/۷۴	۲/۱۶	۳۸/۹
$\text{Na}_2\text{O} + \text{K}_2\text{O}$	۰/۶۷	۰/۷۲	-	-	-	۱/۰۴	۰/۶۷	-	۰/۶۱	۰/۴۶	-	-	۰/۶۲
$\text{Al}_2\text{O}_3$	-	-	-	-	-	-	-	-	-	-	-	-	-

= Hem.

= Cor.

= Ap.

= Aeg.

= Ma.

= Il.

= Diop.

= Hyp.

= O1.

= ارتوز.

= Ne.

= Leu.

= کوارتز

= Ab.

= آلتیت

= An.

۱- عناصر خاکی نادر

اطلاعات انجام یافته در سالهای گذشته و اخیر، وجود مقادیر قابل توجهی عناصر خاکی

اگر را، در کانس اسفورودی ثابت نموده است .

ولین بار حسن برومندی از شرکت ملی ذوب آهن ایران، با توجه بوجود داین عناصر در

دانسارچغارت، مطالعات پردازیهای در این زمینه انجام داده است. نامبرده با استفاده از

روش فلورئوسن- $X$ -توموگرافی متنوعی از سکه‌ای معدنی منطقه واژمله کانس-سار

سفوردی را مورد آزمایش قرار داده و وجود مقدار قابل ملاحظه‌ای خاکهای نادر را در سنگ‌های

پانیتی کزارش نموده است، در این آزمایشات، وجود عنصری ازقبل استرنسیوم (Sr) و

یرکونیم (Rb) بمیزان کم و بیش قابل توجه و نیز ارسنیک (As)، منگنز (Mn)، رو بیدیوم (Rb)،

انادیوم (V) و باریم (Ba) در این سنگها اثبات شده است. براساس این واقعیات و با توجه به

حتماً جانشینی کاتیونهای از قبیل مذیزم، آهن، استرنسیوم، باریم، سریم، لانتانیم،

پریم و نئودیمیم بجای کلسیم در ساخته ایان شبکه آپاتیت، تشکیل کانیهای نظیر مونازیت

\* گزنویم  $\text{Yp}(\text{a})\text{P}(\text{a})$  در نظر گرفته شده است.

\* وگزنوتیم  $\text{Yp}_4$  در نظر گرفته شده است.

حقیقات انجام شده توسط علی درویش زاده از دانشگاه تهران روی سنکرای محدوده

معدنی اسفوردی، علاوه بر اینها نشاندهند وجود عناصر کمیاب دیگری از قبیل اورانیوم و توریوم

رسنگهای آپاتیتی بوده است . البته این موضوع بمعنی وجود رابطه مستقیم بین این عناصر

کانی آپاتیت نبوده، ولی نقش قابل ملاحظه‌آ برادر چرخه‌نشیمی این عناصر ثابت می‌کند.

امیرده وجود چنین عناصری و همچنین خاکهای نادر را، در سنگهای معدنی آپاتیت دار، به

شارکت آنها در ساختهای بزرگی مانند بلوارین آپاتیت (وندیگر کانیهای همراه) مربوط میداند.

مطالعات الکترون میکروپرورب که توسط کارشناسان دیگر کشورهاروی سنگهای بسا

\* در مطابقت با این نتایج، شرکت برزیلی پائولو ابیب روی نمونه های

رسالی معرف افقهای متندی کاس اسپورتی، وجودگانی کرزنونیم در نمونه پر عیار اپاتیت،  
برداشت دلیل این است:

رخساره دکرسانی صورت گرفته، وجود بیشترین مقدار خاکهای نادر و همچنین اورانیوم و توریم را،

در انکلوزیونهای مونازیت و گزنتویت داخل بلورهای آپاتیت اثبات نموده است . واقعه "هماین"

موضوع در مطالعات اکتشاف تفمیلی کانس ارمورد تائید قرار گرفته است . جدول شماره عرباطه

مستقیم بین مقدار این عناصر و انکلوزیونهای داخل آپاتیت را نشان میدهد . در این جدول علیرغم

یک استثناء ، با افزایش مقدار انکلوزیونها بر میزان خاکهای نادر افزوده میشود .

#### رابطه مقدار عناصر خاکهای نادر با انکلوزیونهای داخل آپاتیت

$\gamma$ P.P.M.	Nd P.P.M.	La P.P.M.	Fe P.P.M.	ستدار انکلوزیون
۱۵۲	۱۳۷	۴۰۰	۸۷۰۰	حدود ۲ درصد
۵۶	۱۱۰	۶۶۵۰	۱۵۵۰۰	یک تا دو درصد
۱۷۶	۱۷۰	۶۰۷	۱۸۵۲	حدود یک درصد
۶۶	۱۵۰	۵۹۰	۱۱۹۰	خیلی کم

جدول شماره ۶- استخراج از کزارش اکتشافات تفمیلی کانس آپاتیت اسفوردی

در کزارش اکتشافات تفمیلی کانس ارمادر اسفوردی ، بر اساس نتایج بدست آمده از مقدار

متوسط این عناصر (جدول شماره ۷ه) ، میزان ذخیره هریک از آنها به ترتیب زیر بدست آمده است:

سریم ۱۴۰۰۰ تن ، لانتانیم ۵۶۰۰۰ تن ، ایتریم ۵۶۰۰۰ تن و نیوپاتیم ۱۲۰۰۰ تن .

چنانچه این نحوه عمل ، مبنای محاسبه قرار گیرد؛ با توجه به افزایش ذخایر ارزیابی

شده سنک فسفات طی مطالعات اکتشاف تکمیلی ، میزان ذخایر هریک از عناصر فوق بنحو زیر

افزایش میباید:

سریم ۲۱۰۰۰ تن ، ایتریم ۸۵۰۰۰ تن ، لانتانیم ۸۵۰۰۰ تن و نیوپاتیم ۲۶۰۰۰ تن .

متوسط مقدار عناصر خاکهای نادر را فقههای معدنی

افق معدنی	طول نمونه کیری (متر)	Ce	La	Nd	Y
مجموع دوافق	۲۸۲	۲۱۴۹	۸۳۴	۲۲۴	> ۱۰۰
افق آپاتیتی (افق اصلی)	۱۳۷	۲۰۹۷	۷۶۵	۲۴۰	> ۱۰۰
بخش پرعیار "سنکهای سبز"	۱۴۵	۲۱۹۸	۹۰۰	۲۰۹	> ۱۰۰

جدول شماره ۷ - استخراج از کزارش اکتشافات تفصیلی کانسار آپاتیت اسفوردی

باید ادعان نمود که ذخایر خاکهای نادر در کانسار اسفوردی بسی بیشتر از مذکور شده

میباشد، زیرا نتایج بدست آمد بعلت محدودیت دستگاههای اندازه کیری، غالباً "حداقل مقدار

این عنصر را نشان میدهدند.

نتایج آزمایشات اسپکترومتری تعدادی از نمونه های معرف افقهای معدنی و سنکهای

در برگیرنده آنها، در جدول شماره ۸ نمایش داده شده است. چنانکه در این جدول دیده میشود،

عناصر خاکهای نادر در افق آپاتیتی (افق اصلی معدنی) بیشترین مقدار را دارد است، مقدار

زیرکونیم نیز در این افق قابل توجه میباشد، استرنزیوم در افق آپاتیتی افزایش نسبی نشان

میدهد؛ ولی بنتظر نمیرسد بین این عنصر و آپاتیت رابطه مستقیم وجود داشته باشد، مقادیر

تیتانیوم، وانادیوم، کبالت و نیکل در این نمونه ها با مقدار ماکنتیت آنها نسبت مستقیم دارد.

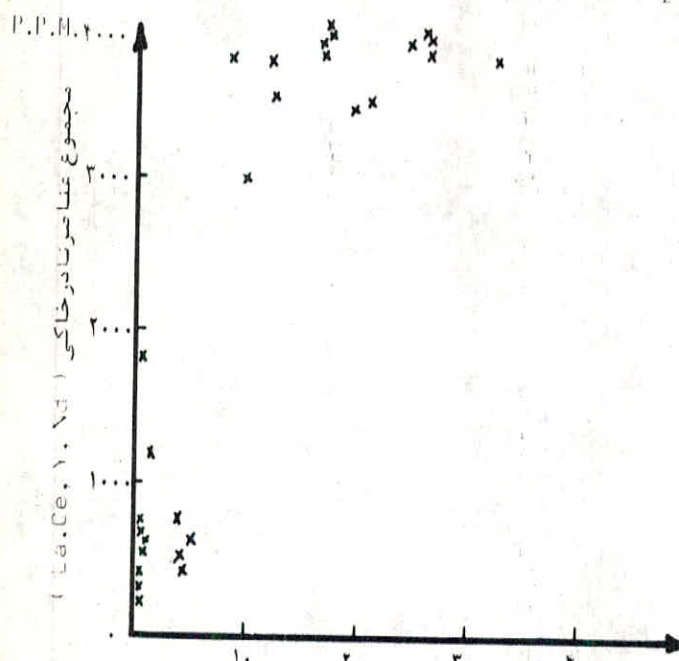
نیوبیوم بیشتر در "سنکهای سبز" متتمرکز شده است، این عنصر همچنین در شبکه شکستکیها و

مناطق خردشده (Breciated Zone) افزایش غیرعادی نشان میدهد.

نمودار شماره ۵ تا حدود زیادی کویای رابطه مستقیم عناصر نادر خاکی با آپاتیت است در

نمونه های مختلف سنکهای کاسار میباشد، این نمودار بر اساس نتایج مندرج در جدول شماره ۸

و میزان  $P_2^{(0)}$  نمونه هارسم شده است.



نمودار شماره ۵ - دامنه تغییرات عنصرنادر خاکی بر حسب  $P_2^{(0)}$

جدول شماره ۹ فراوانی خاکهای نادر را در سنگهای مختلف نشان میدهد.

فراوانی خاکهای نادر در سنگهای مختلف (P.P.M.)

نوع سنگ	γ	La	Fe	Nd
پوسته زمین	۲۳	۱۶	۳۱	۱۷
بازالت (اقیانوسی)	۳۲	۲۲	۱۰/۳	۹/۹
بازالت (قارهای)	۲۷/۳	۳۲	۵۹	۴۰
کرانیت	۴۲	۵۰	۱۰۰	۴۶

جدول شماره ۹ - اقتباس از ای. بالاشوف، ۱۹۷۶

همانطور که از مقایسه اعداد این جدول با نمونه های معرف سنگهای رسوبی، دیابازی و

حتی دولومیتی محدوده کانس اربرمی آید، میزان خاکهای نادر در این سنگ انبرکم و بیش با

افزایش غیرعادی همراه است .

باتوجه به ارزش فراوان خاکهای نادر در بازار جهانی بلحاظ موارد معرف کشیده

منع آنها ، امکان استحصال این عناصر واحتمالاً "عنامرکمیاب دیگری از قبیل اورانیوم

تصورت محصول جنسی (By Product) در مطالعات کانه‌آرائی در نظر گرفته شده است .

## P.P.M.

Sample	Type of rocks	TiO <sub>2</sub> %	Ce	La	Y	Nd	Sr	V	Zr	Ni	Co	Nb
SF <sub>1</sub> -3	Altered rhyolite	0.05	216	155	180	20	24	32	-	-	-	<10
SF <sub>2</sub> -8	ditto	0.20	95	21	85	<10	17	29	-	-	-	44
SF <sub>10</sub> -9	ditto	0.15	115	74	78	<10	14	27	-	-	-	44
SF <sub>1</sub> -6	Diabasic rocks	0.64	268	122	107	<10	53	668	-	420	32	-
SF <sub>9</sub> -30	ditto	0.06	218	81	300	<10	122	237	-	31	18	-
SF <sub>2</sub> -18	Brecciated zone	0.30	276	118	140	221	41	126	644	80	25	400
SF <sub>1</sub> -15	Apalitic horizon	2.00	>1100	>1100	>1100	480	162	966	775	>1000	74	50
SF <sub>1</sub> -17	ditto	0.30	>1100	>1100	>1100	650	258	496	>1100	280	35	<10
SF <sub>1</sub> -22	ditto	0.07	>1100	>1100	>1100	680	302	200	>1100	81	21	<10
SF <sub>1</sub> -23	ditto	0.02	>1100	>1100	>1100	534	276	190	>1100	51	21	<10
SF <sub>2</sub> -15	ditto	0.04	>1100	>1100	>1100	611	262	87	>1100	20	11	<10
SF <sub>2</sub> -23	ditto	0.06	>1100	>1100	>1100	584	273	205	>1100	84	10	<10
SF <sub>2</sub> -26	ditto	0.25	>1100	>1100	>1100	670	417	80	>1100	34	18	<10
SF <sub>2</sub> -30	ditto	<0.02	>1100	>1100	>1100	555	262	180	>1100	63	11	<10
SF <sub>9</sub> -16	ditto	<0.02	>1100	>1100	>1100	528	194	84	>1100	15	9	<10
SF <sub>9</sub> -19	ditto	0.28	>1100	>1100	>1100	504	203	387	>1100	245	23	<10
SF <sub>9</sub> -29	ditto	0.15	>1100	>1100	>1100	462	522	313	>1100	123	20	<10
SF <sub>7</sub> -12	ditto	<0.02	>1100	>1100	>1100	718	216	110	>1100	14	24	<10
SF <sub>8</sub> -3	ditto	0.47	>1100	>1100	>1100	427	176	487	959	585	34	<10
SF <sub>8</sub> -7	ditto	0.33	>1100	>1100	>1100	480	198	551	>1100	665	42	10
SF <sub>4</sub> -1	Magnetite	1.61	580	80	104	<10	24	993	430	>1000	32	269
SF <sub>9</sub> -3	"Green rocks"	0.52	620	375	228	<10	78	513	399	161	40	475
SF <sub>9</sub> -9	ditto	0.11	1058	820	960	165	54	202	660	112	40	<10
SF <sub>7</sub> -3	ditto	0.10	280	138	250	<10	177	248	493	34	16	760
SF <sub>7</sub> -9	ditto	<0.02	170	38	230	<10	127	231	483	66	37	800
SF <sub>7</sub> -18	ditto	0.82	531	401	433	<10	55	256	512	78	30	480
SF <sub>8</sub> -11	ditto	0.07	266	141	230	<10	206	208	491	47	23	690
SF <sub>11</sub> -29	Altered dolomite	0.32	184	100	76	42	76	222	457	25	11	47
SF <sub>7</sub> -32	ditto	0.13	170	58	66	<10	31	62	-	37	13	-

جدول شماره ۸ - نتایج آزمایشات اسپکترومتری نمونه های معرف افقهای معدنی و سنگواری دربرگیرنده آنها

## ۱۱- خواص فیزیکی و مکانیکی افق‌ای معدنی و سنگهای باطله

تعداد ۹ نمونه از سنگهای معرف بخش‌ای مختلف افق‌ای معدنی و سنگهای باطله سورد

آزمایشات فیزیکی و مکانیکی قرار گرفته‌اند، این آزمایشات شامل: تعیین وزن مخصوص حقیقی

(چکالی) ظاهری، تعیین مقاومت‌ای فشاری و حدگسیختگی و نیز تعیین میزان رطوبت نمونه‌ها

بوده است.

وزن مخصوص حقیقی نمونه‌ها جهت تخمین ذخیره افق‌ای معدنی و سنگهای باطله مورد استفاده

قرار گرفته است وزن مخصوص ظاهری نمونه‌هار امیتوان تقریباً "معادل وزن مخصوص ریزشی فرض کرد

کدر معدنکاری مورد استفاده می‌باشد، نتایج بدست آمده از مقاومت‌ای فشاری و حدگسیختگی نمونه-

های نیز در تعیین شبب موقع و دائی پله‌ها، تعیین شبب کلی دیواره معدن روکار برداشتن قطعی دارد.

اطلاعات و نتایج بدست آمده از این آزمایشات در جدول شماره ۱۰ خلاصه شده است در

این جدول، نمونه‌های شماره ۲-۴ و ۱۲-۷ معرف سنگهای باطله ریولیتی، نمونه

شماره ۲-۱۳ معرف باطله "سنگهای سبز"، نمونه‌های ۴-۱۵، ۶-۱۱ و ۶-۱۵ شماره ۲-۱۴

معرف افق‌اصلی معدنی (افق‌آپاتیتی) و نمونه‌های ۱۳-۹، ۱۵-۹ و ۱۶-۹ معرف

افق‌پرعيار "سنگهای سبز" و سنگهای دیابازی می‌باشد.

متوسط وزن مخصوص حقیقی در افق‌اصلی معدنی براساس نتایج این آزمایشات و بررسی

متوسط کیری ریاضی به میزان  $\frac{2}{3} \times 36$  گرم بر سانتی‌متر مکعب ( $g/cm^3$ ) و در افق‌پرعيار "سنگهای

سبز" و سنگهای دیابازی به میزان  $2/86 g/cm^3$  تعیین شده است، وزن مخصوص حقیقی باطله

"سنگهای سبز" و سنگهای ریولیتی رقمی نزدیک بهم، از  $2/44$  تا  $2/48 g/cm^3$  متغیر است.

$$\text{میزان تخلخل در این سنگ از رابطه } P = \frac{G_m(1-M)}{G_m} - 1 \text{ بدست آمده است که در آن}$$

$P$  درصد تخلخل =  $M$  درصد رطوبت = وزن مخصوص سنگ طبیعی (وزن مخصوص ظاهری) =

و وزن مخصوص کانی (وزن مخصوص حقیقی) =  $G_m$  می‌باشد، همانطور که در جدول دیده می‌شود،

میزان تخلخل در سنگهای باطله ریولیتی نسبتاً "زیاد میباشد . این نسبت در باطله سنگهای سبز" میزان تقریبی ۵٪، در بخش پر عبار "سنگهای سبز" و سنگهای دیابازی بین

۹٪-۷٪ و در افق اصلی معدنی بین ۴٪-۸٪ بدست آمده است .

نتایج بدست آمده از اندازه گیری مقاومت فشاری و حدگسختگی در این نمونه ها، بما

اجازه میدهد تا بر اساس استاندارد مهندسی تقسیم بندی ۸ قسمتی سنگها که بر اساس مقاومت

فشاری تنظیم شده (رجوع شود به بخش ضمیمه)، افق اصلی معدنی را جزو سنگهای نسبتاً "ا"

مستحکم (کروه ۴)، افق پر عبار "سنگهای سبز" و سنگهای دیابازی را جزو سنگهای نسبتاً "

نرم تانیمده مستحکم (کروه های ۵ و ۶) و باطله "سنگهای سبز" و سنگهای ریولیتی را بترتیب

جز، سنگهای نیمه مستحکم و نسبتاً "نرم، رد بندی کنیم . علت این وضع را باید ناشی از

آلتراسیون عمقی و سطحی نسبتاً "زیادی دانست که مجموعه سنگهای معدنی و سنگهای دربر-

کیرنده آنها متحمل شده و باعث از بین رفتن استحکام اولیه شان شده است . وجود چنین وضعی،

از طرفی ام برداشت سنگهای باطله را با سهولت بیشتری امکان پذیر ساخته واژ طرف دیگر،

احتمالاً " باعث کاهش شبکی دیواره معدن در بخش شمالی و قسمت های دیگر خواهد گردید .

این خدمات دو گانه تاثیری متفاوت بر هر یزده های استخراج و باطله برداری خواهد داشت .

در برنامه عملیات اکتشاف تکمیلی، بمنظور تعیین آبدی توده معدنی، پیدا نمودن

سطح نراز آب ای زیرزمینی و نحوه تاثیر آن در عملیات معدن کاری و بطور کلی بدست آوردن

اطلاعاتی درباره نوع، ترکیب، میزان املال و pH آبهای حوضه کانتار، انجام پمپاژ توسط

هوای فشرده در چند چاه اکتشافی پیش بینی شده بود؛ اما بدلیل عدم انطباق قطر سوندادر

حفاری های جدید با دستگاه های پمپاژ مورد استفاده در ایران و نیز پرشدن کی تعداد زیادی از

چاه های قدیمی، از انجام این کار صرف نظر گردید .

جدول شماره ۱۰- نتایج آزمایشات فیزیکی و مکانیکی نمونه‌های معرف افقه‌ای معدنی و سنگهای باطله

ردیف	شماره نمونه	نوع سنگ	وزن مخصوص بطریق هندسی	ظاهری	حقیقی (چکالی)	٪ رطوبت	حد گیختگی Kgf/cm <sup>2</sup>	مقاومت فشاری Kgf/cm <sup>2</sup>	٪ تخلخل	مقاآمت فشاری کیلوبرمی
۱	SF <sub>2</sub> -6	ریولیت (سنگهای باطله)	۲/۰۴	۲/۱۲	۲/۴۲	۰/۳۸	۴۹۸۹	۲۶۸/۳۸	۱۲	۵/۲۸
۲	SF <sub>4</sub> -12	ریولیت آلتقره (سنگهای باطله)	۲/۳۸	۲/۱۶	۲/۳۴	۱	۴۷۶۲	۳۱۶/۹۵	۸	۶/۶۵
۳	SF <sub>8</sub> -4	آپاتیت - ماگنتیت (افق اصلی معدنی)	۲/۲۹	۲/۸۲	۲/۹۳	۰/۶۹	۱۲۷۰۰	۶۸۵/۶۳	۴	۵/۴۰
۴	SF <sub>8</sub> -5	آپاتیت-ماگنتیت - ترمولیت (افق اصلی معدنی)	۲/۵۱	۲/۱۹	۳/۴۶	۰/۳۹	۷۴۸۴	۴۲۲/۱۷	۸	۶/۲۲
۵	SF <sub>8</sub> -6	ماگنتیت آپاتیت (افق اصلی معدنی)	۲/۸۷	۳/۹۶	۴/۱۲	۰/۲۳	۱۱۳۳۹	۷۲۱/۲۵	۴	۶/۳۶
۶	SF <sub>9</sub> -8	ترمولیت آپاتیت-ماگنتیت (افق پر عیار سنگهای سبز)	۲/۸۵	۲/۷۷	۳/۰۳	۰/۲۰	۹۹۷۸	۳۴۶/۷۸	۸	۳/۴۷۵
۷	SF <sub>9</sub> -13	ترمولیت آپاتیت-ماگنتیت (افق پر عیار سنگهای سبز)	۲/۰۴	۲/۵۳	۲/۷۰	۰/۶۶	۱۶۳۲۹	۴۹۲/۹۱	۷	۳/-۱
۸	SF <sub>9</sub> -15	سنگهای دیابازی؟ (افق پر عیار سنگهای سبز)	۲/۵۱	۲/۶۲	۲/۸۴	۱/۹۰	۷۷۱۱	۲۶۳/۱۹	۹	۳/۴۱
۹	SF <sub>9</sub> -2	ترمولیت - اکتنیولیت (بخش باطله سنگهای سبز)	۲/۵۶	۲/۴۰	۲/۴۸	۲/۱۱	۱۳۶۰۷	۴۴۶/۶۱	۵	۳/۲۸

در صد  $P_2^0$  در جدول بطور غیر مستقیم و براساس تجزیه شیمیائی نمونه های معادل بدست آمده است .

درصد رطوبت ارائه شده با احتمال زیاد کمتر از میزان واقعی و دارای خطای نسبی است .

## ۱۲- برآورد کمی و کیفی ذخایر، میزان باطله برداری وحدود معدن

قبلماً، طی مطالعات اکتشاف تفصیلی، مجموع ذخایر افق‌های معدنی  $6/5$  میلیون تن

سنگ فسفات با عیار متوسط  $2/5$ ٪  $14/35$ ٪ برآورد شده بود. با انجام حفاری‌های جدید، میزان

ذخایر تابیش از  $8$  میلیون تن سنگ فسفات برآورد شده است. در مطالعات اکتشاف تکمیلی، بر

اساس نتایج حفاری‌های دو مرحله، برآوردهای کمی و کیفی ذخایر کانس اربعمل آمده است (جدول شماره

۱۱ و جداول محاسبات آماری نمونه‌ها).

محاسبه ذخیره با استفاده از روش چند ضلعی (Poligonal method) صورت گرفته

است. در نظر نگرفتن شبکه اکتشافی مناسب و مشخص نبودن مناطق کسله در نمودار چاهه‌ای

\* حفاری مرحله اکتشاف تفصیلی، از جمله عوامل موثر در انتخاب چنین روشی بوده است.

شیب و امتداد رگه‌های معدنی با استفاده از مختصات هندسی نقاط (سه نقطه واقع بر روی مفهوم) و

برپایه اطلاعات بدست آمده از گمانه‌های اکتشافی محاسبه شده است.

چکالی متوسط مجموع افق‌های معدنی در بخش‌های مختلف کانس ار، بر اساس نتایج

آزمایشات فیزیکی نمونه‌ها و نسبت ضخامت این افق‌های چاهه‌ای مرکز هربلوک، محاسبه شده

است.

عيار متوسط افق‌های معدنی از راه متوسط گیری ریاضی، به ترتیب برای افق اصلی،  $2/02$ ٪  $17/01$ ٪

و برای افق پرعيار "سنگهای سبز"  $2/05$ ٪  $22/07$ ٪ محاسبه شده است. عیار متوسط

مجموع دوافق به همین روش، به میزان  $2/05$ ٪  $14/12$ ٪ بدست آمده است.

از آن‌جاکه عیار بعنوان شاخص کیفی توزیع کانس ار، یکی از عوامل مهم تفکیک بخش‌های

مختلف محدوده معدن می‌باشد، نقشه‌های تغییرات عیار برپایه عیار متوسط ترانشه‌ها و چاهه‌ها

\* این روش در مواردی بکار میرود که اطلاعات بدست آمده از گمانه‌ها باهم تفاوت زیادی داشته

باشد (تغییرات عیار، ضخامت و ...) و بطور کلی، طبیعت توده معدنی کمتر توضیح داده می‌شود.

اساس کار در این روش، قانون نزدیکترین نقطه می‌باشد که مطابق آن، ارزش هر نقطه‌ای بین دو

ایستگاه (گمانه‌اکتشافی)، برابر ارزش نزدیکترین ایستگاه می‌باشد.

تھیه شده است (نقشه های No.SI.P.8 و No.SI.P.9) . بدلیل روش نبودن کمترین حد

اقتصادادی عیار ماده معدنی (Cut off grade) محدوده های عیار،  $P_2$  در این نقشه ها، بر

اساس کلاس اقتصادی ذخایر ترسیم نشده است . تعیین این حد، به چگونگی کانه آرائی افقی ای

معدنی، طرح استخراج و برآورد هزینه های مربوطه و با لآخر قیمت ماده معدنی، بستگی دارد.

با اینکه منحنی توزیع طبیعی لزوماً "از توزیع آماری مشخصه کانسارت بیعت نمیکند، با

استفاده از محاسبات آماری و براساس عیارها بست آمده، کلاس های اقتصادی کانسارت بیعت

شده است . نتایج این محاسبات، ذخایر برآورد شده را، از نظر کیفی در کلاس  $P_1$  رد مبنی میکند.

محاسبات انجام شده بنحوی مستدل نشان میدهد که جهت برآورد ذخایر کانسارت در کلاس  $P_2$

(با حد اکثر خطای ۳۰٪)، نیاز به دو برابر کاراکتشافی انجام شده، یعنی حدود ۴۵-۴۰ گمانه سوده

است . امری که احتمالاً "عملیات اکتشافی را با مخاطرات جدی از نظر تامین هزینه رو به رو

می ساخت .<sup>\*</sup> رعایت نکردن فوامل منظم نمونه کیری به مرأه کمبود بازیافت مفرغه در تعدادی از

چاهه ای اکتشافی سطالدات تزمیلی، تا حدود معینی در افزایش میزان خطا (برآورد کیفی) نقش

داشته است .

میزان پوشش محدوده کانسارت، باز ای هر چاهه اکتشافی ۷۰۰۰-۶۹۰۰ متر مربع میباشد اما سطح

حقیقی، حال آنکه جهت دسترسی به حداقل شرایط مطلوب، میزان پوشش هر چاهه اکتشافی

میباشی در حدود ۲۴۰۰ متر مربع در نظر گرفته میشود (شبکه های تقریباً  $50 \times 50$  متر بین

کمانه های واقع در مرکز هر بلوك ) . در این زمینه، بهتر بود در بدو امر با توجه به مورفولوژی کانسارت،

در امتداد مقطعي عمود بر امتداد رگه معدنی ۲ یا ۳ گمانه با فوامل مشخص حفاری میگردید و سپس

بر اساس نتایج بست آمده (تغییرات ضخامت، عیار و ۰۰۰)، شبکه اکتشافی مذابی در نظر

\* تجربه نشان داده است که ذخایر گروه قطعی (کاتگوری A) کانسارت هایی که از نظر شکل متتنوع و

پیچیده اند و توزیع مواد معدنی در قسمت های مختلف آنها منظم است، تنها بكمک کارهای

اکتشافی زیرزمینی مشخص میگردد . چنانچه تنها اطلاعات کمانه های اکتشافی در دست باشد،

بسته به فاصله آنها ریکدیگر، ذخایر این قبیل کانسارت هایی ممکن (۱) و محتمل (۲)

رد مبنی میشوند .

کرنتد می شد.

نسبت باطله برداری کلی (Overall stripping ratio)، بمیزان ۱/۷، محاسبه شده است.

این نسبت نمودار حد مجاز یا نسبت باطله برداری سربرگی است.

(Break-even stripping ratio) نبوده و در تعیین آن عامل اقتصادی نقشی نداشته است.

محدوده های مشخص شده کانسار روی نقشه های تغییرات عیار و خدمت، نشاندهند.

محدوده نهائی معدن نیست. این محدوده، با تکمیل مطالعات کانه آرایی و اقتصادی و تعیین

کمترین حد اقتصادی عیار ماده معدنی و با توجه به شبیه عمومی معدن بدست خواهد آمد.

جدول شماره ۱- خلاصه اطلاعات ونتایج بدست آمده از چاههای حفاری جهت تعیین ذخیره

متوسط وزن مخصوص حقیقتی (چکا) در افق  
پریس "سنگما" سیز" و سکهای دیاباری  
۸۶/۵/۹ cm<sup>3</sup>

برعیار "سنکها" سیز" و سنکها دیبا بازی ۸۴/۹/۵

متوسط وزن مخصوص حقیقتی (چکالی) در افق  
اصلی صاده معدنی  $5/34 \text{ cm}^3$   $2/34$

میزان باطلمه کلی مدنی  
۰۵۶۵ تبریز

نسبت باطلہ برداری کے Overall stripping ratio)

نسبت باطلہ برداری کے  
Overall stripping ratio)

1 - 8 / 2

عیار متغیر افق پر عیار "سنگهای سبز" و سنگهای دیباڑی  
 عیار متغیر افق اصلی ماده معنی  
 عیار متغیر افق اصلی ماده معنی  
 عیار متغیر افق اصلی ماده معنی

$$x = \frac{N}{9} \times 100\% = 11.11\%$$

$$x = \frac{N}{26} \times 100\% = 11.54\%$$

$$y = \frac{N}{48} = 11.67\%$$

$$y = \frac{N}{100} = 11.11\%$$

$$y = \frac{N}{400} = 11.11\%$$

$$8 = 111$$

$$6 = 111$$

$$10/11 = \frac{9}{11}$$

$$\frac{10}{11} = \frac{1}{11}(Y - Y_0)$$

$$y = \frac{10}{11} = 0.909$$

$$y = \frac{10}{11} = 0.909$$

$$N = 11$$

$$18/11 = 1.636$$

$$18/11 = 1.636$$

1/1/111	1/1/112						
111/111	111/112	111/113	111/114	111/115	111/116	111/117	111/118
112/111	112/112	112/113	112/114	112/115	112/116	112/117	112/118
113/111	113/112	113/113	113/114	113/115	113/116	113/117	113/118
114/111	114/112	114/113	114/114	114/115	114/116	114/117	114/118
115/111	115/112	115/113	115/114	115/115	115/116	115/117	115/118
116/111	116/112	116/113	116/114	116/115	116/116	116/117	116/118
117/111	117/112	117/113	117/114	117/115	117/116	117/117	117/118
118/111	118/112	118/113	118/114	118/115	118/116	118/117	118/118

111.111.111.111

## چهار شماره ۲ (D.II.2)

ذاتی دسته	وسط دسته $X_i$	فرآیند $y_i$	(D) <sub>i</sub> $\alpha_i$	درصد نسبت فرآیند	$y_{100}^i$	$\alpha_1 y_i$	$(Y_i - \bar{Y})^2$
۵/۶۴-۷/۸۴	۶/۷۵	۱	۱۰	۵/۵۸	۱/۹۰۹۵	۱۹/۰۹۵	۶/۲۹۴
۷/۸۶-۱۰/۹۶	۹/۴۱	۲	۱۵	۸/۳۸	۲/۲۴۱۷	۳۲/۶۲۶	۳/۱۹
۱۰/۹۶-۱۵/۲۹	۱۲/۱۲۵	۸	۶۹	۳۸/۵۴	۲/۵۷۴۵	۱۷۷/۶۴	۱/۱۳۷
۱۵/۲۹-۲۱/۲۲	۱۸/۳۱	۸	۶۶	۳۶/۸۷	۲/۹۰۷۴	۱۹۱/۸۹	۲/۷۶
۲۱/۳۳-۲۹/۷۴	۲۵/۵۳۵	۲	۱۹	۱۰/۶۲	۳/۲۴	۶۱/۵۶	۵/۲۸۱
			۲۱	۱۷۹		۴۸۲/۸۱۶	۱۸/۸۶۲

 $\Delta/۶۴ =$  عیار حداقل $۲۹/۷۵ =$  عیار حداکثر

N = ۲۱

$$\bar{Y} = \frac{\sum \alpha_i y_i}{\sum \alpha_i} = ۲/۷۰۲۸$$

$$\hat{Y} = ۱۴/۹۲۲$$

$$V = \frac{\sum \alpha_i (y_i - \bar{Y})^2}{\sum \alpha_i - 1} = ۰/۱$$

$$G^2 = V^2 = ۱/۱۱۱۲$$

$$G = ۱/۰۵۴۴$$

$$8 = ۱/۰۵۱$$

$$\hat{Y} = \hat{\alpha}_0 + \hat{\alpha}_1 X = ۱۵/۶۸ \quad \text{عیار متوسط}$$

$$\hat{\alpha}_0 = ۰/۰۵ \quad ۰/۸۹۸۳$$

$$\hat{\alpha}_1 = \hat{Y} - \hat{\alpha}_0 = ۱۴/۰۸$$

داسنه تغیرات

$$\hat{\alpha}_0 = ۱/۱۶۳$$

$$\hat{\alpha}_1 = \hat{Y} - \hat{\alpha}_0 = ۱۸/۲۴$$

$$e_x = \frac{26}{\sqrt{N}} \times ۱۰۰ // ۴۶ \% \text{ میزان خطای احتمال } ۹۵ \%$$

$$e_x = \frac{6}{\sqrt{N}} \times ۱۰۰ // ۲۳ \% \text{ میزان خطای احتمال } ۶۸ \%$$

$$y_i = \frac{N}{6} \times 100\% \text{ (Percentage of } N \text{ in } y_i)$$

$$y_i = \frac{N}{26} \times 100\% \text{ (Percentage of } N \text{ in } y_i)$$

$$t^2 = y_i / 26 \quad t = \sqrt{y_i / 26}$$

$$t^2 = y_i / 26 \quad t = \sqrt{y_i / 26}$$

$$y_i = \bar{x} \times t^2 = \bar{x} / 26$$

$$\bar{x} = 1 / 1444$$

$$g = 1 / 1444$$

$$V^2 = \frac{1}{1444} = 1 / 1444$$

$$V = \frac{1 - 10^{-3}}{(1 - 10^{-3})^{1/2}} = 1 / 1444$$

$$\Delta = 1 / 1444$$

$$V = \frac{10^{-3}}{10^{-3}} = 1 / 1444$$

$$N = \bar{x}$$

$$x_i = \bar{x} + V^2 / 2 = 1 / 1444$$

$$x_i = \bar{x} + V^2 / 2 = 1 / 1444$$

$x_i$	$y_i$	$t^2$	$\bar{x}$	$\bar{y}$	$N$	$\sum y_i$	$\sum x_i$	$\sum x_i^2$
18/1444	18/1444	1/1444	18/1444	18/1444	1444	259.5	259.5	259.5
18/1444	18/1444	1/1444	18/1444	18/1444	1444	259.5	259.5	259.5
18/1444	18/1444	1/1444	18/1444	18/1444	1444	259.5	259.5	259.5
18/1444	18/1444	1/1444	18/1444	18/1444	1444	259.5	259.5	259.5
18/1444	18/1444	1/1444	18/1444	18/1444	1444	259.5	259.5	259.5
18/1444	18/1444	1/1444	18/1444	18/1444	1444	259.5	259.5	259.5
18/1444	18/1444	1/1444	18/1444	18/1444	1444	259.5	259.5	259.5
18/1444	18/1444	1/1444	18/1444	18/1444	1444	259.5	259.5	259.5

→  $(D_{11}, 3) \rightarrow (1, 1, 3)$

→  $y_i$

## (D.H.4)⁴ چاه شماره

فاصله دسته	وسط دسته $X_i$	فرآوانی $P_j$	( $D_m$ ) $ei$	درصد نسبی مخاطب فرآوانی	$\gamma_i = \log \frac{X_i}{e_i}$	$e_i \gamma_i$	$(\gamma_i - \bar{\gamma})^2 e_i$
۱/۵۲-۲/۶۶	۲/۰۹	۱	۹	۴/۰۵	-۰/۷۳۷۱	۶/۶۳۴	۱۷/۸۳
۲/۶۶-۴/۶۷	۳/۶۶۵	۵	۵۰	۲۲/۵	۱/۲۹۸۸	۶۴/۹۴۱	۳۵/۷۷
۴/۶۷-۸/۱۸	۶/۴۲۵	۵	۵۲	۲۳/۴۴	۱/۸۶۰۱	۹۶/۷۲	۴/۲۰۸
۸/۱۸-۱۴/۲۴	۱۱/۲۶	۴	۴۱/۵	۱۸/۹۹	۲/۴۲۱۲	۱۰۰/۴۸۲	۳/۱۷۵
۱۴/۳۴-۲۵/۱۵	۱۹/۷۴۵	۷	۶۹/۵	۳۱/۳۰	۲/۹۸۳	۲۰۷/۳۱۱	۴۸/۸۵
		۲۲	۲۲۲			۴۷۶/۱	۱۰۹/۸۳۳

$$\bar{\gamma} = 1/52 = \text{عيار حداقل}$$

$$\bar{\gamma} = 25/15 = \text{عيار حداکثر}$$

$$N=22$$

$$\bar{\gamma} = \frac{\sum e_i \gamma_i}{\sum e_i} = 2/144$$

$$\bar{\gamma} = 8/5385$$

$$V^2 = \frac{\sum_{i=1}^n e_i (\gamma_i - \bar{\gamma})^2}{\sum e_i - 1} = 0/49$$

$$\sigma^2 = e^{\bar{\gamma}^2} = 1/643$$

$$\delta = 1/282$$

$$\delta = 1/274$$

$$\hat{\gamma} = \bar{\gamma} \times \delta = 10/88 \quad \text{عيار متوسط} P_{25}$$

$$Y_1 = Y_0 / 10 \times \hat{\gamma} = 8/50$$

دامنه تغیرات

$$Y_2 = Y_0 / 95 \times \hat{\gamma} = 15/75$$

$$e_x = \frac{26}{\sqrt{N}} \times 100 // ۵٪ میزان خطأ$$

$$e_x = \frac{6}{\sqrt{N}} \times 100 // ۲٪ میزان خطأ$$

(D.H.6) شماره چهار

فواصله دسته	وسط دسته $X_i$	فراؤانو $\gamma_j$	(D) <sub>i,i</sub> $e_i$	درصد نسبی مخاتب فراؤانو	$\gamma_i = \log_e x_i$	$e_i \gamma_i$	$(\gamma_i - \bar{\gamma})^2 e_i$
٥/٠٣٦-٤٧	٥/٧٥	٢	١٠٧/٥	٤٢	١/٧٤٩٢	١٨٨/٠٣٨	١١/١٧٩
٦/٤٧-٨/٣٢	٧/٣٩٥	٣	٢١/٥	٨/٤	٢/٠٠٨	٤٣/٠١٧	٠/١٠٨
٨/٣٢-١٠/٧٠	٩/٥١	١	١٠٠	٣٩/٢	٢/٢٥٢٣	٢٢٥/٢٣٤	٣/٢٦٢
١٠/٧٠-١٣/٧٦	-	-	-	-	-	-	-
١٢/٧٦-١٧/٧٠	١٥/٧٣	٢	٢٦/٥	١٠/٤	٢/٧٥٥٥	٧٣/٠٢٢	١٢/٣٩٢
		٨	٢٥٥/٥			٥٢٩/٣١٣	٢٦/٩٤١

عيار حداقل = ٥/٠٣

عيار حداکثر = ١٧/٧٠

$$N = \lambda$$

$$\bar{\gamma} = \frac{\sum e_i \gamma_i}{\sum e_i} = ٢/٠٧١٦$$

$$\hat{\gamma} = e = ٧/٩٣٨$$

$$V = \frac{\sum_{i=1}^n e_i (\gamma_i - \bar{\gamma})^2}{\sum e_i - 1} = ٠/١$$

$$\sigma^2 = e^V = ١/١١١$$

$$\delta' = ١/٠٥٤٣$$

$$\delta = ١/٠٥١$$

$$\hat{\gamma} = \hat{m} \times \delta = ٨/٣٤ \quad \text{عيار متوسط}$$

$$\Psi_0/0.5 = ٠/٨٢٨٥$$

$$t_1 = \Psi_0/0.5 \times \hat{\gamma} = ٦/٩١$$

دامنه تغیرات

$$\Psi_0/0.5 = ١/٤٣٦٦$$

$$t_2 = \Psi_0/0.5 \times \hat{\gamma} = ١١/٩٨$$

$$e_x = \frac{26}{\sqrt{N}} \times 100 \% \quad \text{با احتمال } ٩٥ \% \text{ میزان خطأ } ٧٤ \%$$

$$e_x = \frac{6}{\sqrt{N}} \times 100 \% \quad \text{با احتمال } ٦٨ \% \text{ میزان خطأ } ٣٧ %$$

چهارمین ارجاع (D.H.7) ۷

فاصله دسته	وسط دسته $X_i$	فرآوانی $y_i$	(D) <sub>ei</sub> درصد نسبی مخاطب	فرآوانی $y_i$	$\frac{Y_i - \bar{Y}}{\log e}$	$e_i y_i$	$(Y_i - \bar{Y})^2 e_i$
۳/۰۱-۴/۰۵	۲/۵۳	۳	۳۲	۳۸/۵	۱/۲۶۱۳	۴۰/۳۶۱	۱۴/۰۸۵
۴/۰۵-۵/۰۷	۴/۷۶	-	-	-	-	-	-
۵/۰۷-۶/۰۸	۶/۴۲۵	۱	۱۰	۱۲/۱	۱/۸۶	۱۸/۶۰۱	۰/۰۴۱۹
۶/۰۸-۷/۰۹	۷/۶۶۵	-	-	-	-	-	-
۷/۰۹-۸/۰۱	۸/۶۸۵	۴	۴۱	۴۹/۴	۲/۴۵۸	۱۰۰/۷۹	۱۱/۶۵۸
		۸	۸۳			۱۵۹/۷۵۴	۲۵/۷۸۵

$\bar{Y} = ۳/۰۱$  = عیار حداقل

نتایج بدست آمده از نمونه های متغیر این چاه

$۱۳/۴۲$  = عیار حداکثر

بعلت کمبود متغیر و نمونه کمی کم ، با خطای بسیار

$N = ۸$

بیشتر از حد معقول توان است .

$$\bar{Y} = \frac{\sum e_i y_i}{\sum e_i} = ۱/۹۲۴$$

$$n = e = ۶/۸۵۳$$

$$V = \frac{\sum_{i=1}^n e_i (y_i - \bar{Y})^2}{\sum e_i - 1} = ۰/۳۱۴$$

$$\sigma^2 = n V = ۱/۳۶۹۵$$

$$G = ۱/۱۷$$

$$\delta = ۱/۱۶۴$$

$$\hat{Y} = \bar{n} \times \delta = ۷/۹۸ \quad \text{عیار متوسط}$$

$$۴۰/۰۵ = ۰/۲۱۷۶$$

$$l_1 = ۴۰/۰۵ \times \hat{Y} = ۵/۷۳$$

دامنه تغییرات

$$۴۰/۰۵ = ۲/۰۰۴$$

$$l_2 = ۴۰/۰۵ \times \hat{Y} = ۱۵/۹۹$$

$$e_x = \frac{2G}{\sqrt{N}} \times 100 // ۸۲ \% \text{ میزان خطای میزان}%$$

$$e_x = \frac{6}{\sqrt{N}} \times 100 // ۴۱ \% \text{ میزان خطای میزان}%$$

(D.H.8) جاه شماره ٨

فاصله دسته	وسط دسته $X_i$	فرآوانی $P_i$	(Dm) $ei$	درصد نسبی مخاتس	$\gamma_i = \log \frac{X_i}{e_i}$	$ei\gamma_i$	$(Y_i - \bar{Y})^2 ei$
٨/٠٩-١٠/٥٥	٩/٣٢	٢	٢٠	١٦/٤	٢/٢٣٢	٤٤/٦٤٣	١١/٥٣٢
١٠/٥٥-١٢/٧٧	١٢/١٦	-	-	-	-	-	-
١٢/٧٧-١٢/٩٧	١٤/٨٧	٢	٢٠	١٦/٤	٢/٧٦٤	٥٥/٢٨٨	١/٠٣٣
١٢/٩٧-٢٣/٤٨	٢٠/٧١	٢	٢٠	١٦/٤	٣/٠٣	٦٠/٤١٢	٠/٠٢٩٨
٢٣/٤٥-٣٠/٤٠	٢٧/٠٢٥	٦	٦٢	٥٠/٨	٣/٢٩٦	٢٠٤/٣٩٩	٥/٧٥٤
			١٢	١٢٢			٣٦٤/٩٤٣
							١٨/٣٤٩

$$\text{عيار حداقل} = ٨/٠٩$$

$$\text{عيار حدأكثى} = ٣٠/٤٠$$

$$N = ١٢$$

$$\bar{Y} = \frac{\sum e_i y_i}{\sum e_i} = ٢/٩٩١$$

$$\hat{m} = e = ١٩/٩١$$

$$V = \frac{\sum_{i=1}^{n-1} e_i (\gamma_i - \bar{Y})^2}{\sum e_i - 1} = ٠/١٨$$

$$\sigma^2 = e^V = ١/١٦٣$$

$$\sigma = ١/٠٧٨٧$$

$$\delta = ١/٠٧٧٥$$

$$\hat{Y} = \hat{m} \times \delta = ٢١/٤٥ \quad \text{عيار متوسط } P_2 O_5$$

$$\bar{Y} = ٢٠/٠٥ = ٠/٨٣٩٠٥$$

$$t_1 = \bar{Y} + \delta \times \hat{Y} = ٢٧/٩٩ \quad > \text{دامنه تغيرات}$$

$$\bar{Y} = ٢٠/٩٥ = ١/٣٣١٦$$

$$t_2 = \bar{Y} + \delta \times \hat{Y} = ٢٨/٥٦$$

$$e_x = \frac{2\sigma}{\sqrt{N}} \times 100 \% \approx ٦٢ \% \quad \text{با احتمال } ٩٥ \% \text{ ميزان خطأ}$$

$$e_x = \frac{6}{\sqrt{N}} \times 100 \% \approx ٣١ \% \quad \text{با احتمال } ٦٨ \% \text{ ميزان خطأ}$$

فاصله دسته	وسط دسته $X_i$	فراوانی $f_i$	( $D_m$ ) $ei$	درصد نسبی ساخت فراوانی	$Y_i = \log \frac{X_i}{e}$	$ei Y_i$	$(Y_i - \bar{Y})^2 ei$
۱/۰۹-۱/۱۵	۱/۱۲	۶	۶۷	۹/۴۸	۰/۲۲۷۶	۱۸/۶۰۱	۱۸۶/۲۲۵
۱/۱۵-۲/۲۰	۱/۱۸۷۵	۲	۲۰	۲/۸۳	۰/۶۲۸۶	۱۲/۵۷۲	۳۴/۶۴۶
۲/۲۰-۲/۱۴	۲/۶۷	۷	۶۳	۸/۹۲	۰/۹۸۲	۶۱/۸۷	۵۸/۳۹۷
۳/۱۴-۴/۴۷	۳/۸۰۵	۱۰	۱۱۸/۵	۱۶/۷۷	۱/۳۳۶	۱۵۸/۳۵۳	۴۳/۹۱۷
۴/۴۷-۵/۳۶	۵/۴۱۵	۷	۷۱	۱۰/۰۵	۱/۶۸۹	۱۱۹/۹۳۱	۴/۶۴۵
۵/۳۶-۶/۰۵	۶/۷۰۵	۵	۵۶	۷/۹۳	۲/۰۴۲	۱۱۴/۳۴۴	۰/۵۲۹
۶/۰۵-۱۲/۸۸	۱۰/۹۶۵	۶	۷۰	۹/۹۱	۲/۳۹۴	۱۶۷/۶۲۹	۱۴/۱۲۶
۱۲/۸۸-۱۸/۳۴	۱۵/۶۱	۸	۷۵/۵	۱۰/۶۸	۲/۷۴۸	۲۰۷/۴۶۷	۴۸/۷۱
۱۸/۲۴-۲۶/۱۰	۲۲/۲۲	۱۲	۱۶۰/۵	۲۲/۴۳	۲/۱۰۱	۵۱۳/۲۱۴	۲۲۱/۲۴۹
		۶۸	۷۰۶/۵			۱۳۷۳/۹۸۵	۶۱۲/۲۴۴

$\bar{Y} = ۱/۰۹$  = عبارحداصل

$\bar{Y} = ۲۶/۱۰$  = عبارحداکثر

$$N = ۶۸$$

$$\bar{Y} = \frac{\sum_{i=1}^n e_i Y_i}{\sum e_i} = ۱/۹۴۴۷$$

$$\bar{m} = \bar{e} = ۶/۹۹۲$$

$$V = \frac{\sum_{i=1}^n e_i (\bar{Y} - Y_i)^2}{\sum e_i - 1} = ۰/۸۷$$

$$G^2 = \sigma^2 = ۲/۳۸۲$$

$$G = ۱/۵۴۳۵$$

$$\gamma = ۱/۵۴۰۵$$

$$\hat{Y} = \bar{m} \times \gamma = ۱۰/۷۷ \quad \text{عبارمتوسط } P_{205}$$

$$\gamma = ۰/۰۵ = ۰/۸۱۲۳$$

$$t_1 = \gamma / ۰/۰۵ \times \hat{Y} = ۸/۷۵$$

دامنه تغیرات

$$\gamma = ۰/۹۰ = ۱/۲۲۶۱$$

$$t_2 = \gamma / ۰/۹۰ \times \hat{Y} = ۱۴/۲۸$$

$$e_x = \frac{2G}{\sqrt{N}} \times 100 \% \text{ میزان خطأ} \quad ۳۷ \% \text{ میزان خطأ}$$

$$e_x = \frac{6}{\sqrt{N}} \times 100 \% \text{ میزان خطأ} \quad ۱۸ \% \text{ میزان خطأ}$$

## چاه شماره ۱۱ (D.H.11)

فاصله دسته	وسط دسته $X_i$	فرآوانی $P_i$	( $D_m$ ) <sub>ei</sub> خاست	درصد سیزه فرآوانی	$Y_i = \log e_i$	$e_i Y_i$	$(Y_i - \bar{Y})^2 e_i$
۱۶/۵۰-۱۷/۵۲	۱۷/۰۱	۱	۱۰	۱۴/۲۸	۲/۸۳۳	۲۸/۳۲۸	۰/۲۹۸۵
۱۷/۵۲-۱۸/۵۱	۱۸/۰۶۵	-	-	-	-	-	-
۱۸/۶۱-۱۹/۷۶	۱۹/۱۸۵	-	-	-	-	-	-
۱۹/۷۶-۲۰/۹۹	۲۰/۳۷۵	۲	۴۰	۵۷/۱۵	۳/۰۱۴	۱۲۰/۵۷۲	۲/۸۹۱
۲۰/۹۹-۲۲/۳۰	۲۱/۵۶۴۵	۲	۲۰	۲۸/۵۷	۳/۰۷۴	۶۱/۴۹۵	۱۰/۷۸۱
		۵	۲۰				۲۱۰/۴۰۵
							۱۲/۷۷

 $16/50 =$  عبارحداقل

نتایج بدست آمده از این چاه بعلت کمبودمنزه

 $22/30 =$  عبارحداکثر $N=5$ 

و نمونه کبیری کم، قابل چشم پوشی است.

$$\bar{Y} = \frac{\sum_{i=1}^n P_i Y_i}{\sum P_i} = ۳/۰۰۵$$

$$\hat{m} = e^{\bar{Y}} = ۲۰/۲۰$$

$$V = \frac{\sum_{i=1}^n P_i (Y_i - \bar{Y})^2}{\sum P_i - 1} = ۰/۱۹۹/۰/۲$$

$$S^2 = e^{\bar{Y}^2} = ۱/۲۲$$

$$S = ۱/۱۰۵$$

$$\delta = ۱/۱۰۳$$

$$\hat{Y} = \hat{m} \times \delta = ۲۲/۲۸$$

عبارمتوسط

$$۲۰/۰۵ = ۰/۷۱۲۹$$

$$t_1 = ۲۰/۰۵ \times \hat{Y} = ۱۵/۸۸$$

$$۲۰/۹۵ = ۲/۰۸۶۶$$

$$t_2 = ۲۰/۹۵ \times \hat{Y} = ۴۶/۴۹$$

$$e_x = \frac{2S}{\sqrt{N}} \times 100 / \% ۹۵ میزان خطأ$$

دامنه تغییرات

$$e_x = \frac{6}{\sqrt{N}} \times 100 / \% ۶۸ میزان خطأ$$

(D.H.12) شماره ١٢

فاصله دسته	وسط دسته $X_i$	فراء ای $P_j$	(Dm.)ei	درصد نسبی مخات $\frac{P_j}{\sum P_j}$	$Y_i = \log_e X_i$	$ei Y_i$	$(Y_i - \bar{Y})^2 ei$
٦/٤٧-٨/٤٦	٧/٥٦٥	١	٦٠	٣٦/٤٧	٢/٠٢٣	١٢١/٤١٢	١٦/٧٦٥
٨/٤٦-١١/٥٩	٩/١٢٥	٢	٢٠	١٢/١٦	٢/٣١٥	٢٦/٣	١/١١٩٥
١١/٥٩-١٥/٥١	١٣/٥٥	٣	٢٥	١٥/٢٠	٢/٦٠٦	٦٥/١٥٩	٠/٠٧٣٩
١٥/٥١-٢٠/٧٦	١٨/١٣٥	٤	١٠	٦/٠٨	٢/٨٩٨	٢٨/٩٧٨	١/٢٠
٢٠/٧٦-٢٧/٨٠	٢٤/٢٨		٤٩/٤	٣٠/٠٩	٣/١٨٩	١٥٧/٨٨٧	٢٠/١١
			١٦٤/٥			٤١٩/٧٣٨	٢٩/٢٦٩
		١١					

عیار حداقل = ٦/٤٧

عیار حداکثر = ٢٧/٨٠

N= ١١

$$\bar{Y} = \frac{\sum e_i Y_i}{\sum e_i} = ٢/٥٥١٦$$

$$\bar{m} = e^{\bar{Y}} = ١٢/٨٢٧٥$$

$$V = \frac{\sum_{i=1}^{11} e_i (Y_i - \bar{Y})^2}{\sum e_i - 1} = ٠/٢٤$$

$$G = e^{\frac{V}{2}} = ١/٢٧١٤$$

$$G' = ١/١٢٧٦$$

$$\gamma = ١/١٢٦٤$$

$$\hat{Y} = \bar{m} \times \gamma = ١٤/٤٥$$

عیار متوسط  $P_{205}$

$$٢٠/٠٥ = ٠/٧٩٣٢$$

$$t_1 = ٢٠/٠٥ \times \hat{Y} = ١١/٤٦$$

دامنه تغییرات

$$٢٠/٩٥ = ١/٤٨٣٤$$

$$t_2 = ٢٠/٩٥ \times \hat{Y} = ١/٤٣$$

$$e_x = \frac{2G}{\sqrt{N}} \times 100 \% \text{ میزان خطای } ٩٥ \% \text{ با احتمال } ٦٨ \% \text{ میزان خطای } ٣٤ \% \text{ با احتمال } ٤٨ \%$$

$$e_x = \frac{6}{\sqrt{N}} \times 100 \% \text{ میزان خطای } ٣٤ \% \text{ با احتمال } ٤٨ \% \text{ میزان خطای } ٦٨ \% \text{ با احتمال } ٥٢ \%$$

$$e = \frac{N}{9} = \frac{x}{9}$$

$$e = \frac{N}{97} = \frac{x}{97}$$

$$Z = Y + 48 \times \frac{Y-18}{x}$$

சிப்பிடின்

$$L = Y + 48 \times \frac{Y-24}{x}$$

$$Y/98 = 1/499$$

$$Y/48 = 1/494$$

$$P_0^2, \text{ தீவிரமாக}$$

$$Y = 48 \times 8 = 1/488$$

$$X/198 = 1/198$$

$$U/V = 1/198$$

$$V = \frac{\partial}{\partial U} = \frac{\partial}{\partial X}$$

$$U/V = \frac{1 - 1/198}{1 + 1/198} = \frac{197/198}{200/198} = \frac{197}{200}$$

$$Y = \frac{1 - 1/198}{1 + 1/198} = \frac{197}{200}$$

$$N = 48$$

$$X/198 = 1/198$$

$$X/198 = 1/198$$

X/198	Y/98/499				Y/198		
198/198	100/499	198/198	198/198	98	19	198/198	198/198
198/48	198/498	198/48	198/48	88	8	198/48	198/48
198/3	198/491	198/3	198/3	8	1	198/3	198/3
300/1	198/48	300/1	300/1	64	1	300/1	300/1
Y/198-3/4	4/198	Y/198-3/4	Y/198-3/4	4/198	1	Y/198-3/4	Y/198-3/4
Y/198-3/4	4/198	Y/198-3/4	Y/198-3/4	4/198	1	Y/198-3/4	Y/198-3/4
Y/198-3/4	4/198	Y/198-3/4	Y/198-3/4	4/198	1	Y/198-3/4	Y/198-3/4

(B+H1) 198/198

-74-

(B.H.2) شماره ۲

فامله دسته	وسط دسته $X_i$	فرآوانی $p_i$	(Dm) $e_i$	درصد نسبت میخات فرآوانی	$Y_i = \log_e e_i$	$e_i Y_i$	$(Y_i - \bar{Y})^2 e_i$
۱/۰۸ - ۱/۷۷	۱/۴۲۵	۲	۱۵	۶/۵۲	-۰/۲۵۴۱	۵/۳۱۲۵	۶۳/۹۲۴
۱/۷۷ - ۲/۸۹	۲/۳۳۰	۱	۱۰	۴/۳۵	-۰/۸۴۵۸	۸/۴۵۸۶	۲۴/۷۳۸
۲/۸۹ - ۴/۷۳	۳/۸۱۰	۲	۲۵	۱۰/۸۷	۱/۲۳۷۶	۳۲/۴۴	۲۹/۲۱۶
۴/۷۳ - ۷/۷۴	۶/۲۳۵	۲	۲۵	۱۰/۸۷	۱/۸۳۰۱	۴۵/۷۵۴	۸/۶۵۹
۷/۷۴ - ۱۲/۶۶	۱۰/۲۰	۲	۱۰	۴/۳۵	۲/۳۲۲۴	۲۲/۲۳۸	۰/۰۹۲۶
۱۲/۶۶ - ۲۰/۷۱	۱۶/۶۸۵	۱۶	۸۰	۳۴/۷۸	۲/۸۱۴۵	۲۲۵/۱۶۰	۱۲/۵۳۶
۲۰/۷۱ - ۲۲/۸۸	۲۷/۲۹۵	۱۳	۶۵	۲۸/۲۶	۳/۳۰۶۷	۲۱۴/۹۳۵	۵۱/۲۶۲
		۴۰	۲۲۰			۵۵۶/۲۸۶	۱۹/۴۲۸

 $\lambda = ۱/۰۸$  عیار حداقل $\lambda = ۳۳/۸۸$  عیار حداکثر $N = ۴۰$ 

$$\bar{Y} = \frac{\sum p_i Y_i}{\sum p_i} = ۲/۴۱۸۴$$

$$\hat{\sigma}_{\bar{Y}} = ۱۱/۲۳$$

$$\hat{\sigma}_Y = \sqrt{\frac{\sum p_i (Y_i - \bar{Y})^2}{\sum p_i - 1}} = ۰/۸۳$$

$$\hat{\sigma}_Y = \sqrt{۰/۸۳} = ۰/۲۹۷$$

$$G = ۱/۵۱۵$$

$$\delta = ۱/۴۸۵$$

$$\hat{Y} = \bar{Y} \times \delta = ۱۶/۶۷$$

عیار متوسط

$$\hat{Y} = ۱/۰۵ = ۰/۷۷۳۸$$

$$t_1 = \hat{Y} = ۱۲/۹۰$$

دامنه تغییرات

$$\hat{Y} = ۱/۹۵ = ۱/۴۵۴$$

$$t_2 = \hat{Y} = ۲۴/۲۵$$

$$\hat{\sigma}_X = \frac{26}{\sqrt{N}} \times 100 // \% ۴۸ - \% ۹۵$$
 با احتمال ۹۵٪ میزان خطای %۴۸

$$\hat{\sigma}_X = \frac{6}{\sqrt{N}} \times 100 // \% ۲۴ - \% ۶۸$$
 با احتمال ۶۸٪ میزان خطای %۲۴

(B+H+6) شماره ٤

فاصله دسته	وسط دسته	فرآوانی $P_i$	( $D_m$ ) ei	درصد نسبی مخاتس	$\gamma_i = \log_e^{x_i}$	$e_i \gamma_i$	$(Y_i - \bar{Y}) e_i$
٢/١٢-٢/٩٠	٢/٥٧	١	٣٠	٥/٦٣	٠/٩٩٤	٢٧/٥٧٨	٤٧/٢٤
٢/٩٠-٣/٩٩	٣/٤٥٥	٥	٨٠	١٥	١/٢٣٦	٩٨/٩٥٤	٧٠/٢٧
٣/٩٩-٥/٤٨	٤/٧٣٥	٦	٧٣	١٣/٧١	١/٥٥٥	١١٣/٥١٣	٢٧/٩٨
٥/٤٨-٧/٥٣	٦/٥٠٥	٦	٧٠	١٣/١٤	١/٨٧٢	١٣١/٠٨	٦/٣٦٥
٧/٥٣-١٠/٣٥	٨/٩٤٠	٦	٥٧/٥	١٠/٧٩	٢/١٩٠	١٢٥/٩٥٥	٠/٠١٥٤
١٠/٣٥-١٤/٢١	١٢/٢٨٠	٩	٥٥	١٠/٣٣	٢/٥٠٨	١٣٧/٩٣٨	٦/١٢٩
١٤/٢١-١٩/٥٣	١٦/٨٧٠	١١	٦٧	١٢/٥٨	٢/٨٢٥	١٨٩/٣١٠	٢٨/٢٢٩
١٩/٥٣-٢٦/٨٣	٢٣/١٨٠	٨	٤٠	٧/٥	٢/١٤٣	١٢٥/٧٣٠	٣٧/٥٧٠
٢٦/٨٣-٣٦/٨٧	٣١/٨٥٠	١٢	٤٠	١١/٢٧	٢/٤٦١	٢٠٧/٦٦٠	٩٩/٣٦٦
		٦٤	٥٣٢/٥			١١٥٧/٧٢٥	٣٢٢/٣٧٤

 $\bar{Y} = ٢/١١٥$  عبارحداقل $\bar{Y} = ٣٦/٨٧$  عبارحداكثر $N = ٦٤$ 

$$\bar{Y} = \frac{\sum P_i Y_i}{\sum P_i} = ٢/١٧٤١$$

$$\sigma = \sqrt{\bar{Y}} = ٨/٩٩٤$$

$$\sigma^2 = \frac{\sum P_i e_i (Y_i - \bar{Y})^2}{N-1} = ٠/٦٠٨$$

$$\sigma' = e^{\bar{Y}/2} = ١/٨٣٧$$

$$G = ١/٣٥٥$$

$$\delta = ١/٣٤٨$$

$$\hat{Y} = \bar{Y} \times G = ١١/٨٥ \quad \text{عيارمتوسط } P_2 0_1$$

$$\Psi_{+} = ٢/٠٥ = ٠/٨٤٤$$

$$t_1 = \Psi_{+} / ٠٥ \times \hat{Y} = ١٠/٠١$$

دامنه تغيرات

$$\Psi_{-} = ٢/٩٥ = ١/٢٤١$$

$$t_2 = \Psi_{-} / ٩٥ \times \hat{Y} = ١٤/٧٢$$

$e_x = \frac{26}{\sqrt{N}} \times 100 \# \% ٣٤$  مسیران خطای میزان

$e_x = \frac{6}{\sqrt{N}} \times 100 \# \% ١٢$  مسیران خطای میزان

(B.H.7) چاه شمسواره ۷

فاصله دسته	وسط دسته $x_i$	فرآوانی $p_i$	$(D_m - ei)$	درصد نسبی میخاست فرآوانی	$Y_i = \log \frac{x_i}{e}$	$ei Y_i$	$(Y_i - \bar{Y})^2$
۲/۷۰-۴/۰۷	۳/۳۸۵	۴	۵۷	۲۸/۷۷	۱/۲۱۹	۶۹/۵۰	۱۴/۵۳۶
۴/۰۷-۶/۱۵	۵/۱۱	۲	۳۰	۲۰/۴۱	۱/۶۳۱	۴۸/۹۳	۰/۲۵۹
۹/۳۰-۱۴/۰۴	۱۱/۶۷	۳	۴۵	۳۰/۶۰	۲/۰۴۴	۹۲/۰۰	۴/۶۰۸
۹/۳۰-۱۴/۰۴	۱۱/۶۷	-	-	-	-	-	-
۱۴/۰۴-۲۱/۲۲	۱۷/۶۳	۱	۱۵	۱۰/۲۱	۲/۸۶۹	۴۳/۰۰	۱۹/۶۶۵
		۱۰	۱۴۷			۲۵۳/۴۳	۲۹/۰۶۸

عيار حداکثر = ۲۱/۲۲

N=10

عيار حداقل = ۲/۷۰

$$\bar{Y} = \frac{\sum ei Y_i}{\sum ei} = 1/224$$

$$\hat{m} = e \bar{Y} = 5/6.6987599$$

$$V^2 = \frac{\sum_{i=1}^{n-1} ei(Y_i - \bar{Y})^2}{\sum ei - 1} = 0/2670916.9$$

$$\sigma^2 = V^2 = 1/3$$

$$\sigma = 1/143$$

$$\delta = 1/1376$$

$$\hat{Y} = \hat{m} \times \delta = 6/3285$$

عيار متوسط  $P_2 D_5$ 

$$Y_{0.05} = 0/278$$

$$t_1 = Y_{0.05} \times \hat{Y} = 4/97$$

$$Y_{0.95} = 1/545$$

$$t_2 = Y_{0.95} \times \hat{Y} = 9/85$$

$e_{\bar{x}} = \frac{2\sigma}{\sqrt{N}} \times 100 // ۷۲٪$  با احتمال ۹۵٪ میزان خطای میزان

$e_{\bar{x}} = \frac{\sigma}{\sqrt{N}} \times 100 // ۳۶٪$  با احتمال ۶۸٪ میزان خطای میزان

دامنه تغییرات

فاصله دسته	وسط دسته $X_i$	فرآوانی $P_i$	(Dim) $e_i$	درصد نسبی خاست $\frac{P_i}{\sum P_i}$	$Y_i = \log_e^{X_i}$	$e_i Y_i$	$(Y_i - \bar{Y})^2 e_i$
٢/١١-٣/٦	٢/٨٦	٢	٢٥	١٧/٨٦	١/٠٥٠٨٢	٢٦/٢٧	٢٧/٨١٦
٣/٦-٤/٩	٤/٩٠	٣	٢٧	١٩/٢٨	١/٥٨٩٢	٤٢/٩٩	٧/٢٠١
٤/٩-١٠/٦٢	٨/٤٠٥	٤	٤٠	٢٨/٥٧	٢/١٢٨٨	٨٥/١٥٣	٠/٠٢١٤
١٠/٦٢-١٨/٢٠	١٤/٤١	٤	٢٥	١٧/٨٦	٢/٦٦٧٩	٦٦/٦٩٨	٧/٩٠٣
١٨/٢٠-٢١/٢١	٢٤/٧٠٥	٤	٢٣	١٦/٤٣	٣/٢٠٧	٧٣/٧٦١	٢٧/٨٩٨
		١٩	١٤٠			٢٩٤/٧٩٢	٧٠/٨٣٩٤

$$\text{عيار حداقل} = ٢/١١$$

$$N=19$$

$$\text{عيار حداکثر} = ٣١/٢١$$

$$\bar{Y} = \frac{\sum e_i Y_i}{\sum e_i} = ٢/١٠٥٦٥$$

$$\hat{Y} = \lambda / ٢١٢٤٢٩٣٦١$$

$$V^2 = \frac{\sum_{i=1}^n e_i (Y_i - \hat{Y})^2}{\sum e_i - 1} = ٠/٥٠٩٦٣٥٩٧١$$

$$\sigma^2 = e V^2 = ١/٦٦$$

$$\sigma = ١/٢٩$$

$$\delta = ١/٢٨$$

$$\hat{Y} = \hat{\mu} + \delta = ١٠/٥١١٩٢٢٣٨$$

$$\text{عيار متوسط } P_2 O_5$$

$$\mu + 0.5 = ٠/٧٦٣١$$

$$t_1 = ٤٠/٠٥ \times \hat{Y} = ٨/٠٢$$

$$\mu + 0.95 = ١/٥٢٣٢$$

$$t_2 = ٤٠/٩٥ \times \hat{Y} = ١٦/٠١$$

دامنه تغیرات

$$e_{\bar{x}} = \frac{26}{\sqrt{N}} \times 100 \% \quad \% ٥٩ \quad \text{باحتتمال } ٩٥ \% \text{ میزان خطأ}$$

$$e_{\bar{x}} = \frac{٥}{\sqrt{N}} \times 100 \% \quad \% ٣٠ \quad \text{باحتتمال } ٦٨ \% \text{ میزان خطأ}$$

محاسبات آماری تعیین کلاس کاراکتاشافی انجام شده

فایل دسته	وسط دسته $X_i$	فرآوانی. $P_i$	درصد نسبی محساست. $(P_i)(100)$	فرآوانی $e_i$	$Y_i = \log_{10} X_i$	$e_i Y_i$	$(Y_i - \bar{Y})^2 e_i$
۶/۳۷۸-۸/۱۹	۷/۲۸۴	۲	۲۱۸	۵/۶۲	۱/۹۸۵۶۸	۴۳۲/۸۷۸	۶۵/۹۶۴۵
۸/۱۹-۱۰/۵۲	۹/۳۵۵	۲	۳۵۸	۹/۲۲	۲/۲۳۵۹۱	۸۰۰/۴۵۶	۲۲/۱۸۸
۱۰/۵۲-۱۳/۵۰	۱۲/۰۱	۴	۱۹۹۰	۵۱/۲۹	۲/۴۸۵۷۴	۴۹۴۶/۶۲۱	۴/۹۷۹۲۵
۱۳/۵۰-۱۷/۲۴	۱۵/۴۲	۵	۱۰۵۸	۲۷/۲۷	۲/۷۳۵۶۶	۲۸۹۴/۳۲۲	۴۲/۲۷۷۱
۱۷/۲۴-۲۲/۲۸	۱۹/۸۱	۲	۲۵۶	۶/۵۹	۲/۹۸۶۱۸	۷۶۴/۴۶۲	۵۱/۹۳۶۵
			۱۵	۳۸۸.			۹۸۳۸/۷۵۴
							۱۹۷/۲۴۵۳

۶/۳۷۸ عیار حداقل

= ۲۲/۲۸ عیار حداکثر

$$N = 15 + 5 = 20$$

$$\bar{Y} = \frac{\sum e_i Y_i}{\sum e_i} = 2/535761258$$

$$\hat{m} = e = 12/626$$

$$V = \frac{\sum e_i (Y_i - \bar{Y})^2}{\sum e_i - 1} = 0/05$$

$$G^2 = e^V = 1/0.5219$$

$$G = 1/0.25763956$$

$$\delta = 1/0.25$$

$$\text{عیار متوسط} = \hat{m} \times G = 12/94 \text{ در کل کانسل} = 0.205$$

$$40/0.5 = 0.91625$$

$$I_1 = 40/0.5 \times \bar{Y} = 11/85$$

دامنه تغییرات

$$40/95 = 1/118$$

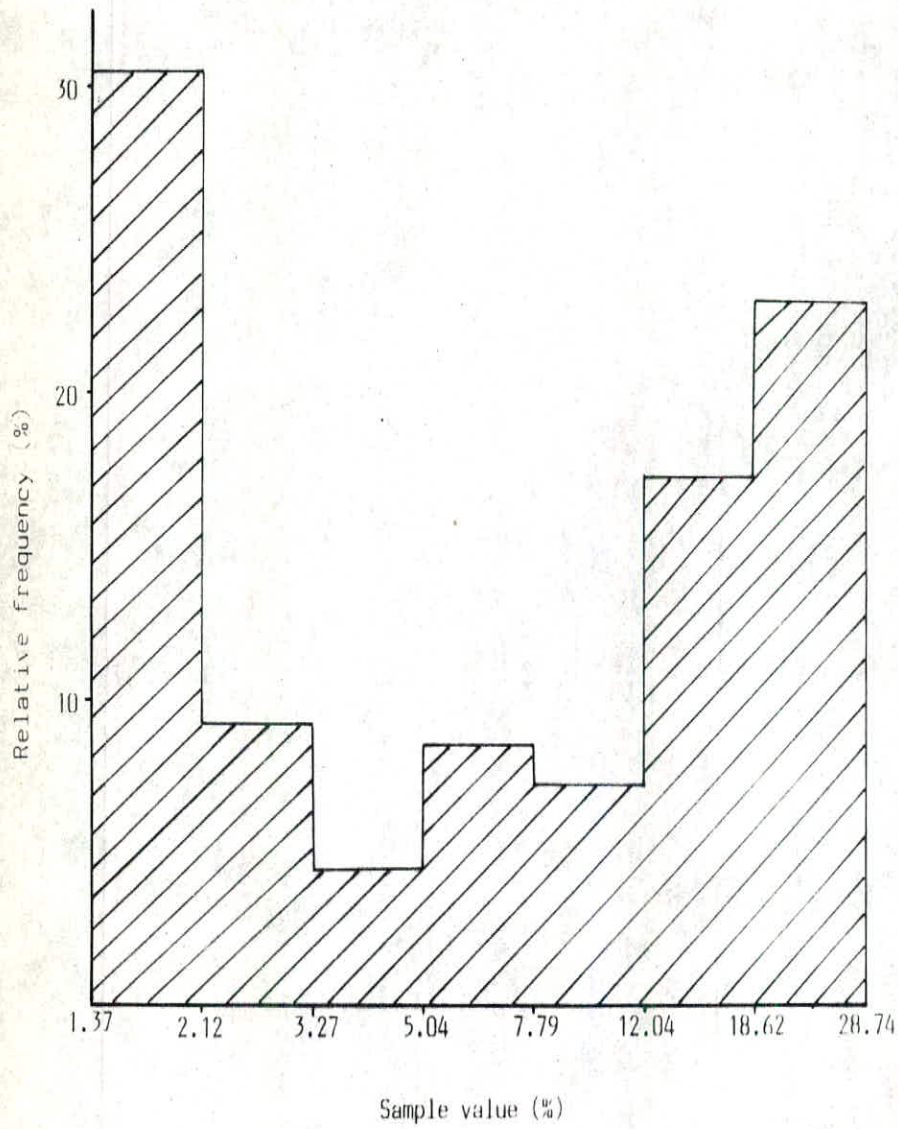
$$I_2 = 40/95 \times \bar{Y} = 14/72$$

$$e_x = \frac{2.6}{\sqrt{N}} \times 100 // \% ۵۳ / \% ۵۲$$

$$e_x = \frac{6}{\sqrt{N}} \times 100 // \% ۲۶ / \% ۲۴$$

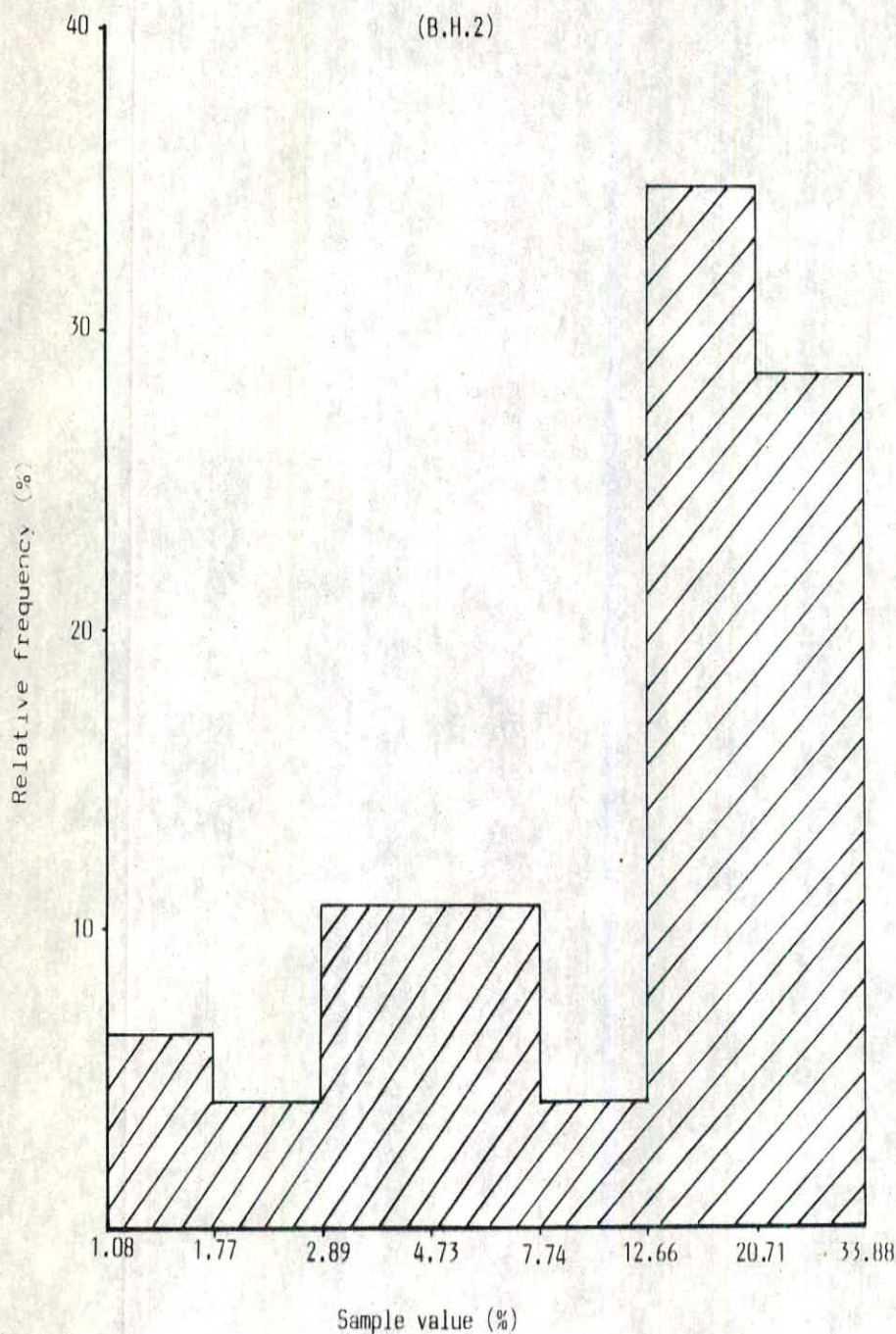
- ۸۴ -

Diagram of grades values  
(B.H.1)



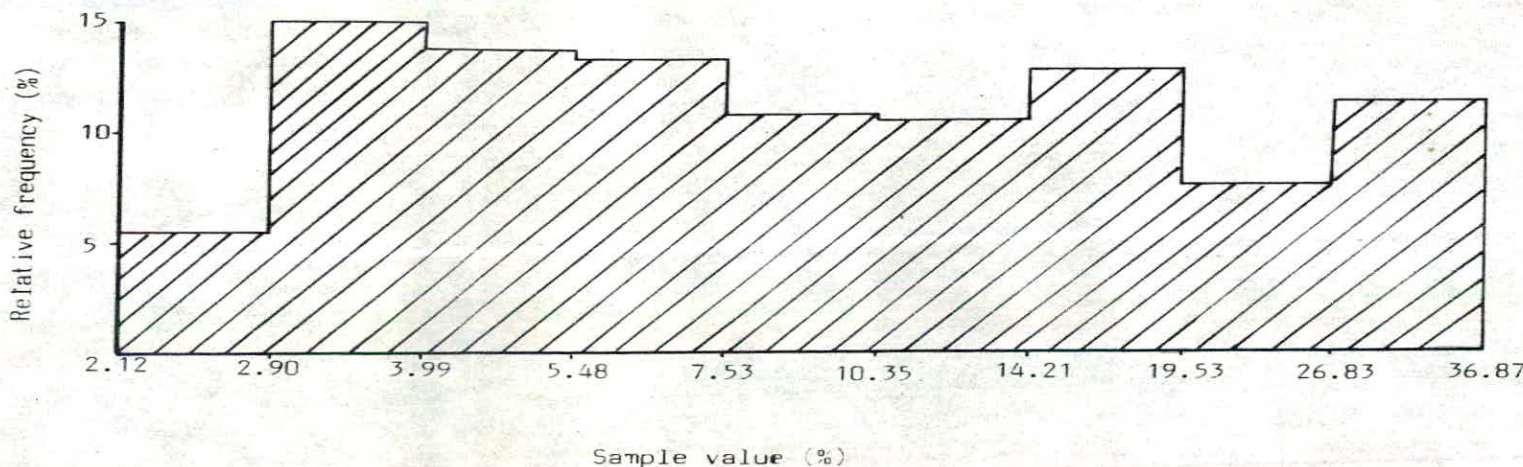
- 18 -

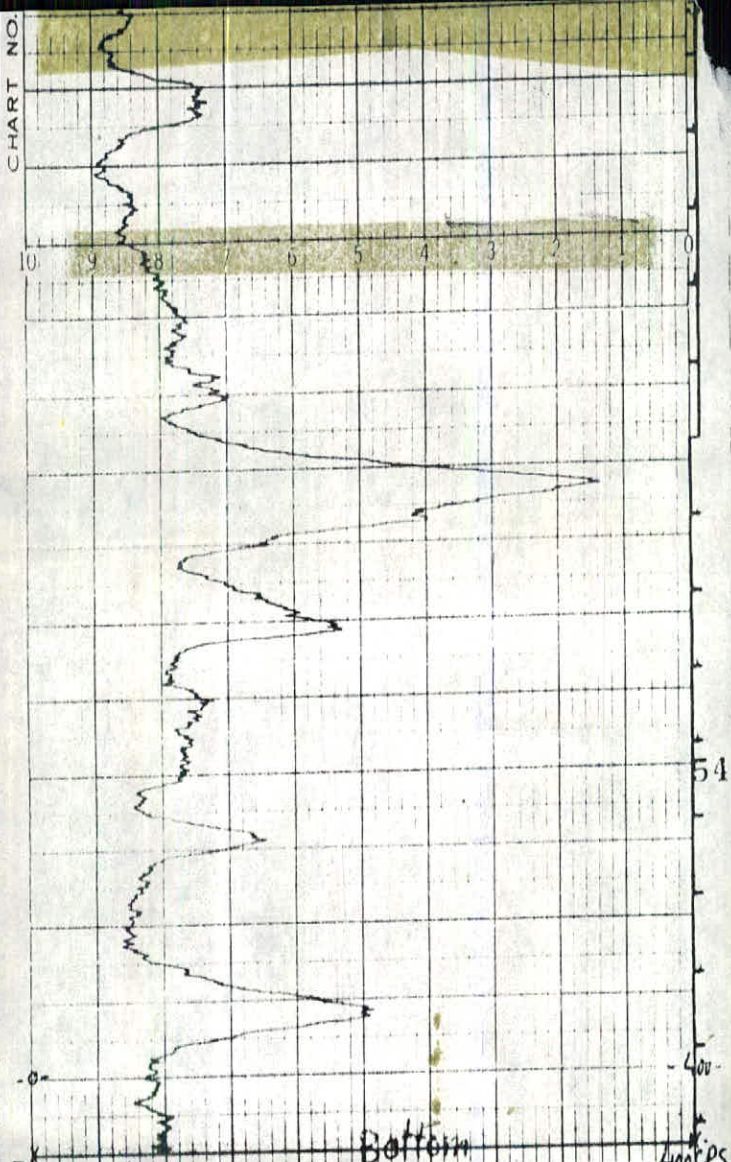
Diagram of grades values



- 86 -

Diagram of grades values  
(B.H.6)





A. E. O. I.

EXPLORATION DIVISION - GEOPHYSICAL DEP. - LOGGING SECTION

Date: 64.6.5 Operators: Ashtiani, Abyaneh

Location: Area: BafQ Location: Esfandi

Elevation 1722 Hole No. B7 (B.H.7)

Logging: Equipment: Exploranium GRL - 2000

Crystal Size (inch): 1.3 x 3 Dead time ( $\mu$ sec). 7 serial No:

O.D. of Probe. 51 mm Spectrometer: GR - 410

Borehole: Drilling depth 75.70 logging depth 59.20

BIT Size/depth: N.B

Casing/depth: - I.D. Casing:-

Drilling fluid: Bentonite fluid level:

Log: Channel: T.C log No: 1

Probe Speed (m/min) 5 Chart speed (cm/min) 8

Vertical scale 11100

Horizontal range (c.p.s): 0-400

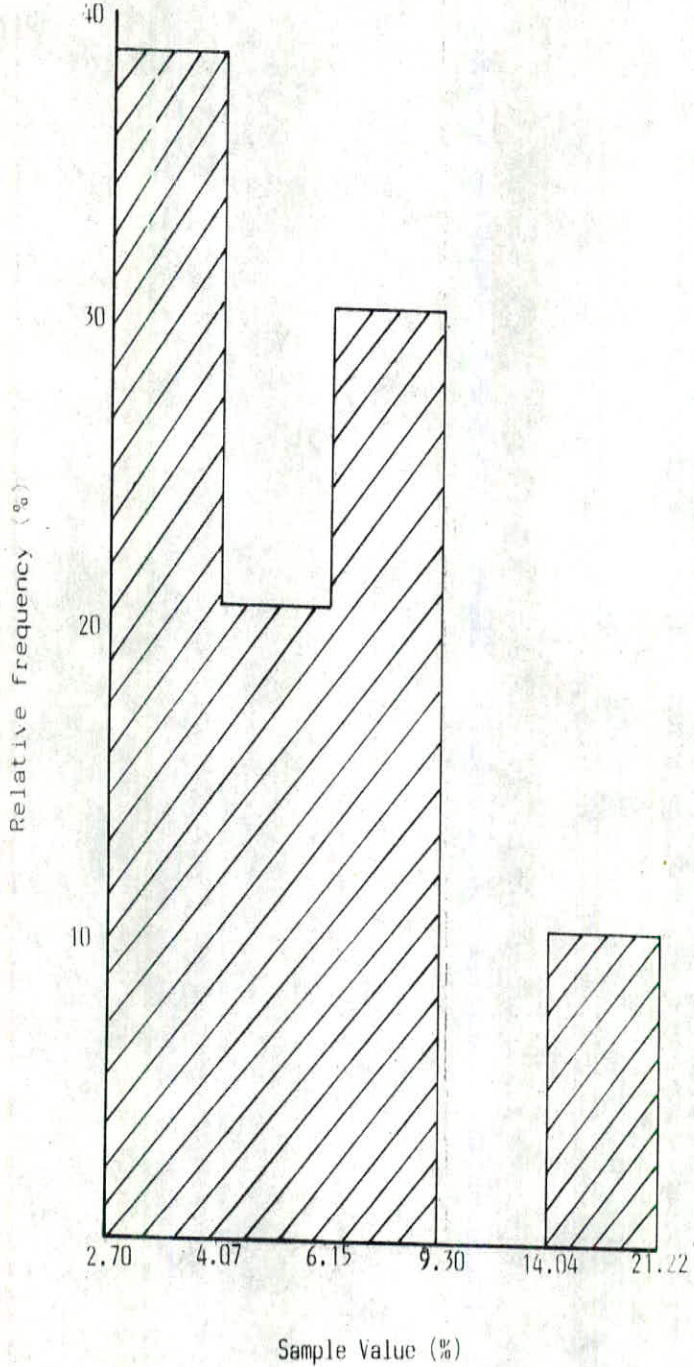
K factor

Range = 4

Remarks:

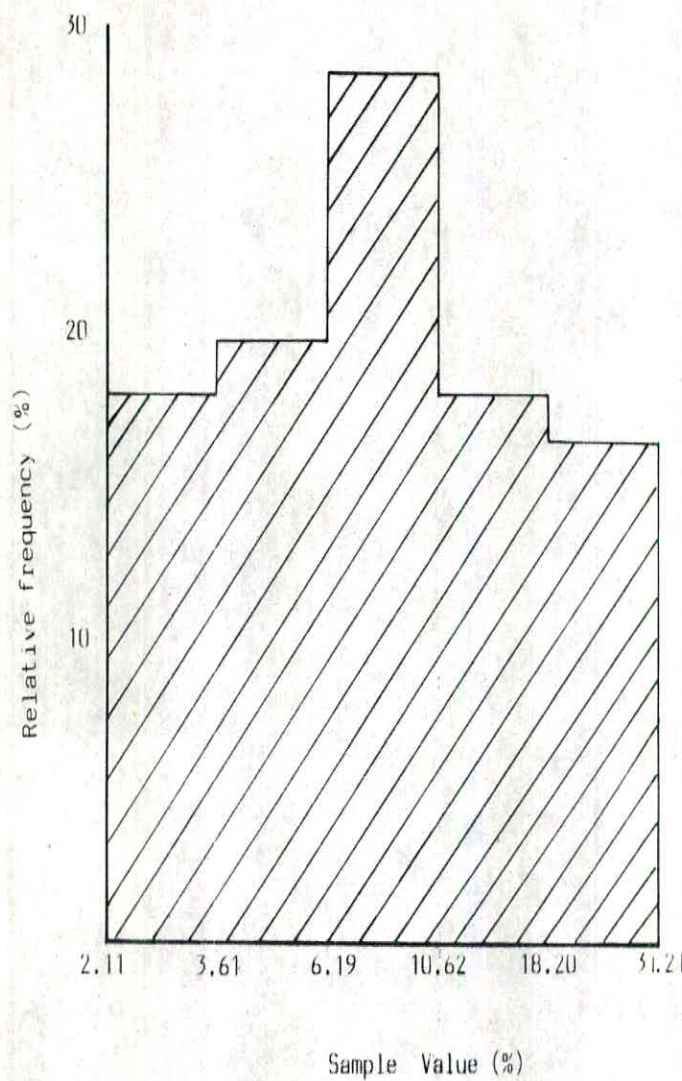
(B.H.7) نتایج چاه پیمایی چاه شماره ۷ (نودار شماره ۶)

Histogram of grades values  
(B.H.7)



-88-

Histogram of grades values  
(B,H,8)



### ۱۳- نتایج پژوهش رئوفیزیکی محدوده کانسار

پژوهش رئوفیزیکی ( زئوالکتریلک و پرتوسنجی ) بمنظور دستیابی به چند هدف پیش‌بینی

و باجرا درآمده است :

۱ - چگونگی کسرش افقهای معدنی در عمق و تعیین نسبی حدود منطقه آغشته .

۲ - ایجاد کارپایه جهت بررسی پتانسیل معدنی آپاتیت در مناطق هم‌جاوار و مشابه .

۳ - بررسی پتانسیل معدنی مواد پرتوزا ( اورانیوم ، توریوم و ... )

از آنجاکه آپاتیت هیچگونه عکس العملی در مقابل روش‌های مختلف رئوفیزیکی نشان

نمیدهد ، روش‌های بکاربرده شده را باید جزء روش‌های غیر مستقیم دانست که طی آن از

خصوصیات فیزیکی مواد مشکله همراه آپاتیت در افقهای معدنی و نیز در سایر سنگ‌ها استفاده

می‌گردد . همراهی آهن ( ماگنتیت ) بعنوان کانی هم‌زاد آپاتیت از جمله عوامل مثبت در بکار-

کیری روش‌های یادشده بوده است .

نتایج بدست آمده از این مطالعات ، حاکی از وجود دنوع آنومالی در محدوده معدنی و

نواحی هم‌جاوار آن می‌باشد : یکی مناطقی با شارژ ابیلیتی ( Chargeability ) زیادتر از

" زمینه منطقه " \* که احتمالاً " با افقهای آهندار مطابقت دارد و دیگر مناطقی با شارژ ابیلیتی "

کمتر از " زمینه منطقه " . بخش‌های شناخته شده حاوی افقهای معدنی آپاتیت دار در محدوده

مناطق اخیر قرار گرفته است . در این بخش‌هاشد مقاومت مخصوص ظاهری سنگ‌ها

( Resistivity ) نیز ، کمتر از " زمینه منطقه " است ، در صورتیکه در سایر بخش‌های این

منطقه ، مقدار آن تفاوت چشمگیری نشان داده و بسیار بیشتر از " زمینه منطقه " می‌باشد .

عملیات پیماش مناطقی محدوده معدنی نیز از نظر روشن نمودن تعدادی از کن tact است .

های ، گسل‌ها و تجمع مواد آهنه حاوی نتایج مثبتی بوده و در محدوده شناخته شده معدنی با نتایج

اکتشافات تفصیلی هماهنگی داشته است . این نتایج همراهی آهن را با آپاتیت تاییدنموده و براین اساس محدوده‌ای جهت عملیات اکتشاف تکمیلی پیشنهاد شده است ( محدوده داخل خطوط ۴۶۰۰ کامادرنچه مغناطیسی ) .

علاوه بر اینها ، مجموعه نتایج بدست آمده از عملیات اکتشاف زئوفیزیک ، نشاندهنده کم عمق شدن افقهای معدنی در بخش‌های شمالی و شمال‌شرقی محدوده بوده است ( این نتایج بعداً " بوسیله اطلاعات بدست آمده از چاههای حفاری مورد تائید قرار گرفت ) .

به پیشنهاد گروه اعزامی زئوفیزیک ، به نظرور بررسی امکان گسترش توده معدنی در قسمت‌های مجاور محدوده شناخته شده ، چاه اکتشافی شماره ۱۰۰ ب عمق ۱۰۰ متر روی نقطه صفر پروفیل ۵۰ شرقی واقع در خارج از محدوده نقشه برداری شده ( شرق محدوده اکتشافی ) حفاری گردید . این چاه که در منطقه‌ای با شارژ ابیلیته کمتر از " زمینه مذطفه " ( مشابه افقهای معدنی آپاتیت دار ) و شدت مقاومت مخصوص ظاهری بیشتر از " زمینه مذطفه " قرار دارد ، فاقد نتایج مثبتی از این نظر بوده است . نمودار حفاری این چاه پیوست گزارش می‌باشد .

در عملیات چاه پیمایی اشعه کاما ، دومشکل عمده بروز کرد : یکی پرشدگی تعدادی از چاههای قدیمی و دیگری تنک بودن قطر چاههای جدید نسبت به قطر دستگاه چاه پیمائی بخصوص در قسمت‌های عمیق‌تر ( در قسمت‌هایی که سرمهنه نوع B<sub>0</sub> × ۱۰<sup>۱۰</sup> دستگاههای حفاری ۱۰۰/۰۰ بکار رفته است ) . درنتیجه این امر ، در کلیه چاههای عملیات انجام نشد و در بقیه کمانه‌های بطور عمده در قسمت‌های سطحی وبامشكلات فراوان صورت پذیرفت . با اینحال ، نمودار ( لک ) چاه شماره ۷۰ ( نشاندهنده نتایج نسبتاً " جالبی است . در این چاه پرتوزائی کلی در حدود ۳۸۰ ضربه در ثانیه از طریق قرائت نقطه‌ای ( Spot reading ) و ۳۴۰ ضربه در ثانیه از طریق نمودار مربوطه ثبت شده است . متساقته بدلایل پیش گفته ادامه عملیات چاه پیمایی در این چاه تا عمق نهائی ، ممکن نگردید . در بقیه چاههای تغییرات قابل

ملاحظه ای مشاهده نگردیده و اعدا ثبت شده بطور عمدی در حد خطای دستگاه می باشد.

نتایج این عملیات، با وجود مشکلات زیادی که در اجرای آن بوجود آمد، نشانده نموده  
آغشته، سکه های این مذکوره به مواد پر توز ابوده و در صورت رفع موانع، بررسی های دقیق تری  
را اطلب می کند.

BaFO Area (Esford) Hole No B7

0

2

3

4

5

6

7

8

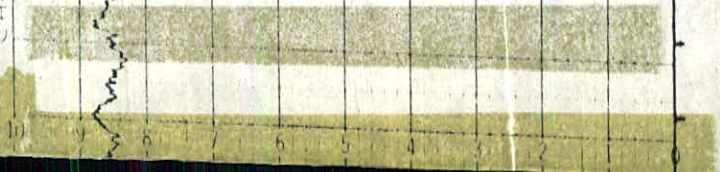
9

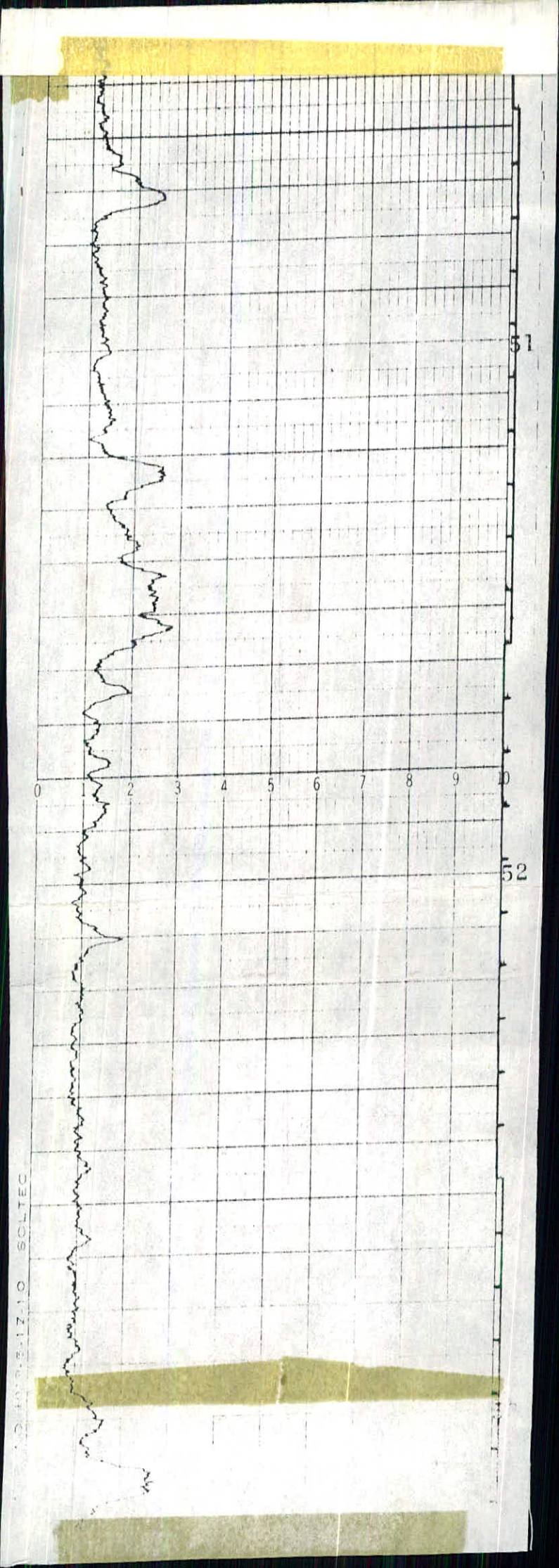
10

19

CHART NO. HVP-5-1 Z-10 SOLTEC

50





#### ۱۴- نتایج پیشرفت مطالعات کانه‌آراثی

مطالعه در این زمینه همزمان با شروع اکتشافات تفصیلی در محدوده معنی (سال ۱۳۶۱)

مورد توجه قرار گرفته است . در این مطالعات که بر روی دو نمونه از سنگ‌های معزف افقی‌ای

معدنی کانه ارسورت پذیرفته، عیار  $\text{Al}_2\text{O}_3$  حدود ۳۰٪ رسانیده شده ولی برای تهیه فلوشیت،

بپود بازیابی و کاهش بیشتر آهن در محصول پر عیار شده، نیاز به آزمایشات بیشتری بوده

است . نتایج آزمایشات در "کراش کانه‌آراثی مقدماتی بر روی آپاتیت اسفوردی، توسط

حبيب استوارت، علیرضا رئیسی و محمدادرستانی، سال ۱۳۶۲" به پیوست کراش اکتشافات

تفصیلی کانسار اسفوردی منتشر شده است . متأسفانه این مطالعات بدليل کمبود امکانات

داخلی اعم از پرسنل کارآمد و وسائل فنی و سرمه آن نداشتند برآمدهای مشخص جهت استفاده

از تکنولوژی خارجی، تاکنون جنبه‌پیکری نداشته و علیرغم برخی تماس‌آباموسسات داخلی و

خارجی کانه‌آرا، ارپیشرفت اندکی برخوردار بوده است . حال آنکه دستیابی به نتایجی قطعی

در این زمینه با توجه به نقش کلیدی آن در حل عده‌ترین مسائل طراحی معدن از قبیل میزان

ذخایر قابل استخراج، میزان باطله برداری، روش آرایش و طراحی کارخانه، حدود سرمایه -

کذاریها و خلاصه آنچه در چارچوب اقتصادی بودن یا نبودن سیکنجد، اهمیتی تعیین کننده دارد.

باتشكیل طرح اکتشاف معدن‌فسادات، طی مطالعات اکتشاف تکمیلی تاکنون دوبار

اقدام به نمونه‌کری از کانسار و ارسال آن به موسسات داخلی و خارجی شده است . هیچ‌کدام از

این نمونه‌ها بطور کامل و قطعی معرف ترکیب متوازن افقی‌ای معنی نمی‌باشند، علت عدمهای

امروز درجه اول ناشی از تغییرات نسبتاً " زیاد عیار افقی‌ای معنی هم در گستره عرضی و هم در

عمق می‌باشد بنحوی که نمونه کیری از قسمت‌های سطحی (ترانشه‌ها) را با خطای زیادی توانم

می‌سازد . این مقاله بخصوص زمانی که برداشت نمونه با تناظر زیاد مدنظر است، مانع عدمهای

\* بمنظور آشنائی با اهداف و مرحله‌کانه‌آراثی سنگ‌سفات، چکونگی فرآیند شیمیائی و

مشخصات محصول پر عیار شده به بخش ضمیمه رجوع شود .

بحساب می آید. تهیه نقشه های تغییرات عیار کانسار طی اکتشافات تکمیلی تاحدودی به حل این مشکل کمک نموده است.

مطالعات کانه آرائی که در مقیاس آزمایشگاهی توسط شرکت بروزیلی پائولو ابیب بر

روی سه نمونه ارسالی بوزن مجموعاً " ۱۲۰ کیلوگرم صورت پذیرفته، حاوی نتایج نسبتاً " مفصل

و امیدوار کننده ای جهت پیگیری امر است . در این مطالعات ، بمنظور امکان بازیابی عنصر

خاکی نادر در فرآیند تغليظ ، تهیه اسید فسفریک از سنگ فسفات آراسته مورد توجه قرار گرفته

است . نتایج کار در کزارش Beneficiation tests of three samples from Esfandi phosphate ore deposit.

بر زبان انگلیسی منتشر و در اختیار طرح قرار گرفته است . نمونه های AP<sub>1</sub> و TAP<sub>1</sub> ارسال شده

جهت آزمایش به ترتیب معرف دایکه ای آپاتیتی وافق اصلی معدنی میباشد ، اما نمونه سوم

(MAI) معرف هیچ کدام از افقه ای معدنی نمیباشد . لذا از شرح خلاصه آزمایشات بر روى این

نمونه معرف نظر میکردد . نمونه AP<sub>1</sub> فقط از نقطه نظر اطلاعات کانی شناسی و شیمیائی

مورد توجه قرار میکردد ، زیرا دایکه ای آپاتیتی علیرغم عیار نسبتاً " زیاد ، در مجموع ذخیره

عمده ای را تشکیل نمیدهد . سه مین خاطر کمبود اطلاعات در مورد افق پر عیار " سنگهای سیز "

حتی در مقیاس آزمایشگاهی ، همچنان احساس میکردد . عملیات انجام شده بر روى این نمونه

ها در شکل ۲-۱ (figur 2-1) نمایش داده شده است .

مشخصات شیمیائی این نمونه به این ترتیب است :

نمونه	P <sub>2</sub> O <sub>5</sub>	CaO	Fe <sub>2</sub> O <sub>3</sub>	SiO <sub>2</sub>	MgO	Na <sub>2</sub> O	K <sub>2</sub> O	Li <sub>2</sub> O	Cl	SO <sub>3</sub>	Al <sub>2</sub> O <sub>3</sub>	Cao	P <sub>2</sub> O <sub>5</sub>
TAP <sub>1</sub>	۱۶/۱	۲۹/۴	۲۰/۵	۲۱/۹	۵/۰۸	۰/۳۴	۰/۰۲	۲/۳۱	۷۲۶/۱۳	۰/۹۹	۲/۸۸	۱/۸۲	
AP <sub>1</sub>	۴/۵۳	۴/۵۴	۷/۲۸	۰/۲۲	۰/۲۹	۰/۰۲	۰/۰۲	۰/۰۲	۰/۰۲	۰/۰۲	۰/۰۲	۱/۴۱	

آزمایشات جدا سازی کانیهای افر مقیاس آزمایشگاهی بر اساس مایعات سنگین و جدا کننده های

الکترو مغناطیسی صورت گرفته است . ترکیب کانی شناسی نمونه های فوق بر حسب درصد

شرح زیر میباشد:

نمونه	Ap	OxI	Cale	Qz	Iale	Trem	Mag	Tl	Anal	Schor	Xen
TAP <sub>1</sub>	۳۹	۱۱	۴	۸	-	۱۵	۱۲	Ir	Ir	۷	-
AP <sub>1</sub>	۸۲	۶	۵	۵	Ir	-	Ir	-	-	Ir	Ap
				= آناتار		= تالک					= آپاتیت
				= Anal		= Trem					= OxI
				= Schor		= ترمولیت					= اکسیدهای آهن
							= Mag				= کلستیت
				= Xen			= ماکنتیت				= Cale
								= Ir			= کوارتز
								= اسفن			= Hz
نمونه AP	بطور عمدۀ از فلور آپاتیت تشکیل شده است . وجود مقدار نسبتاً " کمی کانی										

کربویم در این نمونه باریک و وجود عناصر خاکی نادر را، همراه آپاتیت تائید میکند . نمونه

۱۳۰۰ ( صرف نظر از عبارت  $\text{Fe}_2\text{O}_3 / ۶\%$  ) تقریباً بدون فرآیند تخلیط میتوان در فرآوری تهیه

وتولید اسید فسفریک و کودهای فسفاته بکاربرد .

آپاتیت در این دو نمونه بصورت تجمع بلورهای دانه ریز زاویدار و با ابعاد مساوی مورد

مطالعه قرار گرفته که توسط رشته‌های سطحی کر بناتها و اکسیدهای آهن پوشانیده شده‌اند .

آپاتیت همچنین بصورت بلورهای Subhedral ( منشورهای کوتاه ) حاوی محلولهای

Anhedral و اکسیدهای آهن و کربنات‌های آبایخته شده است .

ترکیب کانی شناسی این نمونه در دانه بندی‌های مختلف در تابلو ۲-۲ ( Table 2-7 )

نمایش داده شده است . همان‌طور که در این تابلو دیده می‌شود، مقدار آپاتیت، ترمولیت و

اکسیدهای آهن به سمت دانه ریز شدن افزایش می‌یابند. کوارتز و کلستیت عملاً ثابت بوده‌اند

حالیکه دیگر کانی‌ای موجود کاوش می‌یابند .

در آزمایشات جداسازی کانیها، آپاتیت بصورت محمول آپاتیت و محمول آپاتیت ۲ با

بازیافتنی نزدیک به ۷۷٪ در محمول نرم‌هه کیری شده، تمرکز یافته است .

محمول آپاتیت ۱، بطور عمدۀ از آپاتیت ( ۸/۸-۳۴-۶۰٪ ) با مقادیر کمتری از

اکسیدهای آهن، کوارتز، ترمولیت و کمی کلستیت تشکیل شده است . مقدار آپاتیت به سمت

TABLE 2.7

TAI SAMPLE - ESTIMATION OF MINERALOGICAL COMPOSITION PER GRANULOMETRIC RANGE

FRACTION (mm)	% MASS		MINERALS (%)								
	RETAINED	ACCUM.	APAT	IRON OX.	CALC	QUAR	TREM	SNDR	TIT	ANAT	MAG
+ 0.297	43.56	43.56	37	11	4	9	11	9	Ir	Ir	15
- 0.297 + 0.218	12.57	56.13	38	12	4	7	16	6	1	Ir	17
- 0.218 + 0.149	7.39	63.52	38	12	4	8	15	6	1	Ir	15
- 0.149 + 0.074	18.39	73.91	41	18	4	8	17	4	1	Ir	15
- 0.074 + 0.037	9.65	83.56	43	18	5	8	28	3	Ir	Ir	10
- 0.037 + 0.018	9.84	93.48	46	12	5	7	23	3	Ir	Ir	5
TOTAL	93.48	...	39	11	4	8	15	7	Ir	Ir	14

دانه ریز شدن افزایش یافته در حالیکه میزان آغشته‌گی هاکاهش می‌یابند. کانیهای مراحم

املی  $\text{CaO}_{\text{Fe}_2\text{O}_3}$  اهستند. با لابودن نسبت  $\frac{\text{CaO}}{\text{Fe}_2\text{O}_3}$  در این محصول ناشی از مقدار اضافی

(ال) است که در خارج از ترکیب آپاتیت وجود دارد. این کانیهای بیشتر در بخش‌های دانه درشت

تمرزدارند و به سمت دانه ریز شدن کاهش می‌یابند.

محصول آپاتیت ۲ شامل ۱۹-۲۸٪ آپاتیت با نسبت  $\frac{\text{CaO}}{\text{Fe}_2\text{O}_3}$  با لاست. کانیهای املی

مراحم در این محصول  $\text{TiO}_2$  و  $\text{Fe}_2\text{O}_3$ ،  $\text{SiO}_2$  و  $\text{CaO}$  (خارج از ترکیب آپاتیت)

می‌باشد. این محصول بطور عمده از آپاتیت و اسفن و بمیزان کمتر اکسیدهای آهن و اکتاادریت

تشکیل شده است. کوارتز و ترمولیت نیز به میزان ناچیزی یافت می‌شوند. مقدار آپاتیت بسمت

دانه ریزشدن افزایش یافته، حال آنکه دیگر آغشته‌گی هاکاهش می‌یابند. آپاتیت موجود در

آپاتیت ۲ اساساً همان مشخصات آپاتیت ۱ را دارد و فقط مقدار پوشش سطحی اکسیدهای

آهن افزایش میابد.

محصول جداکننده های مغناطیسی اساساً "ازماگنتیت با مقادیر کمتری شورلومیست (آندرادیت غنی ارتباتانیوم) تشکیل شده است. در این محصول کوارتز و آپاتیت بصورت دانه های آمیخته با مگنتیت حضور دارند. این محصول همچنین شامل مقداری باطله سنگین میباشد که بطور عمدی از آهن و ترمولیت با مقادیر کمتری کوارتز، شورلومیست و آپاتیت تشکیل شده است. کلیت نیز به نسبت کمی پیدا میشود. آزمایشات فلوتاسیون شامل آزمایشات مقدماتی و تکمیلی بوده است. در مرحله آزمایشات مقدماتی، چندین آزمایش فلوتاسیون اضافی با استفاده از مناسبترین معرفه بر عمل آمده است. با توجه به اینکه این آزمایشات بر روی نمونه  $TAP_1$  بهترین نتایج را در بر داشته، آزمایشات تکمیلی در چند مرحله و در مداری پیوسته به اجرای کذاشته شده است مراحل مختلف این آزمایشات در شکل شماره ۳۰۱۵ (Figure ۳۰۱۵) بهنمایش کذاشته شده است.

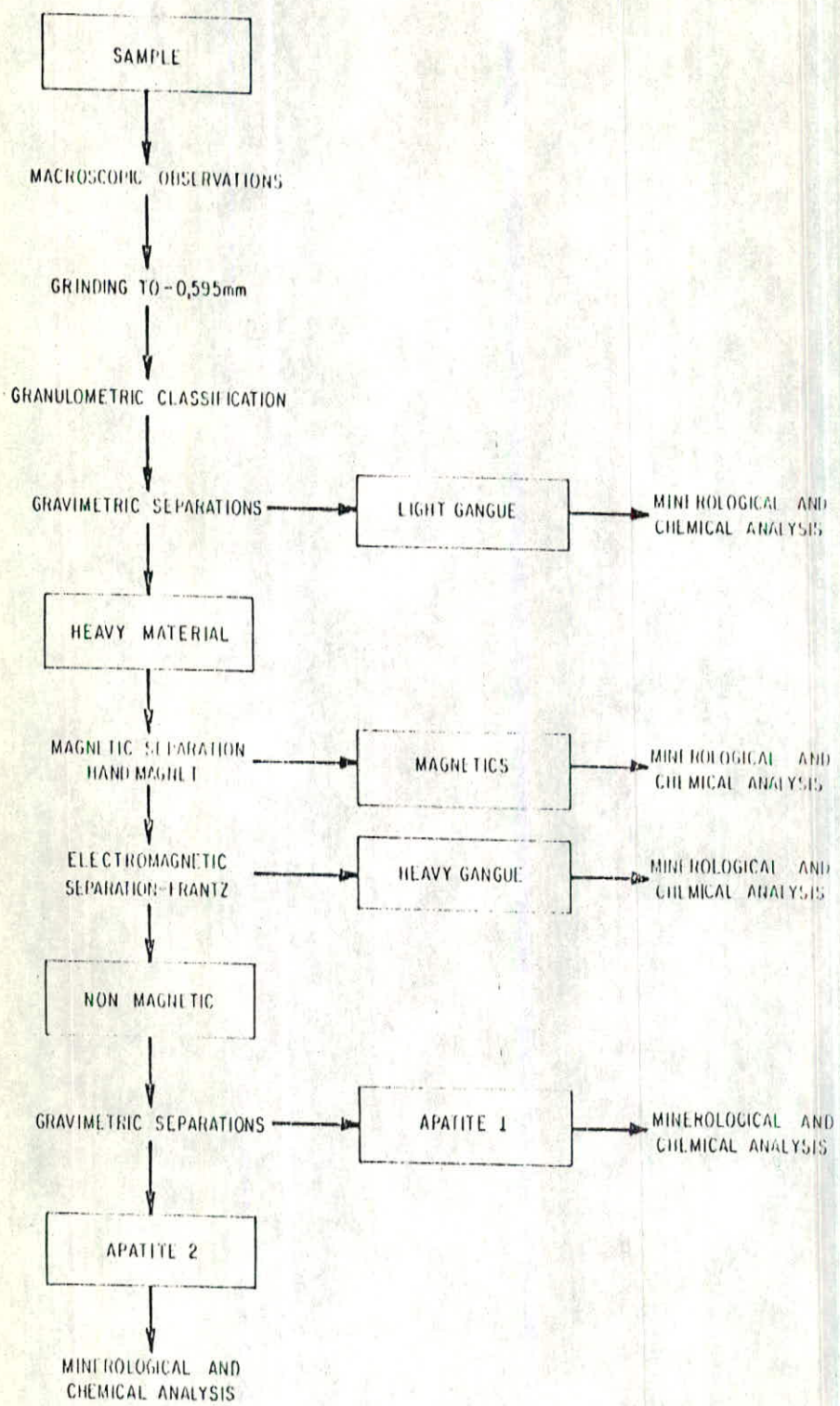
ارزیابی نتایج عملیات پیوسته در مورد نمونه  $TAP_1$  بشرح زیر است:

نمونه	% Mass recovery	% $P_2O_5$	% $P_2O_5$ recovery
$TAP_1$	۲۴	۳۸	۸۰

این اعداد هنگامی دارای ارزش واقعی هستند که در آزمایشات پیوسته در مقیاس پایلوت مورد تایید قرار گیرند.

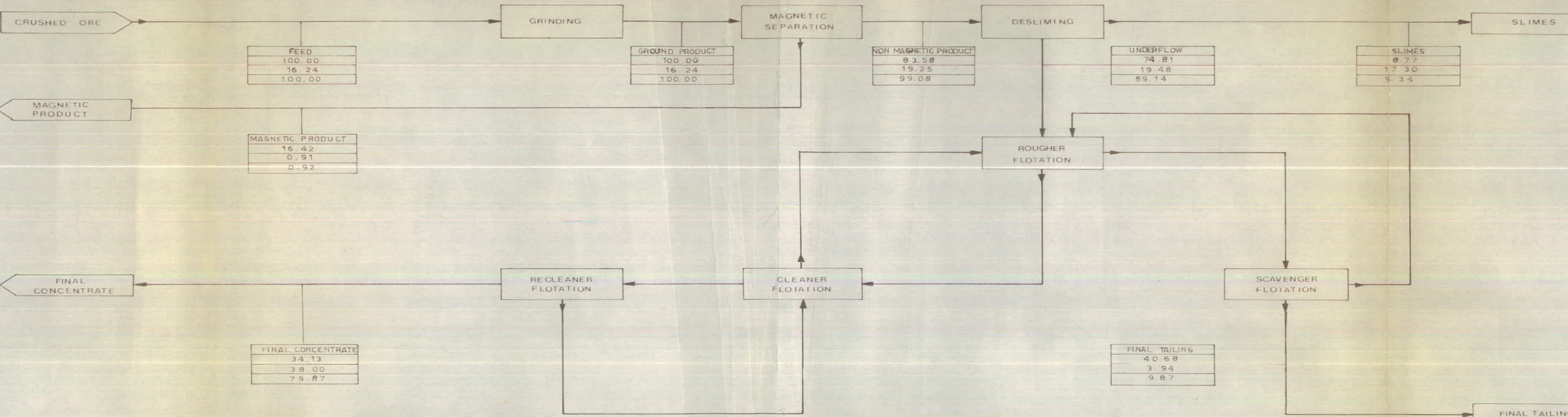
از آنجاکه در عملیات چاه پیمایی اشعه کاما در محدوده معنی اسفوردی، علیرغم مشکلات بوجود آمده، آگشتگی سنگهای منطقه و بخصوص افقهای حاوی آپاتیت به عنamsr پرتوزا (رادیواکتیو) به اثبات رسیده، موضوع استحصال این عناصر نیز همانند خاکهای نادر در فرآیند کانه آرائی باید مورد توجه قرار گیرد.

FIGURE 2.1  
DIAGRAM OF EXPERIMENTAL PROCEDURE



## LEGEND

PRODUCT
% MASS
% P <sub>2</sub> O <sub>5</sub>
P <sub>2</sub> O <sub>5</sub> REC. (%)



PAULO ABIB ENGENHARIA S.A.  
AREA ESFORDI  
TITLE PROCESSING CIRCUIT FOR  
TAPI SAMPLE

FIGURE 3.15

### ۱۵- اشاره‌ای گذرانه نتایج مطالعات مقدماتی فنی - اقتصادی

براساس نتایج بدست آمده از اکتشاف نفیلی کانسار اسفوری و به منظور بررسی امکان

ادامه عملیات اکتشافی «مطالعات مقدماتی فنی - اقتصادی در چارچوب طرح اکتشاف معدنی

فسفات ساجرادر آمده است . نتایج این مطالعات در "گزارش بررسی امکان پذیری مقدماتی

کانسار فسفات اسفوری" جمعبندی و منتشر شده است .

در گزارش مذبور، با توجه به مورفولوژی و نیز میزان ذخایر قابل استخراج کانسار،

بررسیهای جامعی از چگونگی معدنکاری، تجهیزات موردنیاز، ظرفیت و عمر معدن، کانس-

ارآثی و کارخانه‌آرایش، نیازهای آب و برق و ارتباطات، میزان سرمایه‌گذاری و تحلیل اقتصادی

بعمل آمده و برنامه کارآئینده، ارائه شده است . از عمدترین مسایلی که در این گزارش مورد

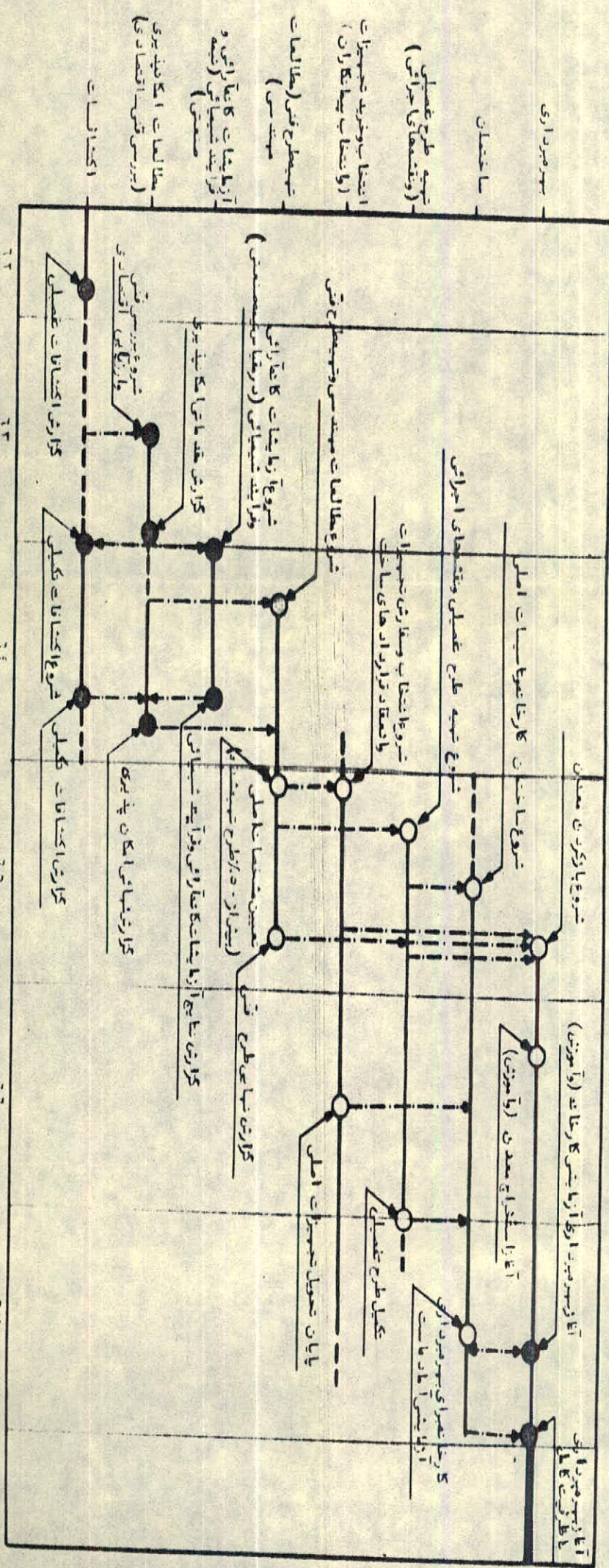
تاكيد قرار گرفته، تسریع در آزمایشات کانه‌آراثی افقهای معدنی به منظور تعیین قابلیت

استفاده از کانسار و انجام ارزیابی نهائی فنی - اقتصادی میباشد .

در جمعبندی نتایج " با حمول اطمینان از سودبخشی طرح ۳۰۰۰، ادامه عملیات مورد

توصیه قرار گرفته " و نواقص کارگوشزد شده است .

برنامه فعالیت‌های طرح احداث محظوظ مدنی نعمت‌الله‌دی



#### ۱۶- نتیجه گیری و پیشنهادات

در گزارش مقدماتی فنی - اقتصادی کانسار اسفوردی، استخراج افقهای معنی بصورت رو باز و با استفاده از چندین پله در نظر گرفته شده است . ضخامت کم سنگهای پوششی همراه با رخنمون افقهای معنی در قسمتی از محدوده کانسار، از جمله عوامل مثبت در معدنکاری آن بصورت رو باز میباشد .

کرچه هنوز نسبت باطله برداری سرسری (Break-even stripping ratio) تعیین نشده، ولی با توجه به نسبت باطله برداری کلی بدست آمده (۱:۷/۰)، باید انتظار داشت این نسبت چندان از حدود فوق تجاوز نخواهد کرد . ضخامت کم سنگهای پوششی در بخش‌ای ممددهای از کانسار، کاهش نسبت باطله برداری را در سالهای اولیه استخراج، بندحی که از نظر هزینه سقوط بصره داشد، ممکن می‌سازد .

عیار ماده معنی در مجموع نقش دوگانه ای ایفا می‌کند . با لا بودن عیار در بخش‌ای با ضخامت کم باطله، از طرفی عامل مثبتی در استخراج ماده معنی بویژه در سالهای اولیه محسوب می‌شود . ولی از طرف دیگر، تغییرات نسبتاً " زیادآن بخصوص در افق پر عیار " سنگهای سیز " معدنکاری را اشکلات زیادی روی رساند . خود سنگهای باطله نیز حاوی مقادیری ماده معنی است . این نسبت در کل سنگهای باطله بیمیزان  $5\% - 15\%$  محاسبه شده، ولی در بعضی قسمت‌ها تمثیلی بمراتب بیشتر نشان میدهد . نرم بودن این سنگهای در قسمت‌های سطحی عامل مساعدی در باطله برداری واستخراج محسوب می‌شود .

باتوجه به مسائل مطروده، لزوم هرچه سریعتر کانه‌آرائی افقهای معنی همچنان احساس می‌گردد . در این زمینه بهتر است کانه‌آرائی افق پر عیار " سنگهای سیز " بطور جداگانه نیز مورد توجه قرار گیرد، زیرا در صورت حل آن، کانه‌آرائی مجموعه سنگهای معنی با مشکل عمده‌ای سواجه نخواهد بود .

آشناسی حوفه کانس ارنبراز جمله مدلی است که روش نمودن آن به آینده موكول

میگردد . در ارتباط با منطقه کانس ارنبراز پیشنهادات زیر مطرح میگردد :

۱ - پیکردنی و اکتشاف مقدماتی کانس ارنبراز مشابه احتمالی، با استفاده از نمونه " اسفوری " و

سرنخهای بدست آمده از چکونکی روندهای کانس ارنبرازی منطقه . در این زمینه ، مطالعه کارهای

اکتشافی انجام شده پیرامون کانس ارنبراز آهن منطقه ضروری است .

۲ - تعیین دستور العمل اکتشافی و مشخص نمودن حداقل کلاس ذخایر ( تعیین نسبت معین بیان

ذخایر منعی ) ، بر اساس نتایج بدست آمده از نمونه " اسفوری " ، برای کانس ارنبراز مشابه .

۳ - مطالعه دقیق تر شبکه شکستگیهای مناطق مشخص شده برای اکتشافات مقدماتی و تفصیلی

بنظور تعیین ارتباط آنها با مورفولوژی کانس ارنبراز .

١٧ - بخ - ش فمیه

– اهداف و مراحل کانه آرایی سنک فسفات، مشخصات محصول پر عیار شده و چگونگی فرآیند شیمیائی تهیه اسید فسفریک و کودهای سوپرفسفات

هدف مطالعات کانه آرایی سنک فسفات، یافتن روش‌های اقتصادی است که طی آن محصول پر عیار شده در مقیاس صنعتی را بتوان در تهیه و تولید اسید فسفریک، انواع کودهای سفید و سبزهای دیگر مورد استفاده قرارداد. این مطالعات دو مرحله کیفی را شامل می‌شود: مرحله اول، مطالعات کانه آرایی در مقیاس آزمایشکاهی است که بخش عمده‌ای از آن در مداری ناپیوسته انجام می‌کیرد.

مرحله دوم، مطالعات کانه آرایی در مقیاس پایلوت (Pilot) است. در واقع پایلوت مدل کوچکی از کارخانه آرایش آینده می‌باشد که طی آن در مقیاس کوچکتر، فرآیند تولید محصول و میزان بازیافت آن به آزمایش کذاشته می‌شود.

مشخصات فیزیکو شیمیائی سنک‌های معدنی و عنصر مفید و مضر همراه از یک سو و مشخصات

محصول نهایی مورد نیاز از سوی دیگر نقش مهمی در تعیین اهداف و چگونگی رسیدن به آن دارد.

در مطالعات کانه آرایی سنک فسفات اسفوردی، بمنظور امکان بازیابی عنصر خاکی نادر در فرآیند تغییلیت، تهیه اسید فسفریک از سنگ فسفات آر استه (محصول پر عیار شده) هدف قرار گرفته است. مشخصات محصول پر عیار شده سنک فسفات در نامه شماره ۴۲/۳۲/۷۷ مورخ

۱۳۶۳/۱۱/۶ شرکت ملی منابع پتروشیمی بنحو زیر اعلام شده است:

۱- مشخصات شیمیائی سنک فسفات برای تهیه اسید فسفریک

<u>درصد وزنی</u>	<u>ترکیب</u>
حداقل٪۲۰	P <sub>2</sub> O <sub>5</sub>
٪۵ " "	SiO <sub>2</sub>
حداکثر ۴	Al
(٪۰/۰۴ ٪۰/۰۴) " "	Tl

درصد وزنی ترکیب

حداکثر / ۵ MgO

۳ "  $\text{Ca}_2\text{O}_3 + \text{Al}_2\text{O}_3$

۱ " C

بهتر است نسبت  $\text{Ca}_2\text{O}_3/\text{P}_2\text{O}_5$  حدود ۱/۵ باشد و میزان  $\text{Al}_2\text{O}_3$  بیش از ۱۰٪ تجاوز نکند سپس

در خرد کردن سنگ و فعل و انفعال، اشکال ایجاد می‌کند.

## ۲- مشخصات شیمیائی سنگ فسفات برای تهیه سوپرفسفات ساده

درصد وزنی ترکیب

حداقل ۴۰%  $\text{P}_2\text{O}_5$

حداکثر ۱۰%  $\text{SiO}_2$

۴ " ۱

۳ "  $\text{Ca}_2\text{O}_3 + \text{Al}_2\text{O}_3$

در این نامه همچنین بمنظور بازیابی عنصر خاکی نادر، تولید اسید فسفریک از سنگ

فسفات آراسته مورد توجه قرار گرفته است.

فرآیند شیمیائی تهیه اسید فسفریک با استفاده از اسید سولفوریک و تاثیر آن روی سنگ

فسفات آراسته، صورت می‌پذیرد، جهت استعمال عنصر خاکی نادر کانسرو بمنظور

جلوگیری از جذب اکسید این عنصر توسط سولفات کلسیم ( $\text{Ca}_4\text{O}_4$ ) حاصل از این فرآیند

سنگ فسفات آراسته راقیلا" تحت تاثیر اسید نیتریک قرار میدهدن. سنگ فسفات آراسته

مخلوط شده با اسید سولفوریک را چند روز بحال سکون باقی می‌کنند تا فعل و انفعال کامل

شود، سپس آن را خشک نموده و به دانه‌های ریز تبدیل می‌کنند و پس از آن بندی بمصرف کشاورزی

می‌رسانند.

-۱۰۶-

تقسیم‌بندی زنکوف (Zenkov) در مورد تغییر مشخصات کانسار (عیار، وزن مخصوص، خامت، ۰۰۰)

گروه الف	تغییرات صاف، منظم و مداوم
گروه ب	تغییرات صاف، نامنظم و مداوم
گروه ج	تغییرات پلهای، منظم و متناسب
گروه د	تغییرات پلهای، نامنظم و متناسب

استخراج از جزو درسی اصول پی جوئی و اکتشاف منابع معدنی

(جلد دوم)، تالیف حسن مدنی

کزوه‌بندی (کانگوری) برآورد ذخایر معدنی براساس سیستم شوروی

ذخایر کروه ۱	ذخایر استخراجی معدن	ذخایر صنعتی	خطا % ۲۰-۱۵
ذخایر کروه ۲	مورداستفاده جهت تخمین مخارج معدن و طرح توسعه	ذخایر صنعتی	خطا % ۳۰-۲۰
ذخایر کروه ۳	مرحله توسعه طرح‌های طویل - المدت و تدوین پژوهه اکتشاف تفصیلی	ذخایر صنعتی	خطا % ۶۰-۳۰
ذخایر کروه ۴	مرحله پی جوئی	ذخایر زمین‌شناسی	خطا % ۹۰-۶۰

استحکام یا مقاومت فشاری متوسط برخی سنگها (۶۰)

ردیف	کروسنگ	نوع سنگ	کیلوگرم برسانتنی- مترمربع
۱	فوق العاده مستحکم	دیاباز - بازالت - کوارتزیت های مقاوم	۲۰۰۰ تا ۲۰۰
۲	خیلی مستحکم	کوارتزپورفیری - کوارتزیت - کرانیت های مقاوم ماشه سنگهای محکم - چرت - سنگهای آهکی محکم	۲۰۰۰ تا ۱۲۰۰
۳	مستحکم	کرانیت - رکدهای فلزی - سنگهای آهکی و ماسدای - ماکنتیت - هماتیت - کنکلومرا	۱۲۰۰ تا ۲۵۰
۴	نسبتاً مستحکم	کانهای آهن - ماشه سنگهای معمولی و متورق سنگ آهک معمولی - شیل ماشه دار	۷۵۰ تا ۵۰۰
۵	نیمه مستحکم	شیل های معمولی - کنکلومرا نرم مارنهای متراکم	۵۰۰ تا ۳۰۰
۶	نسبتاً نرم	شیل های نرم - آهکهای نرم - نمک سنگ ژیپس - گچ	۳۰۰ تا ۱۵۰
۷	نرم	سنگرس سبل	۱۵۰ تا ۹۰
۸	ذاکی و شل	خاک روینی سطح زمین - آلوویال - شنای ریزو ماشه	۹۰ تا ۴۵

اقتباس از کتاب آتشباری در معدان تالیف دکتر مهندس اردشیر افروز

#### ۱۸- منابع مورد استفاده

- ۱- گزارش بررسی امکانپذیری مقدماتی (توجیه فنی - اقتصادی) کانسارفسفات اسفوردی، کیکاووس امینی، هرمنا صربنیا، اردیبهشت ۱۳۶۴
- ۲- اکتشافات تفصیلی کانسار آپاتیت اسفوردی، منصور صبیمی نمین، نامرجاع بدبیان به همکاری علیرضا باباخانی، سال ۱۳۶۲، سازمان زمین شناسی کشور
- ۳- گزارش راجع به اکتشاف مجدد سنگ آهن چفارت، جلد اول، توسط کارشناسان شوروی گروه زمین شناسی بافق - ترجمه بفارسی غلامرضا نعیم آبادی، سال ۱۹۷۶، شرکت ملی فولاد ایران
- ۴- خلاصه‌ای از اصول و روش‌های تخمین ذخایر کانسار، بهرام سامانی، مرداد ماه ۱۳۶۴، سازمان انرژی اتمی ایران\*
- ۵- پتروکرافی و زئوژیمی کانسار آهن - آپاتیت اسفوردی، توسط علیرضا باباخانی (گزارش منتشر نشده)
- ۶- نتایج مطالعات میکروسکوپی نمونه‌های سنگ شناسی اسفوردی، توسط علیرضا باباخانی (گزارش منتشر نشده)
- ۷- گزارش اکتشافات ژئوفیزیک منطقه اسفوردی، هارون نیکلاس، علی محمدجو آبادی، محمد رضامدیق فر، اردیبهشت ۱۳۶۴، سازمان زمین شناسی کشور
- ۸- گزارش نتایج عملیات چاه پیمایی اشعة کامادر کانسار اسفوردی، عباس رضایی آشتیانی، اسفند ماه ۱۳۶۴، واحد اکتشاف بخش ژئوفیزیک سازمان انرژی اتمی ایران
- ۹- گزارش اکتشاف تفصیلی آبشناسی منطقه حسن آباد بافق، جلد اول، متن گزارش ترجمه و تنظیم توسط امور اکتشافات شرکت ملی فولاد ایران، تهران ۱۳۶۴
- ۱۰- خلاصه‌ای از گزارش مقدماتی اکتشاف آب در دره به اباد (بافق)، ترجمه و تلخیص توسط

- ۱۰- محمدرضا محوی ، ۱۳۶۴- شرکت ملی فولاد ایران
- ۱۱- بررسی فسفات بافق " آسفوردی " ، دکتر علی درویش زاده ، مندرج در نشریه دانشکده علوم دانشگاه تهران
- ۱۲- ماهنامه های آهن ، شماره های ۷ و ۸ و ۹ و ۱۰ و ۱۱ و ۱۲ سال ۱۳۵۴
- ۱۳- اصول پی جوشی و اکتشاف منابع معدنی ، جلد دوم ، حسن مدنی ، دانشگاه صنعتی امیرکبیر ، ۱۳۶۴
- ۱۴- حفاری در معدن ، دکترا امانلو ، دانشکده معدن دانشگاه صنعتی امیرکبیر
- ۱۵- معادن سطحی ، دکترا امانلو ، دانشکده معدن دانشگاه صنعتی امیرکبیر
- ۱۶- آزمون ذخایر معدنی ، دکتر ریعقوب پور ، انتشارات دانشکده فنی دانشگاه تهران
- ۱۷- خلاصه کارش بررسیهای زمین شناسی ناحیه بیابانک - بافق ( ایران مرکزی ) ، پتروکرافی و تکنونیک پی سنگ پره کامدربین و پوشش رسوبی آن ، عبدالعظیم حقی پور ، سازمان زمین
- ۱۸- کزارش زمین شناسی منطقه زریگان ، عبدالعظیم حقی پور ، ۱۳۶۴ ، سازمان زمین شناسی - کشور
- ۱۹- بحثی پیرامون زمین شناسی پره کامدربین ایران ، عبدالعظیم حقی پور ، ۱۳۶۲ ، سازمان زمین شناسی - کشور
- ۲۰- کشف ماکماتیسم کربناتیتی و پدیده های همراه آن در ایران مرکزی و ارتباط آنها با کانسارهای منطقه بافق - ساغند ، بهرام سامانی ، امور اکتشاف سازمان انرژی اتمی ایران ، سال ۱۳۶۴
- ۲۱- دیباچه ای بر زمین شناسی ایران ، تالیف محمدحسن نبوی ، سازمان زمین شناسی کشور
- ۲۲- فرهنگ چینه شناسی ایران ، سازمان زمین شناسی کشور ، ۱۳۴۹

۲۳- شرایط طبقه بندی (تعیین کاتگوری) ذخایر ذغال سنگ، متداول در شرکت ملی فولاد ایران

۲۴- روش‌های دستی در تعیین محدوده نهائی معادن روباز، توسط فرزان رفیعی، کارشناس

دفتر طراحی معادن شرکت ملی فولاد ایران

۲۵- کزارش کانه‌آرائی مقدماتی بر روی آپاتیت اسفوردی توسط حبیب استوارت، علیرضا-

رئیسی، محمدواردستانی، سازمان زمین‌شناسی کشور

۲۶- اکتشاف مقدماتی رخمنون آپاتیت در منطقه بافق- رباط پشت بادام، ناصر عابدی‌ان،

محمدعلی صائم، محمود آبشاهی، خرداد ماه ۱۳۶۲، سازمان زمین‌شناسی کشور

۲۷- کانی شناسی، تحقیق درباره بعضی از کانیهای جزیره هرمز، دکتر عبدالکریم قریب، تهران،

سپرمه ۱۳۶۵

۲۸- نکته‌ها و بیچیدگی‌هایی از زمین‌شناسی منطقه انارک - خور- جندق (ایران مرکزی)، محمد-

حسن نبوی، عبدالرحیم هوشمذرا ده، بهاء الدین حمدی، بهمن ماه ۱۳۶۲، سازمان زمین-

شناسی کشور

۲۹- سنگ‌شناسی، جلد اول، فریدون سرابی، اسد ایران پناه، سیروس زرعیان

۳۰- مبانی زمین‌شناسی، ابروچف، ترجمه دکتر عبدالکریم قریب، انتشارات خوارزمی

31-Recognition of uraniferous provinces from the precambrian of IRAN,

By: Bahram-e-Samani, Aug. 1984, Energy organization of IRAN.

32-Iron ore deposits in central Iran in relation to structural geology and metamorphism(scapolitization and albitization), By A.Haghip-

our, Geological survey of IRAN.

33-Geology of the Posht-e-badam, Saghand area(East-central Iran), A.Ha-

ghipour and G.Pellissier 1968, Geological survey of IRAN.

- 34-Beneficiation tests of three samples from Esfordi phosphate ore deposit, paulo abib engenharia S.A.
- 35-Geological map of the Biabanak-Bafq area, by A.Haghipour, 1:500000
- 36-Report on results of search and exploration for underground waters in the Ghotrum Valley, Bafq 1977, National Iranian steel corporation.
- 37-Report on results of hydrogeological work in the senjatk area, Bafq-1977, National Iranian steel corporation .
- 38-A course of mineralogy, A.Betekhtin, Moscow, Peace publishers.
- 39-Studies of mineral deposits, V.I.Smirnov, A.I.Ginzburg, V.M.Grigoriev, G.F.Yakovlev, Mir publishers, Moscow.
- 40-Geology of mineral deposits, V.I.Smirnov, Mir publishers, Moscow.
- 41-Safety in opencast mining, N.Melnikov, M.Chesnokov, Mir publishers, Moscow.
- 42-Apatite, Its crystal chemistry, mineralogy, Utilization and Geologic and Biologic occurrences, D.Mc.connell.
- 43-Fission track dating of an apatite crystal from Hormuz island, IRAN , A.J.Hurford, H.R.Crunau and J.Stöcklin .

	% porosity	True specific gravity g/cm <sup>3</sup>	Compressive strength Kgf/cm <sup>2</sup>	Rupture Point Kgf/cm <sup>2</sup>
Main horizon	4-8	3.36	473-685	7484-12700
Low-grade horizon	7-9	2.86	263-492	7711-16329

Morphologically, ore deposit in elongated form with relatively high changes in thickness is considered. According to the results of drilling, the thickness of ore body changes between 7.9 to 75.2 meters.

Changes in P<sub>2</sub>O<sub>5</sub> grades also are relatively frequent, both in widespread and depth (between 5-33% P<sub>2</sub>O<sub>5</sub>).

Reserve estimation is based on morphology of ore deposit and logging data concluded in polygonal method.

Reserves estimated for two apatitic horizons and also for total ore body are following:

	reserves (tonne)	average grade %
Main horizon	4773800	17.02
Low-grade horizon	3710000	7.42
Total of two horizons	8443800	12.14

Exploitation of ore deposit have taken into consideration by way of open cast mining on which the overall stripping ratio is 0.7:1.

Overburden, mainly composed of low-grade pyroxenite complex and also rhyolites which in parts containing apatite veinlets.

Ore dressing studies, simultaneously have taken into consideration with detailed exploration. In these studies ore dressing of each horizon, and also totally have studied and containing positive results in batch-scale.

films, and formed in anhedral or subhedral crystals that generally, containing fluid inclusion and microlites crystals. In fact, two kinds of apatitization in ore deposit can be distinguished: Apatite I that formed simultaneously with iron massive and apatite II, appeared with fluid carbonates, solved parts of iron massive and reserved in all fractures and over iron massive in form : Apatite formation and magnetite-apatite. Mineralogical composition of one sample of high grade horizon is:

Sample	Ap %	Oxf %	Calc %	Qz %	Talc %	Mag %	Anat %	Xen %
AP1	82	6	5	5	Ir	Ir	Ir	Ir

Ap=Apatite Oxf=Iron oxides Calc=calcite Qz=quartz Talc=talc

Mag=magnetite Anat=Anatase Xen=Xenotime Tr=Traces

Spectrometric analyses of different ore types shows, valuable amounts of rare earth elements, concentrated in main ore horizon, also zircon and strontium are distinguished.

On the basis of petrographic thin section studies, the abundant of rare earth elements in main ore horizon, related to fluid inclusions in apatite crystals. Amounts of these elements in one sample of main ore horizon are following:

in p.p.m

Sample	Ce	La	Y	Nd	Sr	V	Zr	Ni	Co	Nb
SF <sub>1</sub> -17	>1100	>1100	>1100	650	258	496	>1100	280	35	<10

In ore dressing process, produce of these valuable elements must be taken into consideration.

Some physical and mechanical characters of ore horizons are as follows:

lower part, mainly composed of apatite, magnetite, ferral oxides and less amounts calcite, tremolite, quartz and secondary minerals such as talc. The second ore horizon which overlies the main horizon, mainly composed of tremolite, apatite, magnetite, ferral oxides, calcite, quartz and secondary minerals such as schorlomite.

Chemical composition of this two horizons are as following: (I) Main horizon,  
(II) Low-grade horizon.

	SiO <sub>2</sub>	Al <sub>2</sub> O <sub>3</sub>	Fe <sub>2</sub> O <sub>3</sub>	TiO <sub>2</sub>	CaO	MgO	Na <sub>2</sub> O	K <sub>2</sub> O	MnO	P <sub>2</sub> O <sub>5</sub>	L.O.I	S <sub>63</sub>	C <sub>I</sub>	$\frac{\text{CaO}}{\text{P}_2\text{O}_5}$
(I)%	15.34	2.55	21.61	0.38	34.42	n.d.	0.22	0.58	0.13	18.21	6.21	0.31	0.04	1.89
(II)%	36.97	10.14	13.29	0.4	16.36	7.84	2.34	1.88	0.07	6.81	3.79	0.15	0.33	2.40

Mineralogically, apatite have associated with iron in the forms: vein, lenticular, reticulate and even big crystals. In some cases, apatite is cemented by other minerals, mainly calcite. Generally, from mineralogical viewpoint, apatites and the associated minerals can be divided in two groups:

Apatite I, associated with magnetite (paragenetic). Its crystals mainly formed subhedral or equidimensioned irregular forms and superficial coatings of various thickness, composed mostly of carbonatic films.

Apatite II, with fine grain texture and less transparency surrounded Apatite I and magnetites, in secondary stage.

Main part of ore deposit composed of these two apatites. The coarse grain crystals of apatite I and the fragments of it, are cemented by abundant fine grain of apatite II and intersected by very fine grain reticulate veins of calcite and composition of quartz-calcite. Apatites, also are found in angular microcrystal aggregates with superficial coating of iron oxides and carbonatic

### ABSTRACT

Esfandi apatite ore deposit is the individual known igneous phosphate in Iran. It is located at 36 kms. Northeast of Bafq town; in the central of Iran. Average altitude of the area is about 1700 meters, and the average annual precipitation is about 273 mm. Underground water is relatively insufficient and containing abundant mineralization.

Previous studies of ore deposit pertain to about 20 years ago, but since 1982 detailed exploration have been ended.

Geologically, the ore deposit is in contact with a sequence of volcanic rocks of infracambrian age(vendian). On the subject of origin of ore deposit in relation to other ore anomalies such as iron, uranium, manganese, lead and zinc, different ideas have expressed. Widespread extensive of metasomatic rocks, have encouraged the viewpoint on which these anomalies have formed by means of contact metasomatism or other metasomatism. Recently, viewpoint of carbonatite origin took into consideration. In the area, varieties of volcanic, subvolcanic and intrusive rocks with completely acidic to basic composition have been seen, that all of them inclined to alkaline polarity.

At the restricted area, the ore deposit containing apatite, associated with iron massive and amphyboles, are in contact with acidic volcanic rocks(quartzporphyries and Rhyolites). Numerous dikes with diabasic composition intersects this complex.

The ore is mainly composed of flourapatite variety. totally, two main horizons contain apatite are recognized. The first main horizon(high grade) in the